

# 曲豆豆的数学垃圾堆

(不成体系的杂笔) 1.49 版

曲豆豆 整理

2025 年 7 月 22 日



图: 曲豆豆穿上博士服, 就好像真的是博士一样.

# 目录

<b>1</b>	<b>微积分、微分方程与数学模型</b>	<b>4</b>
1.1	关于实数完备性	4
1.1.1	实数的定义, 柯西收敛准则	4
1.1.2	确界存在原理	8
1.1.3	戴德金定理, 单调有界定理, 闭区间套定理	12
1.2	悬链线的重心	15
1.3	挖穿地球的最速降线	16
1.3.1	初步尝试: 直线隧道的情形	17
1.3.2	模型建立: 变分法, 欧拉-拉格朗日方程, 守恒量	18
1.3.3	模型求解: 定性分析与定量计算	22
1.3.4	球内最速降线的参数方程	26
1.3.5	初等几何解释, 圆内摆线	29
1.4	诺特定理: 对称性与守恒律	31
1.5	一个简单的正交矩阵积分计算题	34
<b>2</b>	<b>代数、数论与密码学</b>	<b>37</b>
2.1	一些组合恒等式	37
2.2	多项式的结式及其应用	39
2.2.1	结式的概念与基本性质	40
2.2.2	用结式解多项式方程组	45
2.2.3	判别式与结式	48
2.2.4	代数数的零化多项式	50
2.3	Paillier 加密算法	52

<b>3</b>	<b>初等概率论</b>	<b>56</b>
3.1	重积分与几何概型	56
3.1.1	线段长度的期望	56
3.1.2	高维球的体积	57
3.2	De Moivre-Laplace 定理与正态分布	60
3.3	两正整数互素的概率	63
3.4	财务管理: Miller-Orr 模型	67
3.4.1	引言	67
3.4.2	故事背景	68
3.4.3	数学模型建立	70
3.4.4	机会成本的计算	73
3.4.5	交易成本的计算	75
3.4.6	最优现金返回线公式的推导	77
<b>4</b>	<b>代数与几何</b>	<b>79</b>
4.1	紧黎曼面的 Riemann-Hurwitz 公式	79
4.2	B-C-H 公式及其应用	83
4.3	Nijenhuis-Richardson 括号	87
4.4	李代数的形变, 李代数上同调	92
4.5	Schouten-Nijenhuis 括号与超泊松括号	97
4.6	什么是经典 $R$ -矩阵?	104
4.6.1	经典 $R$ -矩阵与双李代数	104
<b>5</b>	<b>可积系统理论</b>	<b>107</b>
5.1	一些 Lax 算子谱问题	107
5.2	Frobenius 流形的 Legendre 变换	110
5.3	中心不变量的简便计算	116

# 1. 微积分、微分方程与数学模型

## 1.1 关于实数完备性

笔者 2025 年给某位对纯数学感兴趣的朋友讲授数学分析 (参考教材: 陶哲轩实分析), 期望以此带她进入纯数学的大门. 在讲授实数完备性的过程中, 笔者即兴发挥并且夹带私货, 从而有所感悟.

### 1.1.1 实数的定义, 柯西收敛准则

我们已解锁有理数域  $\mathbb{Q}$  的关于四则运算和序关系  $\leq$  的全部性质, 并且解锁了有理数列极限的定义和四则运算性质; 现在开始构造实数域  $\mathbb{R}$ . 除了著名的戴德金分割, 人们还有另一种方式来定义  $\mathbb{R}$ , 这将是本小节的主要内容之一.

**定义 1.1.** 对于有理数列  $\{a_n\}$ , 如果

$$\forall \varepsilon > 0, \exists N \in \mathbb{N}, \forall m, n \geq N, |a_m - a_n| < \varepsilon, \quad (1.1)$$

则称  $\{a_n\}$  为  $\mathbb{Q}$ -柯西列.

符号表达式(1.1)可以用人类语言表述为:

For all  $\varepsilon > 0$ ,  $\{a_n\}$  is eventually  $\varepsilon$ -steady.

[这个 eventually 的含义很精妙, 不是吗? 笔者斗胆把它翻译成“终将”.]

**定义 1.2.** 设  $\{a_n\}$  与  $\{b_n\}$  都是  $\mathbb{Q}$ -柯西列, 如果

$$\lim_{n \rightarrow \infty} (a_n - b_n) = 0,$$

则称  $\{a_n\}$  与  $\{b_n\}$  **等价**, 记作  $\{a_n\} \sim \{b_n\}$ .

由有理数列极限的运算性质, 容易验证上述  $\sim$  的确定义了  $\mathbb{Q}$ -柯西列之全体上的一个**等价关系**, 即,  $\sim$  满足自反性, 对称性, 传递性. 于是:

**定义 1.3.** 记号承上, 则商集

$$\mathbb{R} := \mathbb{Q}\text{-柯西列之全体} / \sim \quad (1.2)$$

称为**实数集**; 相应的商映射记作  $\widetilde{\lim}_{n \rightarrow \infty}$ , 称为  $\mathbb{Q}$ -柯西列的**形式极限** (*formal limit*).

关于  $\mathbb{R}$ , 有如下注解:

1. 我们也将有理数  $r \in \mathbb{Q}$  视为取值恒为  $r$  的常数列, 则这个数列显然是  $\mathbb{Q}$ -柯西列. 于是我们自然有映射

$$\begin{aligned} \iota: \mathbb{Q} &\rightarrow \mathbb{R} \\ r &\mapsto \widetilde{\lim}_{n \rightarrow \infty} r, \end{aligned}$$

容易验证上述  $\iota$  是单射, 由此将  $\mathbb{Q}$  视为  $\mathbb{R}$  的子集.

2. 可以自然地定义  $\mathbb{R}$  上的四则运算与序关系  $\leq$ , 并证明其满足那些众所周知的性质, 从而使得  $(\mathbb{R}, +, \times, \leq)$  构成**序域**. 这里从略.
3. 类似定义实数列的极限, 以及  $\mathbb{R}$ -柯西列, 它们与有理数列的情形完全类似; 还可以证明实数列极限的运算法则. 这里从略.

4. 对于  $\mathbb{Q}$ -柯西列  $\{a_n\}$ , 则可以证明

$$\widetilde{\lim_{n \rightarrow \infty} a_n} = \lim_{n \rightarrow \infty} a_n, \quad (1.3)$$

即“形式极限等于真正的极限”; 其中, 上式等号左边为  $\mathbb{Q}$ -柯西列  $\{a_n\}$  所在的等价类, 它是  $\mathbb{R}$  中的元素, 而在等号右边, 有理数  $a_n$  被视为实数,  $\lim_{n \rightarrow \infty}$  被视为实数列的极限. 这是一个有趣的练习, 证明在此从略.

$\mathbb{R}$  与  $\mathbb{Q}$  都是序域, 但它们有一个本质区别, 那就是  $\mathbb{R}$  具有**完备性**:

**定理 1.4.** (柯西收敛准则; 实数完备性). 设  $\{a_n\}$  是  $\mathbb{R}$ -柯西列, 则存在实数  $b \in \mathbb{R}$  使得

$$\lim_{n \rightarrow \infty} a_n = b,$$

换言之, 在  $\mathbb{R}$  中, 柯西列必收敛.

证明. 对每个  $a_n \in \mathbb{R}$ , 取定  $\mathbb{Q}$ -柯西列  $\{a_{nk}\}_{k=1}^\infty \in a_n$  [虽然这个  $\in$  符号看起来似乎很别扭, 但按道理说, 这里还真可以用  $\in$ ], 则在实数列极限的意义下有

$$a_n = \lim_{k \rightarrow \infty} a_{nk}$$

[这是因为(1.3)]. 于是当  $n = 1$  时, 存在  $N_1 \in \mathbb{N}$  使得以下同时成立:

- $\forall k \geq N_1, |a_{1k} - a_1| < 1$  [因为  $\lim_{k \rightarrow \infty} a_{1k} = a_1$ ],
- $\forall k \geq N_1, |a_{1k} - a_{1N_1}| < 1$  [因为  $\{a_{1k}\}_{k=1}^\infty$  是  $\mathbb{Q}$ -柯西列].

我们来递归地构造自然数列  $\{N_n\}_{n=1}^\infty$  如下:  $N_1$  刚刚已经给出; 对任意  $m \geq 2$ , 如果  $N_1, N_2, \dots, N_{m-1}$  已定义, 那么取定  $N_m \in \mathbb{N}$  使得同时满足以下三条:

1.  $N_m > N_{m-1} + 233$  [因为我喜欢 233 这个数字, 就是玩儿],
2.  $\forall k \geq N_m, |a_{mk} - a_m| < \frac{1}{m}$  [因为  $\lim_{k \rightarrow \infty} a_{mk} = a_m$ ],
3.  $\forall k \geq N_m, |a_{mk} - a_{mN_m}| < \frac{1}{m}$  [因为  $\{a_{mk}\}_{k=1}^{\infty}$  是  $\mathbb{Q}$ -柯西列],

如此得到了一个严格单调递增的正整数列  $\{N_n\}_{n=1}^{\infty}$ . 再令

$$b_n := a_{nN_n}, \quad \forall n \geq 1,$$

从而得到有理数列  $\{b_n\}_{n=1}^{\infty}$ .

断言:  $\{b_n\}$  是  $\mathbb{Q}$ -柯西列. 这是因为, 对任意  $\varepsilon > 0$ , 由  $\{a_n\}$  是  $\mathbb{R}$ -柯西列可知存在  $M_0 \in \mathbb{N}$  使得当  $r \geq s \geq M_0$  时  $|a_r - a_s| < \frac{\varepsilon}{3}$ . 令

$$M := \max \left\{ M_0, \left\lfloor \frac{3}{\varepsilon} \right\rfloor \right\} + 233,$$

则当  $r \geq s \geq M$  时,

$$\begin{aligned} |b_r - b_s| &= |a_{rN_r} - a_{sN_s}| \\ &\leq |a_{rN_r} - a_r| + |a_r - a_s| + |a_s - a_{sN_s}| \\ &< \frac{1}{r} + \frac{\varepsilon}{3} + \frac{1}{s} < \frac{\varepsilon}{3} + \frac{\varepsilon}{3} + \frac{\varepsilon}{3} = \varepsilon, \end{aligned}$$

从而断言得证. 于是有实数

$$b := \widetilde{\lim_{n \rightarrow \infty}} b_n.$$

断言:  $\lim_{n \rightarrow \infty} a_n = b$ , 从而完成定理的证明. 事实上, 对任意  $\varepsilon > 0$ , 由  $\{a_n\}$  是  $\mathbb{R}$ -柯西列可知存在  $M'_0 \in \mathbb{N}$ , 使得对任意  $n, k \geq M'_0$  都有  $|a_n - a_k| < \frac{\varepsilon}{3}$ . 令

$$M' := \max \left\{ M'_0, \left\lfloor \frac{3}{\varepsilon} \right\rfloor \right\} + 666,$$

则当  $n \geq M'$  时, 由  $\lim_{k \rightarrow \infty} |a_n - b_k| = |a_n - b|$  可知存在  $k \geq n$  使得  $|a_n - b| < |a_n - b_k| + \frac{\varepsilon}{3}$ , 因此有

$$\begin{aligned} |a_n - b| &< |a_n - b_k| + \frac{\varepsilon}{3} \\ &\leq |a_n - a_k| + |a_k - a_{kN_k}| + \frac{\varepsilon}{3} \\ &< \frac{\varepsilon}{3} + \frac{1}{k} + \frac{\varepsilon}{3} < \frac{\varepsilon}{3} + \frac{\varepsilon}{3} + \frac{\varepsilon}{3} = \varepsilon, \end{aligned}$$

从而断言得证, 定理证毕. □

### 1.1.2 确界存在原理

对于  $\mathbb{R}$  的非空子集  $X$ , 以及  $m \in \mathbb{R}$ , 如果

$$\forall x \in X, x \leq m,$$

则称  $m$  是集合  $X$  的一个**上界**. 类似可以定义**下界**. 进而, 我们能够谈论集合  $X$  是否有上界, 是否有下界, 是否有**界**.

**定义 1.5.** 对于非空集合  $X \subseteq \mathbb{R}$ , 则:

- $X$  的最小上界称为  $X$  的**上确界**, 记作  $\sup X$ .
- $X$  的最大下界称为  $X$  的**下确界**, 记作  $\inf X$ .

也就是说,  $\sup X$  是  $X$  的所有的上界构成的集合之中的最小元素,  $\inf X$  也类似表述. 然而危险的是, 这个“最小”的元素是否一定存在? 我们知道,  $\mathbb{R}$  的有界子集不一定存在最值, 例如开区间  $(0, 1)$  既没有最大元素也没有最小元素. 同样地, 对于“ $X$  的所有上界构成的集合”, 它作为  $\mathbb{R}$  的子集, 你事先并不清楚它是否一定又最小元素.



不过, 由实数完备性, 可以证明:

**定理 1.6. (确界存在原理).** 对于非空子集  $X \subseteq \mathbb{R}$ ,

- 若  $X$  有上界, 则  $X$  有上确界.
- 若  $X$  有下界, 则  $X$  有下确界.

我们现在只有两条路: 用实数的定义 (定义1.3), 或者用实数的完备性 (定理1.4). 这两者都与柯西列有关, 我们将采用后者.

证明. (用柯西收敛准则). 不妨只证明上确界的存在性, 下确界的情形完全类似. 取定  $X$  的一个上界  $a_1 \in \mathbb{R}$ , 再取定  $x_0 \in X$ , 则  $x_0 \leq a_1$ . 如果  $x_0 = a_1$ , 则显然  $x_0$  就是  $X$  的上确界, 于是不妨  $x_0 < a_1$ . 记

$$d := a_1 - x_0 > 0.$$

对于每个正整数  $k \geq 1$ , 令

$$a_{k+1} := \begin{cases} a_k + \frac{d}{2^k} & \text{如果 } a_k \text{ 不是 } X \text{ 的上界,} \\ a_k - \frac{d}{2^k} & \text{如果 } a_k \text{ 是 } X \text{ 的上界,} \end{cases} \quad (1.4)$$

如此便递归地定义了实数列  $\{a_k\}_{k=1}^{\infty}$ . 特别地,  $a_2 = a_1 - \frac{d}{2}$ .

首先注意到对每个  $k \geq 1$ , 都有  $|a_{k+1} - a_k| = \frac{d}{2^k}$ , 由此可见  $\{a_k\}$  是  $\mathbb{R}$ -柯西列, 这是因为对任意  $m > n \geq 1$ ,

$$\begin{aligned} |a_m - a_n| &= \left| \sum_{k=n}^{m-1} (a_{k+1} - a_k) \right| \\ &\leq \sum_{k=n}^{m-1} |a_{k+1} - a_k| = \sum_{k=n}^{m-1} \frac{d}{2^k} = \frac{d}{2^n} \left( 1 - \frac{1}{2^{m-n}} \right) < \frac{d}{2^n}. \end{aligned}$$

于是由柯西收敛准则 (定理1.4), 存在实数  $a \in \mathbb{R}$  使得

$$a = \lim_{k \rightarrow \infty} a_k. \quad (1.5)$$

下证  $a$  就是  $X$  的上确界, 从而完成定理的证明.

- 首先,  $a$  是  $X$  的一个上界. 假如  $a$  不是  $X$  的上界, 则存在  $x \in X$  使得  $a < x$ . 记

$$\varepsilon := x - a > 0.$$

则由  $\lim_{k \rightarrow \infty} a_k = a$  可知, 当  $k$  充分大时  $|a_k - a| < \frac{\varepsilon}{2}$ , 从而

$$a_k < a + \frac{\varepsilon}{2} = x - \frac{\varepsilon}{2} < x,$$

这表明当  $k$  充分大时,  $a_k$  不是  $X$  的上界. 于是, 集合

$$\mathcal{I} := \{k \in \mathbb{N} \mid a_k \text{ 是 } X \text{ 的上界}\}$$

是有限集. 又因为  $1 \in \mathcal{I}$ , 从而  $\mathcal{I}$  非空. 取  $\mathcal{I}$  中的最大元素

$$N := \max \mathcal{I},$$

则首先  $a_N$  是  $X$  的上界. 而我们已假设  $a$  不是  $X$  的上界, 从而

$$a_N \neq a. \quad (1.6)$$

此外, 对任意  $k \geq 1$ , 我们还有

$$\begin{aligned} a_{N+k} &= a_{N+1} + \sum_{\ell=2}^k (a_{N+\ell} - a_{N+\ell-1}) \\ &= \left( a_N - \frac{d}{2^N} \right) + \sum_{\ell=2}^k \frac{d}{2^{N+\ell-1}} = a_N - \frac{d}{2^{k-1}}, \end{aligned}$$

从而

$$a = \lim_{k \rightarrow \infty} a_k = \lim_{k \rightarrow \infty} a_{N+k} = \lim_{k \rightarrow \infty} \left( a_N - \frac{d}{2^{k-1}} \right) = a_N,$$

这便与(1.6)产生矛盾. 所以  $a$  是集合  $X$  的一个上界.

- 再断言任何比  $a$  小的实数都不可能是  $X$  的上界, 从而  $a$  是  $X$  的最小上界, 即  $a = \sup X$ , 定理得证. 这是因为, 假如存在实数  $\varepsilon > 0$  使得  $a - \varepsilon$  也是  $X$  的上界, 则由  $\lim_{k \rightarrow \infty} a_k = a$  可知, 当  $k$  充分大时  $|a_k - a| < \frac{\varepsilon}{2}$ , 从而

$$a_k = a + (a_k - a) > a - \frac{\varepsilon}{2} > a - \varepsilon,$$

从而当  $k$  充分大时,  $a_k$  都是  $X$  的上界. 换言之, 集合

$$\mathcal{J} := \{k \in \mathbb{N} \mid a_k \text{ 不是 } X \text{ 的上界}\}$$

是有限集. 如果  $\mathcal{J} = \emptyset$ , 则由数列  $\{a_k\}$  的定义可知对每个  $k \geq 1$ ,

$$\begin{aligned} a_k &= a_1 + \sum_{\ell=1}^{k-1} (a_{\ell+1} - a_\ell) = a_1 - \sum_{\ell=1}^{k-1} \frac{d}{2^\ell} \\ &= (a_1 - d) + \frac{d}{2^{k-1}} = x_0 + \frac{d}{2^{k-1}}, \end{aligned}$$

于是

$$a = \lim_{k \rightarrow \infty} a_k = \lim_{n \rightarrow \infty} \left( x_0 + \frac{d}{2^{k-1}} \right) = x_0,$$

从而  $a - \varepsilon < x_0$ , 这与  $a - \varepsilon$  是  $X$  的上界矛盾. 这表明  $\mathcal{J} \neq \emptyset$ , 从而  $\mathcal{J}$  是非空有限集. 取  $\mathcal{J}$  中的最大元素  $N$ , 即

$$N := \max \mathcal{J},$$

则对任意  $k \geq 1$ ,

$$\begin{aligned} a_{N+k} &= a_{N+1} + \sum_{\ell=2}^k (a_{N+\ell} - a_{N+\ell-1}) \\ &= \left( a_N + \frac{d}{2^N} \right) - \sum_{\ell=2}^k \frac{d}{2^{N+\ell-1}} = a_N + \frac{d}{2^{N+k-1}}, \end{aligned}$$

从而

$$a = \lim_{k \rightarrow \infty} a_{N+k} = a_N.$$

又因为  $a$  是  $X$  的上界, 所以  $a_N$  是  $X$  的上界, 这与  $N \in \mathcal{J}$  矛盾.

综上所述, 定理证毕. □

### 1.1.3 戴德金定理, 单调有界定理, 闭区间套定理

我们曾经对有理数集  $\mathbb{Q}$  作戴德金分割, 这会产生有理数之外的东西, 从而定义实数. 而如果我们对实数集  $\mathbb{R}$  作戴德金分割, 那会产生新的东西吗? 答案是否定的.

**定理 1.7. (戴德金定理).** 如果  $\mathbb{R}$  的非空子集  $A, B$  同时满足以下:

1.  $\mathbb{R} = A \cup B, A \cap B = \emptyset$ ,
2.  $\forall a \in A, \forall b \in B, a < b$ ,

则  $A$  中有最大元素, 或者  $B$  中有最小元素.

证明. (用确界存在原理). 任意给定  $b \in B$ , 由题设可知  $b$  是集合  $A$  的一个上界, 这表明  $A$  存在上界, 从而存在上确界  $\sup A$ . 如果  $\sup A \in A$ , 则  $A$  中存在最大元素  $\sup A$ .

于是不妨  $\sup A \notin A$ . 此时由题设可知  $\sup A \in B$ . 断言:  $\sup A$  是  $B$  的最小元素. 这是因为, 若不然, 则存在  $b_0 \in B$  使得  $b_0 < \sup A$ . 于是由上确界的定义, 即  $\sup A$  是  $A$  的最小上界, 可知  $b_0$  不是  $A$  的上界, 从而存在  $a_0 \in A$  使得  $b_0 < a_0$ , 这便与题设第 2 条矛盾. 定理得证.  $\square$

非数学专业高等数学教材中往往会介绍数列极限的一个基本性质, 而这也是实数完备性理论中的一个重要命题:

**定理 1.8. (单调收敛定理).** 单调有界数列必收敛.

[当然, 这里的数列是指实数列, 收敛是指在  $\mathbb{R}$  中收敛.]

证明. (用戴德金定理). 不妨实数列  $\{a_n\}$  单调递增且有上界  $M$ , 我们令

$$A := \bigcup_{n \geq 1} (-\infty, a_n] = \{x \in \mathbb{R} \mid \exists n \in \mathbb{N}, x \leq a_n\},$$

$$B := \mathbb{R} \setminus A = \{x \in \mathbb{R} \mid \forall n \in \mathbb{N}, x > a_n\}.$$

易知  $A \subseteq (-\infty, M]$ , 从而易知  $B \neq \emptyset$ . 容易验证如此  $A, B$  满足戴德金定理 (定理 1.7) 的题设条件, 从而  $A$  有最大元素或者  $B$  有最小元素.

- 如果  $A$  有最大元素  $\tilde{a} = \max A$ , 由  $\tilde{a} \in A$  可知存在  $N \in \mathbb{N}$ ,  $\tilde{a} \leq a_N$ . 从而当  $n \geq N$  时, 由单调性可得  $a_n \geq a_N \geq \tilde{a}$ . 另一方面, 易知数列  $\{a_n\}$  的每一项都属于  $A$ , 特别地, 当  $n \geq N$  时  $a_n \in A$ , 从而  $\tilde{a}$  是  $A$  中的最大元素意味着  $a_n \leq \tilde{a}$ . 因此当  $n \geq N$  时必有  $a_n = \tilde{a}$ , 从而  $\lim_{n \rightarrow \infty} a_n = \tilde{a}$ .
- 如果  $B$  有最小元素  $\tilde{b} = \min B$ , 首先由  $\tilde{b} \in B$  可知  $\tilde{b}$  是集合  $A$  的一个上界. 现在, 对于任意  $\varepsilon > 0$ , 由  $\tilde{b}$  在  $B$  中的最小性可知

$b - \varepsilon \notin B$ , 即  $b - \varepsilon \in A$ , 从而存在  $N \in \mathbb{N}$  使得  $b - \varepsilon \leq a_N$ . 于是当  $n \geq N$  时, 一方面  $a_n \leq \tilde{b}$ , 另一方面结合数列单调性可知

$$a_n \geq a_N \geq \tilde{b} - \varepsilon,$$

从而  $|a_n - \tilde{b}| < \varepsilon$ . 这便证明了  $\lim_{n \rightarrow \infty} a_n = \tilde{b}$ .

综上所述, 定理得证. □

**注记 1.9.** 也可直接用柯西收敛准则来证明上述定理. 为此只需验证如下命题: 单调有界数列是柯西列. 这留给感兴趣的读者作为练习.

为了在数轴  $\mathbb{R}$  中“捕获”一个实数, 我们往往采用“不断缩小围捕范围”的战术, 这便是所谓的“闭区间套”.

**定理 1.10.** (闭区间套定理). 设  $\{I_k\}_{k \geq 1}$  是一列闭区间, 其中  $I_k = [a_k, b_k] \subseteq \mathbb{R}$ ,  $k \geq 1$ . 如果以下成立:

$$1. \quad I_1 \supseteq I_2 \supseteq I_3 \supseteq \cdots, \text{ 换言之, } \forall k \geq 1, I_{k+1} \subseteq I_k,$$

$$2. \quad \lim_{n \rightarrow \infty} (b_k - a_k) = 0,$$

则存在唯一的  $r \in \mathbb{R}$ , 使得  $r \in \bigcap_{k \geq 1} I_k$ .

证明. (用单调有界定理). 由题设易知数列  $\{a_n\}$  单调递增有上界[例如  $b_1$  是它的一个上界], 从而收敛, 记其极限为  $r$ . 显然  $a_n \leq r$  对任何  $n \geq 1$  都成立. 又因为对任意  $m, n \in \mathbb{N}$  都有  $a_m \leq b_n$ , 令  $m \rightarrow \infty$  可得  $r \leq b_n$ . 因此对任意  $n \geq 1$  都有  $r \in [a_n, b_n]$ , 换言之  $r \in \bigcap_{k \geq 1} I_k$ .

若另有  $r' \in \bigcap_{k \geq 1} I_k$ , 则对任意  $n \geq 1$ , 显然  $|r - r'| \leq b_n - a_n$ , 从而

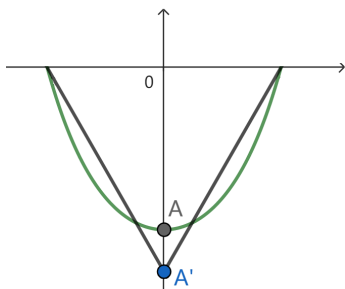
$$|r - r'| \leq \lim_{n \rightarrow \infty} (b_n - a_n) = 0,$$

即  $r' = r$ . 这便证明了唯一性. 定理得证.

□

## 1.2 悬链线的重心

如下图, 将一条质量分布均匀、可任意弯曲、不可伸缩的理想细绳的两端固定在天花板上, 该细绳在重力作用下自然下垂. 在细绳所在竖直平面上适当建立坐标系  $xOy$ , 使得重力沿  $y$  轴负方向, 并且细绳两端点的坐标为  $(\pm R, 0)$ , 细绳最低点为  $A$ .



杨昊同学提出如下问题: 将细绳最低点  $A$  竖直向下拖动, 直到细绳被拉直为图中黑色折线, 从物理角度, 细绳在重力作用下自然下垂时处于稳定状态, 重心最低; 而被外力“拉直”之后, 重心显然会升高; 能否通过定量计算来验证此结论? 为此, 我们需要分别计算细绳在自然下垂时与被“拉直”时重心的位置.

众所周知, 细绳在自然下垂时的形状是**悬链线**, 其方程形如

$$y = \frac{1}{\omega} (\cosh \omega x - \cosh \omega R), \quad (1.7)$$

其中  $\omega, R > 0$  为常数. 记该细绳的长度为  $2L$ , 则

$$L := \int_0^R \sqrt{1 + (y')^2} dx = \int_0^R \cosh \omega x dx = \frac{1}{\omega} \sinh \omega R.$$

注意细绳关于  $y$  轴对称, 直接计算该细绳重心的纵坐标  $y_0$  如下:

$$\begin{aligned}
 y_0 &= \frac{1}{L} \int_0^R y \sqrt{1 + (y')^2} dx \\
 &= \frac{1}{\omega L} \int_0^R (\cosh \omega x - \cosh \omega R) \cosh \omega x dx \\
 &= \frac{1}{\sinh \omega R} \left( \int_0^R \cosh^2 \omega x dx - \cosh \omega R \int_0^R \cosh \omega x dx \right) \\
 &= \frac{1}{\sinh \omega R} \left( \int_0^R \frac{\cosh 2\omega x + 1}{2} dx - \frac{1}{\omega} \cosh \omega R \sinh \omega R \right) \\
 &= \frac{1}{\sinh \omega R} \left( \frac{R}{2} - \frac{\sinh \omega R \cosh \omega R}{2\omega} \right) \\
 &= \frac{R}{2 \sinh \omega R} - \frac{\cosh \omega R}{2\omega}.
 \end{aligned}$$

而细绳被“拉直”之后, 重心的纵坐标  $\tilde{y}_0$  为

$$\tilde{y}_0 = -\frac{1}{2} \sqrt{L^2 - R^2} = -\frac{1}{2\omega} \sqrt{\sinh^2 \omega R - \omega^2 R^2}.$$

于是只需验证不等式  $\tilde{y}_0 > y_0$  即可, 具体步骤如下:

$$\begin{aligned}
 \tilde{y}_0 > y_0 &\Leftrightarrow \sinh \omega R \sqrt{\sinh^2 \omega R - \omega^2 R^2} < \sinh \omega R \cosh \omega R - \omega R \\
 &\Leftrightarrow \sinh^2 \omega R (\sinh^2 \omega R - \omega^2 R^2) < (\sinh \omega R \cosh \omega R - \omega R)^2 \\
 &\Leftrightarrow \sinh^2 \omega R - 2\omega R \sinh \omega R \cosh \omega R + \omega^2 R^2 \cosh^2 \omega R > 0 \\
 &\Leftrightarrow (\sinh \omega R - \omega R \cosh \omega R)^2 > 0,
 \end{aligned}$$

而由  $\omega R > 0$  易知  $\sinh \omega R - \omega R \cosh \omega R \neq 0$ , 从而得证.

## 1.3 挖穿地球的最速降线

最速降线问题众所周知, 现在我们考虑它的一个变种:



**习题 1.11.** 将地球视为半径为  $R$ , 密度为  $\rho$  的均匀球体, 给定地球表面上的两点  $A, B$ , 我们希望挖一条从  $A$  到  $B$  的地下隧道, 使得初速度为 0 的质点  $m$  从  $A$  出发在地球引力作用下 (不计一切摩擦) 沿隧道滑行至  $B$  所用时间最短. 不考虑地球自转的影响, 试求满足此要求的隧道的形状.

为研究此问题, 我们先做一些准备工作. 记  $r$  为质点到球心的距离 ( $r \leq R$ ), 则众所周知, 质点  $m$  所受引力大小只与  $r$  有关, 且其值为

$$F(r) = \frac{Gm}{r^2} \cdot \frac{4}{3}\pi r^3 \rho = \frac{4\pi G\rho}{3}mr =: kmr,$$

这里  $k := \frac{4\pi G\rho}{3}$  为常数, 其中  $G$  为万有引力常量. 从而质点的引力势能

$$V(r) = \frac{1}{2}kmr^2, \quad (r \leq R). \quad (1.8)$$

由于不计一切摩擦, 质点的机械能守恒, 因此当质点距离地心  $r$  时, 质点的速度大小  $v$  满足  $\frac{1}{2}mv^2 = V(R) - V(r)$ , 整理得

$$v(r) = \sqrt{k(R^2 - r^2)}. \quad (1.9)$$

### 1.3.1 初步尝试: 直线隧道的情形

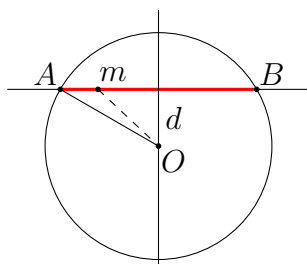


图: 直线隧道的情形

一种天真的想法是, 既然“两点之间线段最短”, 那就把隧道挖成连接  $A, B$  两点的线段. 这样的隧道长度最短, 但是否一定意味着沿隧道滑行所用时间最短呢? 我们不妨先考虑这种天真想法.

如上图, 设地心为  $O$ , 在平面  $ABO$  建立以  $O$  为原点的直角坐标系使得隧道 (线段  $AB$ ) 平行于  $x$  轴, 记质点  $m$  的横坐标为  $x$ , 点  $O$  到线段  $AB$  的距离为  $d$ . 则由(1.9)式可知

$$\frac{dx}{dt} = \sqrt{k(R^2 - (x^2 + d^2))} = \sqrt{k(L^2 - x^2)},$$

其中  $L := \sqrt{R^2 - d^2}$  为隧道长度的一半, 于是立刻求得质点从  $A$  到  $B$  的总滑行时间

$$\begin{aligned} T &= \int_{-L}^L \frac{dt}{dx} dx = \frac{2}{\sqrt{k}} \int_0^L \frac{1}{\sqrt{L^2 - x^2}} dx \\ &= \frac{2}{\sqrt{k}} \int_0^{\frac{\pi}{2}} \frac{1}{L \cos \alpha} \cdot L \cos \alpha d\alpha = \frac{\pi}{\sqrt{k}}. \end{aligned} \quad (1.10)$$

因此, 无论  $A, B$  两点距离如何, 质点沿线段隧道滑行的总时间始终为  $\frac{\pi}{\sqrt{k}}$ . 特别地, 即使当  $A, B$  两点很接近, 沿线段隧道从  $A$  滑行到  $B$  的用时也还是  $\frac{\pi}{\sqrt{k}}$ , 这就有些奇怪. 或许沿着笔直隧道滑行有些吃亏, 还应该有用时更短的路线.

### 1.3.2 模型建立: 变分法, 欧拉-拉格朗日方程, 守恒量

到底应该把隧道修成什么形状呢? 我们如下考虑:

1. 符合要求的隧道一定位于  $OAB$  平面内, 其中  $O$  为地心. 否则, 考虑该隧道在  $OAB$  平面的投影, 容易验证质点在该投影上的滑行时间比原来更短.

2. 于是, 在  $OAB$  平面上建立以  $O$  为原点的极坐标系  $(r, \theta)$ , 记  $A, B$  两点的角位置分别为  $\theta_0$  与  $\theta_1 := \theta_0 + \Delta\theta$ , 这里  $\Delta\theta$  为  $A, B$  两点的角距离, 不妨  $0 < \Delta\theta \leq \pi$ .
3. 在沿符合要求的隧道滑行时, 质点的角位置  $\theta(t)$  关于时间  $t$  单调不减, 否则也可以适当修改隧道的形状使得滑行时间更短. 因此不妨先假设  $\theta(t)$  关于  $t$  严格单调递增, 于是隧道的形状可用极坐标方程

$$r = r(\theta) \quad (1.11)$$

来描述. 这里的函数  $r(\theta)$  满足边值条件

$$r(\theta_0) = r(\theta_1) = R, \quad (1.12)$$

我们需要求出函数  $r(\theta)$  的解析式.

4. 对于沿符合要求的隧道  $r = r(\theta)$  滑行的质点, 当质点角位置为  $\theta$  时, 质点的速度大小  $v$  满足

$$v^2 = \dot{r}^2 + r^2 \dot{\theta}^2 = (r_\theta^2 + r^2) \dot{\theta}^2,$$

其中  $\dot{r} = \frac{dr}{dt}$ ,  $\dot{\theta} = \frac{d\theta}{dt}$ ,  $r_\theta = \frac{dr}{d\theta}$ . 又由(1.9)式可知  $v^2 = k(R^2 - r^2)$ , 从而  $\frac{d\theta}{dt} = \sqrt{k \frac{R^2 - r^2}{r_\theta^2 + r^2}}$ , 因此质点从  $A$  滑行到  $B$  所用时间为

$$\begin{aligned} T[r] &= \int_{\theta_0}^{\theta_1} \frac{dt}{d\theta} d\theta = \frac{1}{\sqrt{k}} \int_{\theta_0}^{\theta_1} \sqrt{\frac{r_\theta^2 + r^2}{R^2 - r^2}} d\theta \\ &=: \int_{\theta_0}^{\theta_1} L(r, r_\theta) d\theta, \end{aligned} \quad (1.13)$$

其中函数

$$L(r, r_\theta) := \sqrt{\frac{r_\theta^2 + r^2}{k(R^2 - r^2)}} \quad (1.14)$$

是此系统的拉格朗日量. 注意总时间  $T[r]$  与隧道的形状, 即函数  $r(\theta)$  有关, 它是“函数  $r(\theta)$  的函数”, 即所谓的泛函.

5. 于是问题转化为: 求定义在  $[\theta_0, \theta_1]$  且满足边值条件(1.11)的函数  $r(\theta)$ , 使得总时间  $T[r]$ (1.13)取到最小值. 这是典型的泛函极值问题, 我们需要用变分法.

这里不妨再次回顾变分法的基本思想: 假设隧道  $r = r(\theta)$  使得总时间  $T[r]$  最短, 那么把这条隧道的形状稍微改变一点点, 那么质点沿改变后的隧道滑行的总时间将不比原来短; 特别注意, 在改变隧道形状过程中隧道两 endpoints 的位置始终不变.

6. 设  $r = r(\theta)$  是符合要求的隧道. 任取函数  $a: [\theta_0, \theta_1] \rightarrow \mathbb{R}$  使得

$$a(\theta_0) = a(\theta_1) = 0,$$

并任取足够接近 0 的参数  $\varepsilon$ , 则沿曲线  $\theta \mapsto r(\theta) + \varepsilon a(\theta)$  的滑行时间不少于沿  $r(\theta)$  的滑行时间, 即  $T[r + \varepsilon a] \geq T[r]$ , 从而

$$\left. \frac{d}{d\varepsilon} T[r + \varepsilon a] \right|_{\varepsilon=0} = 0$$

对任何满足  $a(\theta_0) = a(\theta_1) = 0$  的函数  $a(\theta)$  都成立. 而

$$\begin{aligned} 0 &= \left. \frac{d}{d\varepsilon} T[r + \varepsilon a] \right|_{\varepsilon=0} = \left. \frac{d}{d\varepsilon} \int_{\theta_0}^{\theta_1} L(r + \varepsilon a, r_\theta + \varepsilon a_\theta) d\theta \right|_{\varepsilon=0} \\ &= \int_{\theta_0}^{\theta_1} \left( \frac{\partial L}{\partial r} \cdot a + \frac{\partial L}{\partial r_\theta} \cdot a_\theta \right) d\theta = \int_{\theta_0}^{\theta_1} a \frac{\partial L}{\partial r} d\theta + \int_{\theta_0}^{\theta_1} \frac{\partial L}{\partial r_\theta} da \\ &= \int_{\theta_0}^{\theta_1} a \left( \frac{\partial L}{\partial r} - \frac{d}{d\theta} \frac{\partial L}{\partial r_\theta} \right) d\theta, \end{aligned}$$

这里  $L := L(r, r_\theta)$ . 再由函数  $a(\theta)$  的任意性, 立即得到

$$\frac{\partial L}{\partial r} - \frac{d}{d\theta} \frac{\partial L}{\partial r_\theta} = 0, \quad (1.15)$$

这正是著名的**欧拉-拉格朗日方程**. 将  $L$  的表达式(1.14)代入上述方程, 经过一番暴力的求导计算 (建议用计算机完成) 整理得

$$r(R^2 - r^2)r_{\theta\theta} = (2R^2 - r^2)r_\theta^2 + R^2r^2, \quad (1.16)$$

这是关于  $r(\theta)$  的二阶常微分方程, 其形式复杂, 难以直接求解.

7. 不过我们可以通过寻找**守恒量**来简化计算. 由(1.15)可得

$$\frac{dL}{d\theta} = \frac{\partial L}{\partial r}r_\theta + \frac{\partial L}{\partial r_\theta}r_{\theta\theta} = \left( \frac{d}{dt} \frac{\partial L}{\partial r_\theta} \right) r_\theta + \frac{\partial L}{\partial r_\theta}r_{\theta\theta} = \frac{d}{d\theta} \left( r_\theta \frac{\partial L}{\partial r_\theta} \right),$$

因此

$$H := L - r_\theta \frac{\partial L}{\partial r_\theta} \quad (1.17)$$

是守恒量 (常数), 称为此系统的**哈密顿量**; 而从  $L$  得到  $H$  的上述操作常被称为**勒让德变换**.

8. 将拉格朗日量  $L$  的表达式(1.14)代入方程(1.17), 得

$$H = \frac{r^2}{\sqrt{k(R^2 - r^2)(r^2 + r_\theta^2)}} \geq 0,$$

变形整理得

$$r_\theta^2 = r^2 \left( \frac{1}{kH^2} \frac{r^2}{R^2 - r^2} - 1 \right), \quad (1.18)$$

这是关于函数  $r(\theta)$  的一阶常微分方程.

综上所述, 符合要求的隧道  $r = r(\theta)$  应满足方程(1.16), 从而满足方程(1.18). 注意这里面的  $k, H$  都为常数, 并且  $k = \frac{4\pi G\rho}{3} > 0, H \geq 0$ . 接下来只需要研究此方程.

### 1.3.3 模型求解: 定性分析与定量计算

在定量求解方程(1.18)之前, 我们先对它作一些定性分析.

1. 注意方程(1.18)左边恒非负, 于是

$$r^2 \left( \frac{1}{kH^2} \frac{r^2}{R^2 - r^2} - 1 \right) \geq 0,$$

这当且仅当

$$r \geq \sqrt{\frac{kH^2}{1 + kH^2}} R. \quad (1.19)$$

这表明隧道上的点到地心的距离  $r$  不小于  $\sqrt{\frac{kH^2}{1+kH^2}} R$ . 此外注意(1.19)的等号成立当且仅当  $r_\theta = 0$ .

由于  $r(\theta_0) = r(\theta_1) = R$ , 从而由一元微积分中的罗尔定理可知存在某个角位置  $\xi \in (\theta_0, \theta_1)$  使得  $r_\theta(\xi) = 0$ . 此时(1.19)取到等号, 因此隧道最低点到地心的距离

$$d = \sqrt{\frac{kH^2}{1 + kH^2}} R. \quad (1.20)$$

可见, 隧道最低点到地心的距离  $d$  与参数  $H$  有关,  $H$  越大则  $d$  越接近  $R$ , 从而隧道越“浅”; 而当  $H = 0$  时  $d = 0$ , 隧道经过地心.

2. 关于函数  $r(\theta)$  的单调性. 将(1.18)两边开方得

$$r_\theta = \pm r \sqrt{\frac{1}{kH^2} \frac{r^2}{R^2 - r^2} - 1}, \quad (1.21)$$

我们应妥善处理上式右边的正负号. 由方程(1.16)可知

$$r_{\theta\theta} = \frac{(2R^2 - r^2)r_\theta^2 + R^2 r^2}{r(R^2 - r^2)} > 0,$$

从而导函数  $r_\theta$  在区间  $(\theta_1, \theta_2)$  严格递增. 又因为在  $\theta = \xi$  处有  $r_\theta(\xi) = 0$ , 从而函数  $r(\theta)$  的单调性总结如下:

$\theta$	$(\theta_1, \xi)$	$\xi$	$(\xi, \theta_2)$
$\frac{dr}{d\theta}$	—	0	+
$r$	$\searrow$	最小值	$\nearrow$

特别地,  $r(\theta)$  满足微分方程

$$r_\theta = \begin{cases} -r \sqrt{\frac{1}{kH^2} \frac{r^2}{R^2 - r^2} - 1}, & \theta \in (\theta_1, \xi) \\ r \sqrt{\frac{1}{kH^2} \frac{r^2}{R^2 - r^2} - 1}, & \theta \in (\xi, \theta_2) \end{cases}. \quad (1.22)$$

3. 注意  $r(\theta)$  满足边值条件(1.11), 从而当  $\theta \rightarrow \theta_1$  或者  $\theta \rightarrow \theta_2$  时,  $r \rightarrow R$ ; 此时由(1.22)可知  $r_\theta \rightarrow \infty$ . 这说明曲线  $r = r(\theta)$  在两端点  $A, B$  处的切线经过地心.

4. 我们可以把隧道最低点的角位置  $\xi$  定量计算出来. 只需注意

$$\begin{aligned} \xi - \theta_1 &= \int_{\theta_1}^{\xi} d\theta = \int_R^d \frac{d\theta}{dr} dr \\ &= \int_d^R \frac{1}{r} \left( \frac{1}{kH^2} \frac{r^2}{R^2 - r^2} - 1 \right)^{-\frac{1}{2}} dr, \end{aligned}$$

为计算上述定积分, 我们考虑换元  $r \leftrightarrow \varphi$  如下:

$$\coth^2 \varphi = \frac{1}{kH^2} \frac{r^2}{R^2 - r^2} \quad \Leftrightarrow \quad r^2 = R^2 \frac{kH^2 \coth^2 \varphi}{1 + kH^2 \coth^2 \varphi}, \quad (1.23)$$

则容易验证

$$\frac{dr}{r} = -\frac{1}{(1 + kH^2 \coth^2 \varphi) \sinh \varphi \cosh \varphi},$$

$$\left( \frac{1}{kH^2} \frac{r^2}{R^2 - r^2} - 1 \right)^{-\frac{1}{2}} = \sinh \varphi.$$

此外, 当  $r \rightarrow R$  时,  $\coth^2 \varphi \rightarrow +\infty$ , 从而  $\varphi \rightarrow 0$ ; 当  $r \rightarrow d = \sqrt{\frac{kH^2}{1+kH^2}} R$  时,  $\coth^2 \varphi \rightarrow 1$ , 从而  $\varphi \rightarrow +\infty$ . 于是原积分化为

$$\begin{aligned} \xi - \theta_1 &= \int_d^R \frac{1}{r} \left( \frac{1}{kH^2} \frac{r^2}{R^2 - r^2} - 1 \right)^{-\frac{1}{2}} dr \\ &= \int_0^{+\infty} \frac{1}{1 + kH^2 \coth^2 \varphi} \frac{1}{\cosh \varphi} d\varphi \\ &= \int_0^{+\infty} \frac{1}{1 + kH^2 \coth^2 \varphi} \frac{1}{\cosh^2 \varphi} d \sinh \varphi \\ &= \frac{1}{1 + kH^2} \int_0^{+\infty} \frac{t^2}{(t^2 + 1) \left( t^2 + \frac{kH^2}{1+kH^2} \right)} dt \\ &= \frac{\pi}{2} \left( 1 - \sqrt{\frac{kH^2}{1 + kH^2}} \right). \end{aligned}$$

在区间  $(\xi, \theta_2)$  中执行完全类似的操作, 也能得到

$$\theta_2 - \xi = \frac{\pi}{2} \left( 1 - \sqrt{\frac{kH^2}{1 + kH^2}} \right),$$

于是  $\xi - \theta_1 = \theta_2 - \xi$ , 所以  $\xi$  恰为区间  $(\theta_1, \theta_2)$  的中点, 即

$$\xi = \frac{\theta_1 + \theta_2}{2}. \quad (1.24)$$

此外, 隧道两端点  $A, B$  的角距离  $\Delta\theta$  满足

$$\begin{aligned} \Delta\theta &= \theta_2 - \theta_1 = (\theta_2 - \xi) + (\xi - \theta_1) \\ &= \pi \left( 1 - \sqrt{\frac{kH^2}{1 + kH^2}} \right), \end{aligned} \quad (1.25)$$



由此解得

$$H = \frac{1}{\sqrt{k}} \frac{1 - \frac{\Delta\theta}{\pi}}{\sqrt{1 - \left(1 - \frac{\Delta\theta}{\pi}\right)^2}}, \quad (1.26)$$

可见参数  $H$  与隧道两端的角距离有关, 随角距离  $\Delta\theta$  的增大而减小; 这也是参数  $H$  的几何意义.

5. 我们甚至还可以把在轨滑行的总时间算出来, 并将其与“天真的”线段轨道情形(1.10)做作比较. 我们先算出质点从起点  $\theta = \theta_1$  滑到最低点  $\theta = \xi$  所用的时间  $T_1$ . 由(1.13)(1.14)以及(1.22)可得

$$\begin{aligned} T_1 &= \frac{1}{\sqrt{k}} \int_{\theta_1}^{\xi} \sqrt{\frac{r_{\theta}^2 + r^2}{R^2 - r^2}} d\theta = \frac{1}{kH} \int_{\theta_1}^{\xi} \frac{r^2}{R^2 - r^2} d\theta \\ &= \frac{1}{kH} \int_R^d \frac{r^2}{R^2 - r^2} \frac{d\theta}{dr} dr \\ &= \frac{1}{kH} \int_R^d \frac{r^2}{R^2 - r^2} \frac{1}{r} \left( \frac{1}{kH^2} \frac{r^2}{R^2 - r^2} - 1 \right)^{-\frac{1}{2}} dr \\ &= H \int_0^{+\infty} \frac{\cosh \varphi}{\sinh^2 \varphi (1 + kH^2 \coth^2 \varphi)} d\varphi \quad (\text{换元(1.23)}) \\ &= \frac{H}{1 + kH^2} \int_0^{+\infty} \frac{dt}{t^2 + \frac{kH^2}{1 + kH^2}} \quad (\text{换元 } t = \sinh \varphi) \\ &= \frac{\pi}{2\sqrt{k}} \frac{1}{\sqrt{1 + kH^2}}. \end{aligned}$$

同理, 质点从最低点  $\theta = \xi$  滑到终点  $\theta = \theta_2$  所用的时间  $T_2$  也为  $\frac{\pi}{2\sqrt{k}} \frac{1}{\sqrt{1 + kH^2}}$ , 因此质点在此隧道滑行的总时长

$$T = \frac{\pi}{\sqrt{k}} \frac{1}{\sqrt{1 + kH^2}} \leq \frac{\pi}{\sqrt{k}}. \quad (1.27)$$

可见沿此隧道滑行用时确实比之前沿线段轨道滑行更省时间, 且  $H$  的值越大, 效果越明显.

### 1.3.4 球内最速降线的参数方程

我们暂时停下前进的脚步, 总结已有的结果. 记地心为  $O$ , 给定地球表面  $A, B$  两点, 我们有以下输入数据:

- $R, \rho$ : 分别为地球的半径与密度;  $G$ : 万有引力常数;
- $k := \frac{4\pi G\rho}{3}$  是常数, 由地球本身所决定;
- $\Delta\theta$ : 隧道起点与终点的角距离, 即  $\angle AOB$  的大小, 取值于  $(0, \pi]$ .

我们将符合题设的连接  $A, B$  两点的地下隧道称为**球内最速降线**, 即在连接  $A, B$  的所有地下隧道中, 质点从  $A$  静止出发沿此隧道滑行至  $B$  的用时最短. 我们已有球内最速降线的如下参数:

- $d$ : 球内最速降线上的点到地心的最近距离;
- $H$ : 质点在沿球内最速降线滑行过程中的某守恒量;
- $T$ : 质点沿球内最速降线从  $A$  静止出发滑行至  $B$  的用时.

$d, H, T$  自然视为  $\Delta\theta$  的函数, 其具体表达式如下 (留做习题):

$$d = \left(1 - \frac{\Delta\theta}{\pi}\right) R, \quad (1.28)$$

$$H = \frac{1}{\sqrt{k}} \frac{1 - \frac{\Delta\theta}{\pi}}{\sqrt{1 - \left(1 - \frac{\Delta\theta}{\pi}\right)^2}}, \quad (1.29)$$

$$T = \frac{\pi}{\sqrt{k}} \sqrt{1 - \left(1 - \frac{\Delta\theta}{\pi}\right)^2}. \quad (1.30)$$

也容易看出, 给定  $d, H, T, \Delta\theta$  这四个参数之中的任何一个, 其余三个将被唯一确定.

下面我们来写出球内最速降线的具体表达式. 我们已有球内最速降线的微分方程(1.22), 这是最简单的常微分方程, 按道理说两边直接积分暴力计算就能解出来, 但我们还是想把方程的解写得漂亮一些. 用(1.20)将微分方程(1.22)中的常数  $H$  用  $d$  来表示, 有

$$\frac{dr}{d\theta} = \begin{cases} -\frac{rR}{d} \sqrt{\frac{r^2-d^2}{R^2-r^2}} & \theta \in (\theta_1, \xi), \\ \frac{rR}{d} \sqrt{\frac{r^2-d^2}{R^2-r^2}} & \theta \in (\xi, \theta_2), \end{cases} \quad (1.31)$$

其中  $\xi$  为轨道离地心最近处的角位置, 在前文已经得到  $\xi = \frac{\theta_1+\theta_2}{2}$ . 我们想绕开避免对上述方程右端正负号的分段讨论, 于是先如下观察: 当  $\theta$  从  $\theta_1$  变化到  $\xi$  时,  $r$  从  $R$  单调减少至  $d$ , 从而  $\sqrt{\frac{r^2-d^2}{R^2-r^2}}$  从  $+\infty$  单调减少至 0; 同理也可分析当  $\theta$  从  $\xi$  变化到  $\theta_2$  时  $\sqrt{\frac{r^2-d^2}{R^2-r^2}}$  的变化情况. 于是注意到,  $\pm\sqrt{\frac{r^2-d^2}{R^2-r^2}}$  在区间  $(\theta_1, \theta_2)$  的变化趋势非常像  $\phi \mapsto \cot \frac{\phi}{2}$  在  $\phi \in (0, 2\pi)$  中的样子. 从而考虑引入中间变量  $\phi$  如下

$$\cot \frac{\phi}{2} := \begin{cases} \sqrt{\frac{r^2-d^2}{R^2-r^2}} & \phi \in (0, \pi]; \\ -\sqrt{\frac{r^2-d^2}{R^2-r^2}} & \phi \in (\pi, 2\pi), \end{cases} \quad (1.32)$$

将  $\phi$  视为新的自变量, 并将  $r, \theta$  都视为关于  $\phi$  的函数. 则由上式可知  $r$  与  $\phi$  满足如下关系 (留给读者练习):

$$r^2 = \frac{R^2 + d^2}{2} + \frac{R^2 - d^2}{2} \cos \phi, \quad \phi \in (0, 2\pi), \quad (1.33)$$

后文将说明此式的初等几何含义. 而由微分方程(1.31)可得  $\theta$  与  $\phi$  满足如下关系:

$$\begin{aligned} \frac{d\theta}{d\phi} &= \frac{d\theta}{dr} \cdot \frac{dr}{d\phi} = -\frac{d}{Rr} \tan \frac{\phi}{2} \cdot \frac{-(R^2 - d^2)}{4r} \sin \phi \\ &= \frac{d(R^2 - d^2)}{2R} \cdot \frac{1 - \cos \phi}{(R^2 + d^2) + (R^2 - d^2) \cos \phi}, \end{aligned}$$

从而有

$$\begin{aligned}
 \theta &= \frac{d(R^2 - d^2)}{2R} \int \frac{1 - \cos \phi}{(R^2 + d^2) + (R^2 - d^2) \cos \phi} d\phi \\
 &= \frac{d(R^2 - d^2)}{2R} \int \frac{1 - \frac{t^2-1}{t^2+1}}{(R^2 + d^2) + (R^2 - d^2) \frac{t^2-1}{t^2+1}} \cdot \frac{-2}{t^2 + 1} dt \\
 &\quad (\text{万能代换 } t = \cot \frac{\phi}{2}) \\
 &= -\frac{d(R^2 - d^2)}{R^3} \int \frac{1}{(t^2 + 1) \left(t^2 + \frac{d^2}{R^2}\right)} dt \\
 &= \frac{d}{R} \int \left( \frac{1}{t^2 + 1} - \frac{1}{t^2 + \frac{d^2}{R^2}} \right) dt \\
 &= \frac{d}{R} \cdot \frac{\pi - \phi}{2} - \arctan \left( \frac{R}{d} \cot \frac{\phi}{2} \right) + C,
 \end{aligned}$$

注意初值条件: 当  $\phi \rightarrow 0$  时  $\theta \rightarrow \theta_1$ , 由此可确定积分常数

$$C = \theta_1 + \left(1 - \frac{d}{R}\right) \frac{\pi}{2}.$$

综上所述, 我们有:

**性质 1.12.** 记号承上, 则球内最速降线在极坐标下的参数方程为:

$$\begin{cases} r = \left( \frac{R^2 + d^2}{2} + \frac{R^2 - d^2}{2} \cos \phi \right)^{\frac{1}{2}}, \\ \theta = \theta_1 - \frac{d}{2R} \phi + \frac{\pi}{2} - \arctan \left( \frac{R}{d} \cot \frac{\phi}{2} \right), \end{cases} \quad (1.34)$$

其中参数  $\phi \in (0, 2\pi)$ .

我们对此参数方程稍作讨论. 在前文(1.28)我们已有  $\Delta\theta = \pi \left(1 - \frac{d}{R}\right)$ ; 于是当参数  $\phi$  分别趋于  $0, 2\pi$  时,  $\theta$  分别趋于  $\theta_1$  以及  $\theta_1 + \pi \left(1 - \frac{d}{R}\right) =$

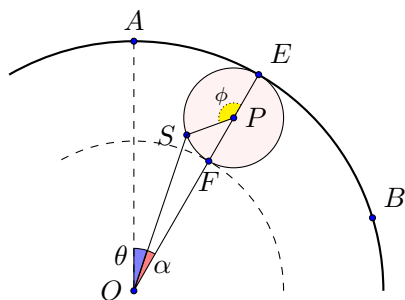
$\theta_1 + \Delta\theta = \theta_2$ , 这与前文结果吻合. 此外, 当参数  $\phi = \pi$  时,  $\theta = \theta_1 + \frac{\pi}{2} \left(1 - \frac{d}{R}\right) = \theta_1 + \xi$ , 其中  $\xi$  见前文(1.24)式, 是球内最速降线距地心最近点的角位置; 而此时  $r = \left(\frac{R^2+d^2}{2} - \frac{R^2-d^2}{2}\right)^{\frac{1}{2}} = d$  也就应该是离地心的最近距离.

### 1.3.5 初等几何解释, 圆内摆线

球内最速降线的参数方程(1.34)中的参数  $\phi \in (0, 2\pi)$  有明显的初等几何含义. 只需将  $r = r(\phi)$  的解析式改写为

$$r^2 = \left(\frac{R+d}{2}\right)^2 + \left(\frac{R-d}{2}\right)^2 + 2 \cdot \frac{R+d}{2} \cdot \frac{R-d}{2} \cos \phi, \quad (1.35)$$

就不难发现这很像初等几何学中的余弦定理表达式, 只不过这里的  $\phi$  代表某个三角形的外角而不是内角. 另一个观察是, 隧道起点与终点的球面距离 (大圆弧长) 为  $R\Delta\theta = \pi(R-d)$ , 这恰为半径为  $\frac{R-d}{2}$  的圆的周长.



(1.36)

事实上, 想象一个半径为  $\frac{R-d}{2}$  的圆, 记作  $\odot P$ , 此圆与地球 (记作  $\odot O$ ) 内切于点  $A$ ,  $\odot P$  上的一个定点  $S$  与  $A$  重合 (上图未画出); 令  $\odot P$  沿  $\odot O$  内壁无打滑地向  $B$  点滚动, 滚动过程中两圆始终内切, 切点记作  $E$ . 当滚动角度  $\phi$  时, 点  $S$  的位置如上图所示. 由前文可知, 当  $\odot P$  滚动一周

后,两圆恰好内切于点  $B$ . 我们断言: 在此滚动过程中, 点  $S$  的轨迹即为球内最速降线; 反之, 球内最速降线都形如此.

在上图中,  $|PS| = \frac{R-d}{2}$  为  $\odot P$  的半径,  $|OP| = \frac{R+d}{2}$ ,  $|OF| = d$ ,  $\phi := \angle EOS$  为  $\odot P$  的旋转角,  $\theta := \angle AOS$  表示点  $S$  的角位置 (这里不妨  $\theta_1 = 0$ , 并且临时约定  $\theta$  沿顺时针方向为正; 此外, 图中所画为滚动角度  $\phi$  很小的情形), 再记  $\alpha := \angle SOP$ , 以及  $r := |OS|$  为  $S$  到地心的距离. 于是在  $\triangle OSP$  中使用余弦定理, 立即得知  $r$  与  $\phi$  所满足的关系恰为(1.35).

$\odot P$  不打滑地滚动表明圆弧  $ES$  与  $EA$  的弧长相等, 从而

$$\theta - \theta_1 = \frac{R-d}{2R}\phi - \alpha \quad (1.37)$$

(图中所标注的  $\theta$  实际应该是  $\theta - \theta_1$ ). 接下来只需用  $\phi$  来表示  $\alpha$ . 在  $\triangle OSP$  中分别使用正弦定理与余弦定理可得

$$\sin \alpha = \frac{R-d}{2r} \sin \phi, \quad \cos \alpha = \frac{r^2 + Rd}{r(R+d)},$$

两式相除并再次使用(1.35)式, 整理得

$$\tan \alpha = \frac{(R-d) \sin \phi}{(R+d) + (R-d) \cos \phi} = \frac{(R-d) \cot \frac{\phi}{2}}{R \cot^2 \frac{\phi}{2} + d},$$

并注意  $|\alpha| < \frac{\pi}{2}$ , 因此

$$\alpha = \arctan \frac{(R-d) \cot \frac{\phi}{2}}{R \cot^2 \frac{\phi}{2} + d}.$$

将此代入(1.37)可得  $\theta = \theta(\phi)$  的表达式如下:

$$\theta = \theta_1 + \frac{R-d}{2R}\phi - \arctan \frac{(R-d) \cot \frac{\phi}{2}}{R \cot^2 \frac{\phi}{2} + d}, \quad (1.38)$$

这看起来似乎与参数方程(1.34)第二式不太一样？但其实是一样的，我们只需继续整理下去：

$$\begin{aligned}
 (1.38) \text{右边} &= \theta_1 - \frac{d}{2R}\phi + \frac{\pi}{2} - \frac{\pi - \phi}{2} - \arctan \frac{(R-d) \cot \frac{\phi}{2}}{R \cot^2 \frac{\phi}{2} + d} \\
 &= \theta_1 - \frac{d}{2R}\phi + \frac{\pi}{2} - \left( \arctan \cot \frac{\phi}{2} + \arctan \frac{(R-d) \cot \frac{\phi}{2}}{R \cot^2 \frac{\phi}{2} + d} \right) \\
 &= \theta_1 - \frac{d}{2R}\phi + \frac{\pi}{2} - \arctan \frac{\cot \frac{\phi}{2} + \frac{(R-d) \cot \frac{\phi}{2}}{R \cot^2 \frac{\phi}{2} + d}}{1 - \frac{(R-d) \cot^2 \frac{\phi}{2}}{R \cot^2 \frac{\phi}{2} + d}} \\
 &= \theta_1 - \frac{d}{2R}\phi + \frac{\pi}{2} - \arctan \left( \frac{R}{d} \cot \frac{\phi}{2} \right),
 \end{aligned}$$

刚好是参数方程(1.34)的第二式。从而断言得证。

这也给参数方程(1.34)中的参数  $\phi$  以几何解释：小圆沿大圆内壁滚动的角度。由此初等几何解释，球内最速降线也被称为圆内摆线。

## 1.4 诺特定理：对称性与守恒律

笔者从小就被洗脑“空间平移不变  $\Leftrightarrow$  动量守恒”，“时间平移不变  $\Leftrightarrow$  能量守恒”，以及更一般的“对称性等价于守恒律”，但笔者小时候只把这当成一句哲学理念，而未深究其数学表述。而如今，我们稍微花一点点精力来思考一下对称性与守恒律的关系，尤其是：时间平移不变怎么就能量守恒了？

设某个物理系统的拉格朗日量为

$$L = L(\mathbf{q}, \dot{\mathbf{q}}, t), \quad (1.39)$$

其中  $\mathbf{q} = (q^1, q^2, \dots, q^n)$  为广义坐标。众所周知，该系统随时间的演化

$t \mapsto \mathbf{q}(t)$  满足欧拉-拉格朗日方程

$$\frac{d}{dt} \frac{\partial L}{\partial \dot{q}^i} = \frac{\partial L}{\partial q^i}, \quad 1 \leq i \leq n. \quad (1.40)$$

演化路径  $t \mapsto \mathbf{q}(t)$  的无穷小变换是指形如

$$\begin{aligned} \mathbf{q}(t) &\mapsto \tilde{\mathbf{q}}(t) := \mathbf{q}(t) + \varepsilon \cdot \delta \mathbf{q}(t), \\ t &\mapsto \tilde{t} := t + \varepsilon \cdot \delta t, \end{aligned} \quad (1.41)$$

的变量替换, 其中  $t \mapsto \delta \mathbf{q}(t)$  是给定的函数,  $\delta t$  是给定的常数, 而  $\varepsilon$  为无穷小量. 熟练的读者可以像物理学家一样把  $\varepsilon$  略去不写, 而直接把  $\delta \mathbf{q}, \delta t$  视为无穷小量.

如果无穷小变换(1.41)使得

$$\delta L := \left. \frac{d}{d\varepsilon} \right|_{\varepsilon=0} L(\tilde{\mathbf{q}}(\tilde{t}), \dot{\tilde{\mathbf{q}}}(\tilde{t}), \tilde{t}) = 0, \quad (1.42)$$

称为该无穷小变换为无穷小对称. 这正是所谓“对称性”.

下面看如何从对称性导出“守恒律”. 设  $t \mapsto \mathbf{q}(t)$  为系统随时间的演化, 它满足欧拉-拉格朗日方程(1.40); 对任意无穷小变换(1.41), 对无穷小量  $\varepsilon$  泰勒展开直接计算得

$$\begin{aligned} L(\tilde{\mathbf{q}}(\tilde{t}), \dot{\tilde{\mathbf{q}}}(\tilde{t}), \tilde{t}) &= L(\mathbf{q}, \dot{\mathbf{q}}, t) + \varepsilon \left( \frac{\partial L}{\partial q^i} \dot{q}^i + \frac{\partial L}{\partial \dot{q}^i} \ddot{q}^i + \frac{\partial L}{\partial t} \right) \delta t \\ &\quad + \varepsilon \left( \frac{\partial L}{\partial q^i} \delta q^i + \frac{\partial L}{\partial \dot{q}^i} \delta \dot{q}^i \right) + O(\varepsilon^2), \end{aligned}$$

从而立刻得到

$$\begin{aligned} \delta L &= \left( \frac{\partial L}{\partial q^i} \dot{q}^i + \frac{\partial L}{\partial \dot{q}^i} \ddot{q}^i + \frac{\partial L}{\partial t} \right) \delta t + \left( \frac{\partial L}{\partial q^i} \delta q^i + \frac{\partial L}{\partial \dot{q}^i} \delta \dot{q}^i \right) \\ &= \frac{dL}{dt} \delta t + \left[ \frac{d}{dt} \left( \frac{\partial L}{\partial \dot{q}^i} \right) \delta q^i + \frac{\partial L}{\partial \dot{q}^i} \delta \dot{q}^i \right] \end{aligned}$$



$$= \frac{d}{dt} \left( \frac{\partial L}{\partial \dot{q}^i} \delta q^i + L \delta t \right) = \frac{d}{dt} (p_i \delta q^i + L \delta t),$$

其中  $p_i := \frac{\partial L}{\partial \dot{q}^i}$  是广义动量. 这表明, (1.41) 是无穷小对称, 当且仅当

$$p_i \delta q^i + L \delta t \quad (1.43)$$

是守恒量. 此乃著名的诺特定理 (的拉格朗日力学版本).

下面考察一些例子.

**例题 1.13.** (空间平移不变  $\Leftrightarrow$  动量守恒). 给定向量  $\mathbf{q}_0 = (q_0^1, \dots, q_0^n) \in \mathbb{R}^n$ , 考虑沿  $\mathbf{q}_0$  方向的空间平移变换

$$\mathbf{q}(t) \mapsto \mathbf{q}(t) + \varepsilon \mathbf{q}_0,$$

相应的无穷小变换(1.41)满足

$$\delta t = 0, \quad \delta q^i = q_0^i, \quad (1 \leq i \leq n).$$

若它是无穷小对称, 则相应的守恒量(1.43)为  $p_i q_0^i$ , 这恰为广义动量  $\mathbf{p}$  在  $\mathbf{q}_0$  方向的分量 (的常数倍).

**例题 1.14.** (时间平移不变  $\Leftrightarrow$  能量守恒). 考虑时间平移变换

$$\begin{aligned} \mathbf{q}(t) &\mapsto \mathbf{q}(t - \varepsilon) = \mathbf{q}(t) - \varepsilon \dot{\mathbf{q}}(t) + O(\varepsilon^2), \\ t &\mapsto t + \varepsilon, \end{aligned}$$

相应的无穷小变换(1.41)满足

$$\delta t = 1, \quad \delta q^i = -\dot{q}^i, \quad (1 \leq i \leq n).$$

若它是无穷小对称, 则相应的守恒量(1.43)为  $-p_i \dot{q}^i + L$ , 这恰为该系统的哈密顿量  $H = p_i \dot{q}^i - L$  的常数倍.

**例题 1.15.**(空间旋转不变  $\Leftrightarrow$  角动量守恒). 考虑  $\mathbb{R}^3$  中的单粒子系统

$$L = \frac{1}{2}m|\dot{\mathbf{r}}|^2 - V(\mathbf{r}),$$

其中  $\mathbf{r} = (x, y, z)$  为粒子的位置. 给定  $\boldsymbol{\omega} \in \mathbb{R}^3$ , 考虑位置矢量  $\mathbf{r}$  绕原点以角速度  $\boldsymbol{\omega}$  的旋转变换, 其无穷小变换满足

$$\delta \mathbf{r} = \boldsymbol{\omega} \times \mathbf{r}, \quad \delta t = 0.$$

若它是无穷小对称, 则相应的守恒量(1.43)为

$$\mathbf{p} \cdot \delta \mathbf{r} = \mathbf{p} \cdot (\boldsymbol{\omega} \times \mathbf{r}) = \boldsymbol{\omega} \cdot (\mathbf{r} \times \mathbf{p}) = \boldsymbol{\omega} \cdot \mathbf{J},$$

这恰为粒子角动量  $\mathbf{J}$  在角速度  $\boldsymbol{\omega}$  方向上的分量 (的常数倍).

## 1.5 一个简单的正交矩阵积分计算题

2024 年 6 月 4 日上午, 北京某高校. 不懂分析 的 LSQ 老师听说笔者最近在学习矩阵积分, 便决定出题考一考笔者. 题目是这样的:

**习题 1.16.** 考虑正交群  $O(n)$  上使得其体积为 1 的 Harr 测度  $dX$ . 在此意义下, 等式

$$\int_{O(n)} \text{tr} X \, dX = 0, \tag{1.44}$$

$$\int_{O(n)} (\text{tr} X)^2 \, dX = 1 \tag{1.45}$$

为什么成立呢?

LSQ 进一步解释道: 这里的正交群  $O(n)$  显然被视为概率空间, Harr 测度  $dX$  是相应的概率测度, 而正交矩阵的迹  $\text{tr} X$  被视为随机变量. 在

此意义下, 等式(1.44)(1.45)相当于说, 随机变量  $\text{tr}X$  的均值与方差分别为 0, 1.

据 LSQ 说, 这题是某人问他的. 提问者以为此题很难, 需要用高等工具, 比如李群理论中的 Weyl 积分公式之类的. 但实际上, 这题很初等. 笔者读完题目后就立刻注意到, 考虑换元积分

$$X \mapsto -X,$$

则  $\int_{O(n)} \text{tr}X \, dX = -\int_{O(n)} \text{tr}X \, dX$ , 因此(1.44)成立. 这个做法利用了积分区域  $O(n)$  的对称性, 本质上与奇函数在对称区间上的积分为零没什么区别. LSQ 对此表示满意, 随后吐槽道: 毕竟  $O(n)$  有两个连通分支, 如果把积分区域换成连通分支  $SO(n)$ , 或许就非常困难了.

这个困难的问题暂且不提, 我们来看(1.45)为什么成立. 笔者当时站在黑板前, 对着此式发呆数分钟也毫无想法, 毕竟式中的平方项使得对称换元  $X \mapsto -X$  技巧无效.

LSQ 见笔者毫无想法, 忍不住公布了答案, 他给的解法既暴力又优雅——暴力之处在于强行展开矩阵元, 逐个矩阵元考虑; 优雅之处在于充分利用积分区域  $O(n)$  的对称性. 具体如下:

(1.45)式的证明. 首先直接展开得

$$\begin{aligned} \int_{O(n)} (\text{tr}X)^2 dX &= \sum_{i,j=1}^n \int_{O(n)} X_{ii}X_{jj} dX \\ &= \sum_{i=1}^n \int_{O(n)} X_{ii}^2 dX + \sum_{i \neq j} \int_{O(n)} X_{ii}X_{jj} dX. \end{aligned}$$

若  $i \neq j$ , 考虑将矩阵  $X$  的第  $j$  列乘以  $(-1)$  而其余各列保持不变的变换, 显然  $O(n)$  在该变换下保持不变, 由此易知  $\int_{O(n)} X_{ii}X_{jj} dX = 0$ . 之后考虑对  $X$  作行置换, 列置换, 显然这种操作也保持  $O(n)$  不变, 由此可

知对任意  $i, j, k, \ell \in \{1, 2, \dots, n\}$  都有

$$\int_{O(n)} X_{ij}^2 dX = \int_{O(n)} X_{k\ell}^2 dX,$$

从而

$$\int_{O(n)} (\text{tr} X)^2 dX = \sum_{i=1}^n \int_{O(n)} X_{ii}^2 dX = n \int_{O(n)} X_{11}^2 dX.$$

于是我们只需要计算  $X$  的某个矩阵元平方的期望. 而这是容易的: 注意  $X$  为正交矩阵,  $X^T X = I$ , 于是

$$n = \int_{O(n)} \text{tr}(X^T X) dX = \sum_{i,j=1}^n \int_{O(n)} X_{ij}^2 dX = n^2 \int_{O(n)} X_{11}^2 dX,$$

从而  $\int_{O(n)} X_{11}^2 dX = \frac{1}{n}$ . 因此  $\int_{O(n)} (\text{tr} X)^2 dX = n \int_{O(n)} X_{11}^2 dX = 1$ .  $\square$

之后笔者便与 LSQ 闲扯了几句, 闲扯之中偶然提到, 如果把(1.45)左边稍微改一下, 把  $\text{trace}$  的平方改成平方的  $\text{trace}$ , 那是否也能计算? 即能否计算出

$$\int_{O(n)} \text{tr}(X^2) dX$$

的值. 简单讨论后我们发现, 这个变式也很容易, 用完全相同的处理技巧即可: 首先直接展开

$$\int_{O(n)} \text{tr}(X^2) dX = \sum_{i=1}^n \int_{O(n)} X_{ii}^2 dX + \sum_{i \neq j} \int_{O(n)} X_{ij} X_{ji} dX.$$

右边第一项已经做过; 而当  $i \neq j$  时, 依然考虑将  $X$  的第  $j$  列乘以  $(-1)$  而其余列保持不变的变换, 由此易知  $\int_{O(n)} X_{ij} X_{ji} dX = 0$ . 综上, 我们有

$$\int_{O(n)} \text{tr}(X^2) dX = 1.$$

## 2. 代数、数论与密码学

### 2.1 一些组合恒等式

笔者在研究某个可积系统时, 需要计算这样一个留数:

$$\operatorname{Res}_{z=0} \left( \frac{dz}{z} \lambda^{2p} \log \frac{\lambda}{z} \right), \quad \text{其中 } p \in \mathbb{Z}_+, \lambda = z + \frac{e^u}{z}.$$

直接抽  $z^{-1}$  的系数, 就会遇到表达式  $\sum_{k=1}^p \frac{(-1)^{k-1}}{k} \binom{2p}{p-k}$ , 笔者试图化简它.

**引理 2.1.** 对于正整数  $p$ , 成立以下:

$$\sum_{k=1}^p \frac{(-1)^{k-1}}{p+1+k} \binom{2p}{p-k} = \frac{1}{2p+1} \binom{2p}{p-1}, \quad (2.46)$$

$$\sum_{k=1}^p \frac{(-1)^{k-1}}{p+1-k} \binom{2p}{p-k} = \frac{1}{2p+1} \binom{2p}{p} - \frac{(-1)^p}{2p+1}. \quad (2.47)$$

证明. 利用基本的组合恒等式, 可知

$$\begin{aligned} \sum_{k=1}^p \frac{(-1)^{k-1}}{p+1+k} \binom{2p}{p-k} &= \frac{1}{2p+1} \sum_{k=1}^p (-1)^{k-1} \binom{2p+1}{p-k} \\ &= \frac{1}{2p+1} \sum_{k=1}^p \left[ (-1)^{k-1} \binom{2p}{p-k} - (-1)^{(k+1)-1} \binom{2p}{p-(k+1)} \right] \\ &= \frac{1}{2p+1} \binom{2p}{p-1}. \end{aligned}$$

完全类似的方法可证另一式, 细节留给读者. □

反复运用上述引理的证明所用技术, 就可以得到:

性质 2.2. 对于正整数  $p$ , 成立

$$\sum_{k=1}^p \frac{(-1)^{k-1}}{k} \binom{2p}{p-k} = \binom{2p}{p} (H_{2p} - H_p), \quad (2.48)$$

其中  $H_p = 1 + \frac{1}{2} + \frac{1}{3} + \cdots + \frac{1}{p}$  为调和数.

证明. 将(2.48)等号左边记作  $a_p$ , 则

$$\begin{aligned} a_p &= \frac{(-1)^{p-1}}{p} + \sum_{k=1}^{p-1} \frac{(-1)^{k-1}}{k} \frac{2p}{p-k} \binom{2p-1}{p-k-1} \\ &= \frac{(-1)^{p-1}}{p} + 2 \sum_{k=1}^{p-1} (-1)^{k-1} \left( \frac{1}{k} + \frac{1}{p-k} \right) \binom{2p-1}{p-k-1} \\ &= \frac{1}{p} \sum_{k=1}^p (-1)^{k-1} \binom{2p}{p-k} + 2 \sum_{k=1}^{p-1} \frac{(-1)^{k-1}}{k} \binom{2p-1}{p-k-1} \\ &= \frac{1}{p} \sum_{k=1}^p \left[ (-1)^{k-1} \binom{2p-1}{p-1-k} - (-1)^{(k-1)-1} \binom{2p-1}{p-1-(k-1)} \right] \\ &\quad + 2 \sum_{k=1}^{p-1} (-1)^{k-1} \frac{2p-1}{k(p+k)} \binom{2p-2}{p+k+1} \\ &= \frac{1}{p} \binom{2p-1}{p-1} + \frac{2(2p-1)}{p} \sum_{k=1}^{p-1} (-1)^{k-1} \left( \frac{1}{k} - \frac{1}{p+k} \right) \binom{2p-2}{p+k-1} \\ &= \frac{1}{p} \binom{2p-1}{p-1} + \frac{2(2p-1)}{p} \left( a_{p-1} - \frac{1}{2p-1} \binom{2p-2}{p-2} \right) \\ &= \frac{2(2p-1)}{p} a_{p-1} + \frac{(2p-2)!}{p!p!}, \end{aligned}$$

其中倒数第二步用到了等式(2.46). 由此得到

$$\begin{aligned}\frac{a_p}{\binom{2p}{p}} &= \frac{a_{p-1}}{\binom{2p-2}{p-1}} + \frac{1}{(2p-1)2p} \\ &= \frac{a_{p-1}}{\binom{2p-2}{p-1}} + \left( \frac{1}{2p-1} + \frac{1}{2p} \right) - \frac{1}{p},\end{aligned}$$

从而易知  $\frac{a_p}{\binom{2p}{p}} = H_{2p} - H_p$ , 命题得证. □

## 2.2 多项式的结式及其应用

数论、代数、代数几何等领域常出现与多项式有关的具体计算. 处理这些计算问题的工具有很多, **结式 (resultant)** 是其中之一. 结式是发展于 19 世纪的古老工具, 最初被用于求解多元多项式方程组; 虽说如今似乎有些过时, 被更现代的工具所替代 (例如 **Gröbner 基**), 但结式在理论推导与具体计算上仍有值得借鉴之处. 本节介绍结式的概念与性质, 及其在代数学领域中的若干应用.

在本节我们约定:

1.  $A$  是唯一分解整环 (UFD), 例如  $\mathbb{Z}$ ,  $\mathbb{Z}[x_1, x_2, \dots, x_n]$  等.
2.  $A[x]$  是环  $A$  上的多项式环. 则由代数学中众所周知的结果,  $A[x]$  也是 UFD. 对于正整数  $n$ , 记

$$A^{(n)}[x] := \{f \in A[x] \mid \deg f < n\},$$

注意  $A^{(n)}[x]$  是秩为  $n$  的自由  $A$ -模.

3. 记  $\mathbb{F} := \text{Frac}(A)$  是整环  $A$  的分式域,  $\bar{\mathbb{F}}$  是  $\mathbb{F}$  的代数闭包.

## 2.2.1 结式的概念与基本性质

我们想研究如下问题: 对于多项式  $f, g \in A[x]$ , 如何判断  $f, g$  的最大公因式的次数是否大于 1? [其实想问: 如何判断  $f$  与  $g$  在  $\mathbb{F}$  的代数闭包上是否有公共零点?] 若  $R$  是域, 则可以用欧几里得辗转相除法. 而对于一般情况, 注意到:

**引理 2.3.** 设多项式  $f, g \in A[x]$  的次数分别为  $m, n$ , 记  $d := \gcd(f, g)$  为  $f$  与  $g$  的最大公因式, 则

$$\deg d \geq 1 \iff \exists (u, v) \in A^{(n)}[x] \times A^{(m)}[x], \quad uf + vg = 0.$$

证明. 如果  $f, g$  不互素, 则  $\deg d \geq 1$ , 此时取  $u := \frac{g}{d}, v := -\frac{f}{d}$  即可. 另一方面, 如果存在符合题设的  $u, v$ , 则由  $uf + vg = 0$  可知  $f|vg$ , 从而  $\frac{f}{d}|v \cdot \frac{g}{d}$ . 而  $\frac{f}{d}$  与  $\frac{g}{d}$  互素, 因此  $\frac{f}{d}|v$ . 于是  $m > \deg v \geq \deg \frac{f}{d} = m - \deg d$ , 所以  $\deg d \geq 1$ . 引理得证.  $\square$

引入自由  $A$ -模同态  $R_{f,g}: A^{(n)}[x] \times A^{(m)}[x] \rightarrow A^{(n+m)}[x]$  如下:

$$R_{f,g}(u, v) := uf + vg. \quad (2.49)$$

则引理 2.3 可改写为:  $\deg d \geq 1$  当且仅当  $R_{f,g}$  不是单同态. 注意  $A^{(n)}[x]$  是自由  $A$ -模, 具有标准基  $\{1, x, x^2, \dots, x^{n-1}\}$ ; 并且  $R_{f,g}$  可用标准基下的矩阵来表示. 若记

$$\begin{aligned} f &= f_0 + f_1x + f_2x^2 + \cdots + f_mx^m, \\ g &= g_0 + g_1x + g_2x^2 + \cdots + g_nx^n, \end{aligned} \quad (2.50)$$

其中  $f_i, g_i \in A$ , 且  $f_m, g_n \neq 0$ , 则自由  $A$ -模同态  $R_{f,g}$  在标准基下的矩阵



为

$$\text{Syl}_x(f, g) := \begin{pmatrix} f_0 & & & g_0 & & \\ f_1 & f_0 & & g_1 & \ddots & \\ \vdots & f_1 & \ddots & g_2 & \ddots & g_0 \\ f_m & \vdots & \ddots & f_0 & \vdots & \ddots & g_1 \\ & f_m & & f_1 & g_n & & g_2 \\ & & \ddots & \vdots & & \ddots & \vdots \\ & & & f_m & & & g_n \end{pmatrix}, \quad (2.51)$$

该矩阵称为多项式  $f$  与  $g$  的 **Sylvester 矩阵**. 注意  $\text{Syl}(f, g)$  是环  $A$  上的  $(n + m)$  阶方阵, 其主对角线由  $n$  个  $f_0$  与  $m$  个  $g_n$  组成.

**定义 2.4.** 对于多项式  $f, g \in A[x]$ , 记

$$\text{Res}_x(f, g) := \det \text{Syl}_x(f, g), \quad (2.52)$$

称为多项式  $f$  与  $g$  的**结式**(resultant).

考虑 Sylvester 矩阵  $\text{Syl}_x(f, g)$  的伴随矩阵  $\text{Syl}_x^*(f, g)$ , 即

$$\text{Syl}_x(f, g) \text{Syl}_x^*(f, g) = \det \text{Syl}_x(f, g) \cdot I_{n+m} = \text{Res}_x(f, g) \cdot I_{n+m},$$

其中  $I_{n+m}$  是环  $A$  上的  $(n + m)$  阶单位矩阵. 由此容易证明:

**习题 2.5.** 设  $f, g \in A[x]$  的次数分别为  $m, n$ , 记  $d := \gcd(f, g)$ , 则

1.  $\deg d > 1$  当且仅当  $\text{Res}_x(f, g) = 0$ .
2. 存在  $(u, v) \in A^{(n)}[x] \times A^{(m)}[x]$  使得  $\text{Res}_x(f, g) = uf + vg$ .

上述习题的 (2) 表明,  $\text{Res}_x(f, g)$  属于环  $A[x]$  的由  $f, g$  所生成的理想.

考虑环  $A$  的分式域  $\mathbb{F} := \text{Frac } A$ , 并记  $\overline{\mathbb{F}}$  为  $\mathbb{F}$  的代数闭包 (或足够大的扩域), 则(2.50)式在  $\overline{\mathbb{F}}$  中可分解为

$$\begin{aligned} f &= f_m(x - \alpha_1)(x - \alpha_2) \cdots (x - \alpha_m), \\ g &= g_n(x - \beta_1)(x - \beta_2) \cdots (x - \beta_n), \end{aligned} \quad (2.53)$$

其中  $\alpha_1, \dots, \alpha_m$  与  $\beta_1, \dots, \beta_n$  都是  $\overline{\mathbb{F}}$  中的元素, 它们分别为多项式  $f$  与  $g$  的根.

**定理 2.6.** 记号承上, 则有

$$\text{Res}_x(f, g) = f_m^n g_n^m \prod_{\substack{1 \leq i \leq m \\ 1 \leq j \leq n}} (\beta_j - \alpha_i). \quad (2.54)$$

特别地,  $\text{Res}_x(f, g) = 0$  当且仅当  $f, g$  在  $\overline{\mathbb{F}}$  上有公共根.

证明. 引入  $A$  上的  $(m + n + 2)$  元多项式环

$$\hat{A} := A[\hat{f}_m, \hat{g}_n; \hat{\alpha}_1, \dots, \hat{\alpha}_m; \hat{\beta}_1, \dots, \hat{\beta}_n],$$

其中  $\hat{f}_m, \hat{g}_n; \hat{\alpha}_1, \dots, \hat{\alpha}_m; \hat{\beta}_1, \dots, \hat{\beta}_n$  是独立的形式变元. 再引入多项式  $\hat{f}, \hat{g} \in \hat{A}[x]$  如下:

$$\begin{aligned} \hat{f} &:= \hat{f}_m(x - \hat{\alpha}_1)(x - \hat{\alpha}_2) \cdots (x - \hat{\alpha}_m), \\ \hat{g} &:= \hat{g}_n(x - \hat{\beta}_1)(x - \hat{\beta}_2) \cdots (x - \hat{\beta}_n). \end{aligned}$$

注意如下  $A$ -模同态  $\text{ev}: \hat{A} \rightarrow \overline{\mathbb{F}}$

$$\hat{f}_m \mapsto f_m, \quad \hat{g}_n \mapsto g_n, \quad \hat{\alpha}_i \mapsto \alpha_i, \quad \hat{\beta}_j \mapsto \beta_j.$$

如果证明了  $\hat{A}$  上的等式

$$\text{Res}_x(\hat{f}, \hat{g}) = \hat{f}_m^n \hat{g}_n^m \prod_{\substack{1 \leq i \leq m \\ 1 \leq j \leq n}} (\hat{\beta}_j - \hat{\alpha}_i), \quad (2.55)$$

则将此式两边作用  $\text{ev}$  即得证. 下证(2.55)式.

直接考察  $\hat{f}$  与  $\hat{g}$  的 Sylvester 矩阵, 由行列式的基本性质易知

$$\text{Res}_x(\hat{f}, \hat{g}) = \hat{f}_m^n \hat{g}_n^m \hat{H},$$

$$\text{其中 } \hat{H} := \text{Res}_x \left( \prod_{i=1}^m (x - \hat{\alpha}_i), \prod_{j=1}^n (x - \hat{\beta}_j) \right) \in A[\hat{\alpha}_1, \dots, \hat{\alpha}_m; \hat{\beta}_1, \dots, \hat{\beta}_n].$$

将  $\hat{H}$  视为环  $A[\hat{\alpha}_1, \dots, \hat{\alpha}_m]$  上的关于变元  $\hat{\beta}_1, \dots, \hat{\beta}_n$  的多项式. 对于每个  $1 \leq j \leq n$  以及  $1 \leq i \leq m$ , 注意当  $\hat{\beta}_j = \hat{\alpha}_i$  时,  $\prod_{i=1}^m (x - \hat{\alpha}_i)$  与  $\prod_{j=1}^n (x - \hat{\beta}_j)$  具有次数  $\geq 1$  的公因式, 从而由习题2.5可知  $\hat{H}|_{\hat{\beta}_j=\hat{\alpha}_i} = 0$ . 这表明  $\hat{H}$  能被  $(\hat{\beta}_j - \hat{\alpha}_i)$  整除. 从而  $\hat{H}$  形如

$$\hat{H} = \hat{C} \prod_{\substack{1 \leq i \leq m \\ 1 \leq j \leq n}} (\hat{\beta}_j - \hat{\alpha}_i), \quad (2.56)$$

其中  $\hat{C} \in A[\hat{\alpha}_1, \dots, \hat{\alpha}_m; \hat{\beta}_1, \dots, \hat{\beta}_n]$ . 下面只需证明  $\hat{C} = 1$ .

对每个  $1 \leq j \leq n$ , 将  $\hat{H}$  与  $\hat{C}$  视为关于  $\hat{\beta}_j$  的多项式, 则由(2.56),

$$\deg_{\hat{\beta}_j} \hat{H} = \deg_{\hat{\beta}_j} \hat{C} + m.$$

另一方面, 直接写出 Sylvester 矩阵  $\text{Syl}_x(\hat{f}, \hat{g})$  并观察其行列式, 易知  $\deg_{\hat{\beta}_j} \hat{H} \leq m$ . 从而  $\deg_{\hat{\beta}_j} \hat{C} = 0$ . 同理  $\deg_{\hat{\alpha}_i} \hat{C} = 0$ . 因此  $\hat{C} \in A$ .

在(2.56)式中, 令  $\hat{\beta}_1 = \hat{\beta}_2 = \dots = \hat{\beta}_n = 0$ , 则该式右边等于  $\hat{C}(-1)^{mn}(\hat{\alpha}_1 \hat{\alpha}_2 \dots \hat{\alpha}_m)^n$ . 另一方面, 注意此时 Sylvester 矩阵

$$\text{Syl}_x \left( \prod_{i=1}^m (x - \hat{\alpha}_i), x^n \right)$$

是上三角阵, 直接计算其行列式可知  $\hat{H} = (-1)^{mn}(\hat{\alpha}_1 \hat{\alpha}_2 \dots \hat{\alpha}_m)^n$ . 因此  $\hat{C} = 1$ , 定理得证.  $\square$

由此定理, 立刻得到结式的诸多运算性质, 见下述习题.

**习题 2.7.** 若  $f, g, h \in A[x]$ ,  $\varepsilon \in A$ , 记  $m := \deg f$ ,  $n := \deg g$ , 则有

1.  $\text{Res}_x(g, f) = (-1)^{mn} \text{Res}_x(f, g).$
2.  $\text{Res}_x(\varepsilon f, g) = \varepsilon^n \text{Res}_x(f, g).$
3.  $\text{Res}_x(f, x - \varepsilon) = f(\varepsilon).$
4.  $\text{Res}_x(fg, h) = \text{Res}_x(f, h) \text{Res}_x(g, h).$

**习题 2.8.** 记号同上题, 则还有如下性质:

1.  $\text{Res}_x(f(x + \varepsilon), g(x + \varepsilon)) = \text{Res}_x(f(x), g(x)).$
2.  $\text{Res}_x(f(\varepsilon x), g(\varepsilon x)) = \varepsilon^{mn} \text{Res}_x(f(x), g(x)).$

我们还有如下重要性质:

**性质 2.9.** 设  $f, g \in A[x]$  的次数分别为  $m, n$ , 若存在  $q, r \in A[x]$  使得

$$f = qg + r,$$

且  $k := \deg r < \deg g$ , 则

$$\text{Res}_x(f, g) = (-1)^{nk} g_n^{m-k} \text{Res}_x(g, r),$$

其中  $g_n$  为  $g$  的最高次项  $x^n$  的系数.

证明. 在  $\mathbb{F} := \text{Frac } A$  的足够大的扩域中, 记  $g(x) = g_n(x - \beta_1) \cdots (x - \beta_n)$ , 则

$$\begin{aligned} \text{Res}_x(f, g) &= g_n^m \text{Res}_x \left( f, \prod_{j=1}^n (x - \beta_j) \right) \\ &= g_n^m \prod_{j=1}^n f(\beta_j) = g_n^m \prod_{j=1}^n r(\beta_j) \\ &= g_n^{m-k} \text{Res}_x(r, g) = (-1)^{nk} g_n^{m-k} \text{Res}_x(g, r), \end{aligned}$$

得证. □

**注记 2.10.** 上述性质给出了计算结式的高效算法.

## 2.2.2 用结式解多项式方程组

历史上, 结式最初被用于求解多项式方程组. 对于二元多项式  $f, g \in \mathbb{C}[x, y]$ , 我们希望在  $\mathbb{C}$  (或其他代数闭域) 中解关于  $x, y$  的方程组

$$\begin{cases} f(x, y) = 0, \\ g(x, y) = 0. \end{cases} \quad (2.57)$$

注意到, 如果  $(x_0, y_0) \in \mathbb{C}^2$  是方程组(2.57)的一个解, 则  $y_0$  是多项式  $f, g \in \mathbb{C}[x, y] \cong (\mathbb{C}[x])[y]$  的公共根; 特别地,  $f$  与  $g$  作为环  $\mathbb{C}[x]$  上的关于  $y$  的多项式, 有公共根, 所以  $\text{Res}_y(f, g) = 0$ . 这其实是消元法, 将  $y$  消掉.

上述“消元法”容易推广到更多元的多项式上. 例如我们随手编一道题:

习题 2.11. 在  $\mathbb{C}$  上解关于  $x, y, z$  的方程组

$$\begin{cases} xz + y^2 + z^2 = 8, \\ 4xy + 5yz^3 = 9, \\ x^2 + 3y^2z + 23 = 0. \end{cases} \quad (2.58)$$

$[(x, y, z) = (2, 3, -1)]$  是该方程组的一个解. 除此之外还有别的解吗?

解. 将方程组中的 3 个方程都视为环  $\mathbb{C}[x, y]$  上的关于变元  $z$  的多项式.

类似原因, 应该有  $\begin{cases} \text{Res}_z(y^2 - 8 + xz + z^2, 4xy - 9 + 5yz^3) = 0 \\ \text{Res}_z(y^2 - 8 + xz + z^2, x^2 + 23 + 3y^2z) = 0 \end{cases}$ , 经计算可得

$$\begin{cases} 20x^4y^2 - 45x^3y - 60x^2y^4 + 464x^2y^2 + 135xy^3 + 1008xy \\ \quad - 25y^8 + 600y^6 - 4800y^4 + 12800y^2 - 81 = 0 \\ x^4 - 3x^3y^2 + 46x^2 - 69xy^2 + 9y^6 - 72y^4 + 529 = 0 \end{cases},$$

从而将  $z$  消去, 只需求解上述关于  $x, y$  的方程组. 再用结式消去  $y$ , 经过暴力计算可得关于  $x$  的多项式方程

$$(x - 2)^2 F(x) G(x) = 0, \quad (2.59)$$

其中  $F, G \in \mathbb{C}[x]$  的次数分别是 15, 17, 具体表达式分别是

$$\begin{aligned} F(x) = & 15625x^{15} - 283750x^{14} - 964900x^{13} + 8656000x^{12} + 50966940x^{11} \\ & + 1644957015x^{10} + 14207783014x^9 + 86652061193x^8 \\ & + 616119120680x^7 + 2814555246283x^6 + 11437322767827x^5 \\ & + 48009988716483x^4 + 114975459599056x^3 \end{aligned}$$

$$\begin{aligned}
& + 286286988616187x^2 + 638569073069411x \\
& - 476809020260513, \\
G(x) = & 7290000x^{17} - 15255000x^{16} + 715407625x^{15} - 2725329625x^{14} \\
& + 38123578475x^{13} - 172670600675x^{12} + 1346691556605x^{11} \\
& - 5925967748625x^{10} + 31792829112199x^9 - 123786880325107x^8 \\
& + 478133593383110x^7 - 1480393966386167x^6 \\
& + 3818405557147272x^5 - 7920782241197577x^4 \\
& + 9272495275430911x^3 - 6717415381685293x^2 \\
& + 2902982359159976x - 476809020260513.
\end{aligned}$$

从而由(2.59)解得  $x = 2$ , 或者  $x$  是多项式  $F$  或  $G$  的根. 对于上述每个  $x$ , 再去求解  $y, z$  即可. 计算过程过于暴力, 从略. 但至少能看出, 原方程组除了  $(x, y, z) = (2, 3, -1)$  这组解之外, 肯定还有别的解.  $\square$

**注记 2.12.** 结式的计算可由计算机完成, 例如用符号计算软件 Mathematica.

```

In[14]:= A = Resultant[x z + y^2 + z^2 - 8, 4 x y + 5 y z^3 - 9, z]
          | 结式
          B = Resultant[x z + y^2 + z^2 - 8, x^2 + 3 y^2 z + 23, z]
          | 结式

Out[14]= 81 + 1008 x y + 45 x^3 y - 12 800 y^2 - 464 x^2 y^2 -
          20 x^4 y^2 - 135 x y^3 + 4800 y^4 + 60 x^2 y^4 - 600 y^6 + 25 y^8

Out[15]= 529 + 46 x^2 + x^4 - 69 x y^2 - 3 x^3 y^2 - 72 y^4 + 9 y^6

In[17]:= Resultant[A, B, y] // Factor
          | 结式          | 因式分解

```

### 2.2.3 判别式与结式

对于多项式  $f \in A[x]$ , 我们关心  $f$  是否有重根. 如果  $\alpha \in \overline{\mathbb{F}}$  是  $f$  的重根, 则  $f$  能被  $(x - \alpha)^2$  整除, 记  $f = (x - \alpha)^2 g$ , 其中  $g \in \overline{\mathbb{F}}[x]$ , 则

$$f' := \frac{df}{dx} = (x - \alpha)(2g + (x - \alpha)g'),$$

从而  $f$  与  $f'$  有公因式  $(x - \alpha)$ , 因此  $\text{Res}_x(f, f') = 0$ .

**性质 2.13.** 设  $f = f_0 + f_1x + \cdots + f_mx^m \in A[x]$ , 其中  $f_m \neq 0$ , 则

$$\text{Res}_x(f, f') = (-1)^{\frac{m(m-1)}{2}} f_m^{2m-1} \prod_{i < j} (\alpha_i - \alpha_j)^2, \quad (2.60)$$

其中  $\alpha_1, \dots, \alpha_m \in \overline{\mathbb{F}}$  使得  $f = f_m \prod_{i=1}^m (x - \alpha_i)$ .

证明. 从而由结式的运算性质 (见习题2.7) 并注意

$$f' = \sum_{i=1}^m \prod_{j \neq i} (x - \alpha_j),$$

直接计算如下:

$$\begin{aligned} \text{Res}_x(f, f') &= f_m^{2m-1} \text{Res}_x \left( \prod_{i=1}^m (x - \alpha_i), f' \right) \\ &= (-1)^{m(m-1)} f_m^{2m-1} \prod_{i=1}^m \text{Res}_x(f', x - \alpha_i) \\ &= (-1)^{m(m-1)} f_m^{2m-1} \prod_{k=1}^m f'(\alpha_k) \\ &= (-1)^{\frac{m(m-1)}{2}} f_m^{2m-1} \prod_{1 \leq i < j \leq m} (\alpha_i - \alpha_j)^2, \end{aligned}$$



从而得证. □

**定义 2.14.** 设  $f = f_0 + f_1x + \cdots + f_mx^m \in A[x]$ , 其中  $f_m \neq 0$ , 定义

$$\text{Disc}_x(f) := f_m^{2m-2} \prod_{1 \leq i < j \leq m} (\alpha_i - \alpha_j)^2, \quad (2.61)$$

其中  $\alpha_1, \dots, \alpha_m \in \overline{\mathbb{F}}$  使得  $f = f_m \prod_{i=1}^m (x - \alpha_i)$ . 上述  $\text{Disc}_x(f)$  称为多项式  $f$  的判别式 (*discriminant*).

由定义可知,  $f$  有重根当且仅当判别式  $\text{Disc}_x(f) = 0$ ; 而性质 2.13 表明判别式与结式满足关系

$$f_m \text{Disc}_x(f) = (-1)^{\frac{m(m-1)}{2}} \text{Res}_x(f, f'). \quad (2.62)$$

此外, 通过简单计算也容易验证, 对任意  $f, g \in A[x]$  都有

$$\text{Disc}_x(fg) = \text{Disc}_x(f) \text{Disc}_x(g) \left[ \text{Res}_x(f, g) \right]^2. \quad (2.63)$$

[提示: 利用 (2.54)(2.62) 式直接验证之.]

**例题 2.15.** 若  $f = ax^2 + bx + c \in A[x]$  是 2 次多项式, 则  $f' = 2ax + b$ , 从而

$$\text{Disc}_x(f) = -\frac{1}{a} \text{Res}_x(ax^2 + bx + c, 2ax + b) = b^2 - 4ac,$$

与初中数学所谓  $\Delta = b^2 - 4ac$  相符合.

**例题 2.16.** 若  $f = x^3 + ax + b \in A[x]$ , 验证:  $\text{Disc}_x(x) = -4a^3 - 27b^2$ .

**例题 2.17.** 设  $p$  为奇素数, 验证: 分圆多项式 (cyclotomic polynomial)

$$\Phi_p(x) := \frac{x^p - 1}{x - 1} = x^{p-1} + x^{p-2} + \cdots + x + 1 \in \mathbb{Z}[x] \quad (2.64)$$

的判别式  $\text{Disc}_x(\Phi_p) = (-1)^{\frac{p-1}{2}} p^{p-2}$ .

证明. 注意  $(x-1)\Phi_p = x^p - 1$ , 利用(2.63)式直接计算即可, 留给读者.  $\square$

## 2.2.4 代数数的零化多项式

我们知道, 对于实数  $\alpha \in \mathbb{C}$ , 如果存在整系数多项式  $f \in \mathbb{Z}[x]$  使得  $f(\alpha) = 0$ , 则称  $\alpha$  为代数数,  $f$  是  $\alpha$  的一个零化多项式. 记

$$\mathbb{A} := \{\alpha \in \mathbb{C} \mid \alpha \text{ 是代数数}\} \quad (2.65)$$

为全体代数数构成的集合.

**例题 2.18.** 设  $\alpha, \beta \in \mathbb{C}$  分别满足方程  $\alpha^3 - \alpha + 3 = 0$  与  $\beta^4 - 3\beta + 1 = 0$ . 试寻找多项式  $f \in \mathbb{Z}[x]$  使得  $f(\alpha + \beta) = 0$ , 从而  $\alpha + \beta$  也是代数数.

解. 记  $x := \alpha + \beta$ , 则  $\alpha, \beta, x$  满足多项式方程组

$$\begin{cases} \alpha^3 - \alpha + 3 = 0 \\ \beta^4 - 3\beta + 1 = 0 \\ x - \alpha - \beta = 0, \end{cases}$$

之后用2.2.2小节的消元法将  $\alpha, \beta$  消去, 即可得  $x$  满足的多项式方程. 易知  $\alpha + \beta$  的零化多项式  $f(x)$  可以取为

$$\begin{aligned} f(x) &= \text{Res}_{\beta} \left( \text{Res}_{\alpha} (\alpha^3 - 3\alpha + 3, x - \alpha - \beta), \beta^4 - 3\beta + 1 \right) \\ &= -x^{12} + 4x^{10} - 3x^9 - 9x^8 + 36x^7 - 247x^6 \\ &\quad + 126x^5 + 312x^4 - 693x^3 - 251x^2 - 24x - 13. \end{aligned}$$

$\square$

**例题 2.19.**  $\alpha, \beta \in \mathbb{C}$  同上题, 试寻找多项式  $g \in \mathbb{Z}[x]$  使得  $g(\alpha\beta) = 0$ , 从而  $\alpha\beta$  也是代数数.

解. 记  $x := \alpha\beta$ , 则  $\alpha, \beta, x$  满足多项式方程组

$$\begin{cases} \alpha^3 - \alpha + 3 = 0 \\ \beta^4 - 3\beta + 1 = 0 \\ x - \alpha\beta = 0, \end{cases}$$

用结式消去  $\alpha, \beta$  即可得到  $x$  满足的多项式方程. 易知  $x = \alpha\beta$  的零化多项式  $g(x)$  可以取为

$$\begin{aligned} g(x) &= \operatorname{Res}_{\beta} \left( \operatorname{Res}_{\alpha} (\alpha^3 - 3\alpha + 3, x - \alpha\beta), \beta^4 - 3\beta + 1 \right) \\ &= -x^{12} - 27x^9 - 2x^8 - 234x^6 + 9x^5 \\ &\quad + 35x^4 - 729x^3 + 81x - 81. \end{aligned}$$

□

将上述方法推广到一般, 容易证明:

**定理 2.20.** 设  $\alpha, \beta \in \mathbb{A}$ , 则  $\alpha \pm \beta \in \mathbb{A}$ ,  $\alpha\beta \in \mathbb{A}$ , 并且当  $\beta \neq 0$  时还有  $\frac{\alpha}{\beta} \in \mathbb{A}$ .

[从而  $\mathbb{A}$  关于通常的加法与乘法运算构成域, 称为代数数域.]

证明. 用结式消元方法可以直接得到  $\alpha \pm \beta, \alpha\beta, \frac{\alpha}{\beta}$  的零化多项式, 请读者自行总结相应的算法. □

## 2.3 Paillier 加密算法

**Paillier** 加密算法是一个支持加法同态的公钥密码系统, 由 **Paillier** 在 1999 年的欧密会 (EUROCRYPT) 上首次提出. 该算法效率较高, 安全性证明完备, 从而具有广泛的实际应用. 本节介绍该算法及其数学原理.

对于正整数  $n$ , 记  $\mathbb{Z}_n := \mathbb{Z}/n\mathbb{Z}$ , 则  $\mathbb{Z}_n$  在通常的加法与乘法运算下构成交换环.  $\mathbb{Z}_n^*$  为  $\mathbb{Z}_n$  的乘法单位群. 众所周知, 群  $\mathbb{Z}_n^*$  的阶为  $\phi(n)$ , 其中  $\phi$  为欧拉  $\phi$ -函数. 为了更清晰地表述 **Paillier** 加密算法, 我们需要下列引理作为铺垫:

**引理 2.21.** 对于正整数  $n \geq 2$ , 记

$$\mathcal{S}_n := \{nk + 1 \pmod{n^2} \mid k \in \mathbb{Z}\} \subseteq \mathbb{Z}_{n^2}^*, \quad (2.66)$$

则  $\mathcal{S}_n$  是乘法群  $\mathbb{Z}_{n^2}^*$  的子群, 并且映射

$$L: \mathcal{S}_n \rightarrow \mathbb{Z}_n, \quad x \mapsto \frac{x-1}{n} \quad (2.67)$$

是乘法群  $\mathcal{S}_n$  与加法群  $\mathbb{Z}_n$  的同构.

**引理 2.22.** 对于正整数  $n \geq 2$ , 则映射

$$\begin{aligned} \mathbb{Z}_n^* &\rightarrow \mathbb{Z}_{n^2}^* \\ r &\mapsto r^n \end{aligned} \quad (2.68)$$

良定, 且为乘法群  $\mathbb{Z}_n^*$  与  $\mathbb{Z}_{n^2}^*$  的同态.

证明. 都容易验证, 留给读者练习. □

现在开始介绍 Paillier 加密算法. 取定两个不同的素数  $p, q$ , 记

$$n := pq, \quad (2.69)$$

$$\lambda := \text{l.c.m.}(p-1, q-1), \quad (2.70)$$

即  $\lambda$  是  $p-1$  与  $q-1$  的最小公倍数. 易知  $\lambda$  是乘法群  $\mathbb{Z}_n^* \cong \mathbb{Z}_p^* \times \mathbb{Z}_q^*$  中元素的最大阶数, 从而对任意  $r \in \mathbb{Z}_n^*$ , 都有  $r^\lambda \equiv 1 \pmod n$ . 进而容易验证

$$\forall c \in \mathbb{Z}_{n^2}^*, \quad c^\lambda \in \mathcal{S}_n, \quad (2.71)$$

其中乘法群  $\mathcal{S}_n$  的定义见(2.66).

**定义 2.23.** 沿用上文记号, 对于  $g \in \mathbb{Z}_{n^2}^*$ , 如果  $L(g^\lambda) \in \mathbb{Z}_n^*$ , 其中群同构  $L$  的定义见(2.67)式, 则称  $g$  为  $n$  的一个 **Paillier 生成元**, 此时记  $L(g^\lambda)$  的乘法逆元

$$\mu := L(g^\lambda)^{-1} \in \mathbb{Z}_n^*. \quad (2.72)$$

实际应用中, Paillier 生成元可以按下述方式选取:

**例题 2.24.**(快速密钥). 记号承上, 如果  $n$  与  $\phi(n) = (p-1)(q-1)$  互素, 则  $g := n+1$  是  $n$  的一个 Paillier 生成元.

证明. 这是因为, 若  $g \equiv n+1 \pmod{n^2}$ , 则二项式定理展开易得

$$g^\lambda \equiv (n+1)^\lambda \equiv 1 + n\lambda \pmod{n^2},$$

从而  $L(g^\lambda) \equiv \lambda \pmod n$ . 由初等数论易验证在题设条件下  $\lambda$  与  $n$  互素, 故  $L(g^\lambda) \in \mathbb{Z}_n^*$ , 从而  $g$  为  $n$  的一个 Paillier 生成元.  $\square$

Paillier 加密算法的基本资料如下:

给定  $n = pq$ , 取定 Paillier 生成元  $g \in \mathbb{Z}_{n^2}^*$ , 记

- 明文空间:  $\{0, 1, 2, \dots, n-1\} \subseteq \mathbb{Z}$ .
- 密文空间:  $\mathbb{Z}_{n^2}^*$ .
- 公钥:  $(n, g)$ .
- 私钥:  $(\lambda, \mu)$ .

其中  $\lambda, \mu$  的定义见(2.70),(2.72)式.

定义加密映射  $\mathcal{E}$  与解密映射  $\mathcal{D}$  如下:

$$\begin{aligned} \mathcal{E}: \mathbb{Z} \times \mathbb{Z}_n^* &\rightarrow \mathbb{Z}_{n^2}^* \\ (m, r) &\mapsto g^m \cdot r^n, \end{aligned} \quad (2.73)$$

$$\begin{aligned} \mathcal{D}: \mathbb{Z}_{n^2}^* &\rightarrow \mathbb{Z}_n \\ c &\mapsto \mu \cdot L(c^\lambda). \end{aligned} \quad (2.74)$$

映射  $\mathcal{E}$  与  $\mathcal{D}$  的良好性分别由引理2.22与(2.71)式所保证. 显然  $\mathcal{E}$  与  $\mathcal{D}$  都是群同态.

Paillier 算法加密, 解密的原理如下:

**性质 2.25.** 记号同上, 则有如下群同态交换图:

$$\begin{array}{ccc} \mathbb{Z} \times \mathbb{Z}_n^* & \xrightarrow{\mathcal{E}} & \mathbb{Z}_{n^2}^* \\ & \searrow \pi & \downarrow \mathcal{D} \\ & & \mathbb{Z}_n \end{array}, \quad (2.75)$$

其中投影映射  $\pi: (m, r) \mapsto m \bmod n$ .

证明. 对任意  $m \in \mathbb{Z}$  以及  $r \in \mathbb{Z}_n^*$ , 我们有

$$\begin{aligned}
 \mathcal{D}(\mathcal{E}(m, r)) &= \mathcal{D}(g^m \cdot r^n) = \mu \cdot L((g^m \cdot r^n)^\lambda) \\
 &= \mu \cdot L((g^\lambda)^m \cdot (r^\lambda)^n) \\
 &= \mu \cdot L((g^\lambda)^m) && (\text{注意 } r^\lambda \equiv 1 \pmod{n}) \\
 &= \mu \cdot mL(g^\lambda) && (\text{注意 } L \text{ 是群同态}) \\
 &= m \pmod{n}, && (\text{由 } \mu \text{ 的定义})
 \end{aligned}$$

从而得证. □

综上所述, 我们将 Paillier 加密算法总结如下:

**算法 2.26.** (Paillier 加密算法) 给定公钥  $(n, g)$  与私钥  $(\lambda, \mu)$ .

- **加密:** 对于明文  $m \in \{0, 1, 2, \dots, n-1\} \subseteq \mathbb{Z}$ , 随机选取  $r \in \mathbb{Z}_n^*$ , 得到密文  $c = \mathcal{E}(m, r)$ .
- **解密:** 对于密文  $c \in \mathbb{Z}_{n^2}^*$ , 则  $\mathcal{D}(c)$  为明文所在的模  $n$  剩余类.

**注记 2.27.** Paillier 加密算法的安全性:

1. 私钥  $(\lambda, \mu)$  的私密性依赖于大素因数分解的困难性.
2. 关于暴力破解: 若密文  $c$  所对应的明文为  $m$ , 则  $cg^{-m} \in \mathbb{Z}_{n^2}^*$  是  $n$  次剩余 (即为  $\mathbb{Z}_{n^2}^*$  中的某个元素的  $n$  次幂); 而对于合数  $n$ , 判断  $\mathbb{Z}_{n^2}^*$  中的元素是否为  $n$  次剩余是非常困难的, 目前为止没有多项式时间的算法可以攻破.

## 3. 初等概率论

### 3.1 重积分与几何概型

#### 3.1.1 线段长度的期望

考虑如下问题:

**习题 3.1.** 在边长为 1 的正方形内独立、随机取两个点  $A, B$ , 求线段  $AB$  长度的期望.

不妨该正方形区域为  $[0, 1]^2 = \{(x, y) \mid x, y \in [0, 1]\}$ , 记点  $A, B$  的坐标分别是  $(x_1, y_1), (x_2, y_2)$ , 则  $x_1, x_2, y_1, y_2$  是相互独立的随机变量, 且都服从  $[0, 1]$  上的均匀分布. 注意线段  $AB$  的长度  $L$  满足

$$L = \sqrt{(x_2 - x_1)^2 + (y_2 - y_1)^2},$$

从而直接计算得

$$\begin{aligned}\mathbb{E}[L] &= \int_{[0,1]^4} \sqrt{(x_2 - x_1)^2 + (y_2 - y_1)^2} \, dx_1 \, dx_2 \, dy_1 \, dy_2 \\&= 4 \int_{[0,1]^2} \sqrt{u^2 + v^2} \, du \, dv \int_0^{1-u} dx_1 \int_0^{1-v} dy_1 \\&\quad (\text{换元 } u := x_2 - x_1, v := y_2 - y_1, \text{ 并用对称性、调整积分次序}) \\&= 4 \int_0^1 (1-u) \, du \int_0^1 (1-v) \sqrt{u^2 + v^2} \, dv \\&= 4 \int_0^1 (1-u) \left( \frac{\sqrt{1+u^2}}{6} - \frac{u^2 \sqrt{1+u^2}}{3} + \frac{u^3}{3} + \frac{u^2}{2} \ln \frac{1 + \sqrt{1+u^2}}{u} \right) du \\&= \frac{2 + \sqrt{2}}{15} + \frac{\ln(1 + \sqrt{2})}{3} \approx 0.521045.\end{aligned}$$

上述计算的中间过程较复杂, 留给读者练习.



### 3.1.2 高维球的体积

杨昊同学提供了一道好玩的题目:

**习题 3.2.** 曲豆豆扔飞镖. 假设曲豆豆扔出的飞镖总是落在平面上某个边长为 2 的正方形区域  $S = [-1, 1]^2$  中, 飞镖落点在  $S$  中均匀分布, 且各次扔飞镖的落点相互独立. 考虑如下游戏: 首先记  $C_1$  为以正方形区域  $S$  的中心  $O$  为圆心, 半径为 1 的圆.

- 曲豆豆第 1 次扔飞镖, 记飞镖落点为  $P_1$ .
- 如果  $P_1$  在圆  $C_1$  外部, 则游戏结束; 否则过点  $P_1$  作线段  $OP_1$  的垂线  $\ell_1$ , 并以  $O$  为圆心, 以直线  $\ell_1$  截圆  $C_1$  的弦长的一半为半径作圆, 该圆记作  $C_2$ , 然后游戏继续, 曲豆豆准备第 2 次扔飞镖.
- 一般地, 当曲豆豆第  $n$  次扔飞镖时, 记飞镖落点为  $P_n$ .
- 如果  $P_n$  在圆  $C_n$  外部, 则游戏结束; 否则过点  $P_n$  作线段  $OP_n$  的垂线  $\ell_n$ , 并以  $O$  为圆心, 以直线  $\ell_n$  截圆  $C_n$  的弦长的一半为半径作圆, 该圆记作  $C_{n+1}$ , 然后游戏继续, 曲豆豆准备第  $(n+1)$  次扔飞镖.

当游戏结束时, 记  $N$  为曲豆豆扔飞镖的总次数, 求  $N$  的分布列与期望.

在正式计算求解之前, 先交代更多的记号. 记圆  $C_n$  的半径为  $R_n$ , 落点  $P_n$  的坐标为  $(x_n, y_n)$ , 其中  $x_n, y_n$  视为随机变量, 它们相互独立且服从  $[-1, 1]$  上的均匀分布. 容易验证  $\{R_n\}$  满足如下递推关系:

$$R_1 = 1, \quad R_{n+1} = \sqrt{R_n^2 - x_n^2 - y_n^2} \quad (n \geq 1). \quad (3.1)$$

这个  $R_n$  可以称为“容许半径”: 只有当第  $n$  个飞镖落在半径  $R_n$  范围内时, 游戏才能继续. 注意随着投掷次数  $n$  的增大,  $R_n$  在不断地变小, 从

而游戏越来越难以继续; 如果飞镖落点离中心点  $O$  越近, 则  $\{R_n\}$  减小得越慢; 曲豆豆为了能多玩几局这种飞镖, 应当每次都尽可能让飞镖落点接近中心点  $O$ .

解. 记号承上, 对于每个正整数  $n$ , 先计算  $\mathbb{P}(N \geq n)$ , 即曲豆豆至少扔了  $n$  次飞镖的概率. 注意曲豆豆一开始总是会扔 1 次, 从而  $\mathbb{P}(N \geq 1) = 1$ . 而当  $n \geq 2$  时, 由递推关系(3.1)易知,  $N \geq n$  当且仅当

$$x_1^2 + y_1^2 + x_2^2 + y_2^2 + \cdots + x_{n-1}^2 + y_{n-1}^2 < 1.$$

(即, 只有当前  $(n-1)$  次表现“都挺好”时, 曲豆豆才能有机会扔第  $n$  次). 于是

$$\begin{aligned} \mathbb{P}(N \geq n) &= \frac{\int_{x_1^2+y_1^2+\cdots+x_{n-1}^2+y_{n-1}^2<1} dx_1 dy_1 \cdots dx_{n-1} dy_{n-1}}{\int_{[-1,1]^{n-1}} dx_1 dy_1 \cdots dx_{n-1} dy_{n-1}} \\ &= \frac{1}{4^{n-1}} \int_{x_1^2+y_1^2+\cdots+x_{n-1}^2+y_{n-1}^2<1} dx_1 dy_1 \cdots dx_{n-1} dy_{n-1}. \end{aligned}$$

从而对于  $n \geq 1$ ,

$$\mathbb{P}(N \geq n+1) = \frac{1}{4^n} \int_{x_1^2+y_1^2+\cdots+x_n^2+y_n^2<1} dx_1 dy_1 \cdots dx_n dy_n = \frac{1}{4^n} \text{Vol}(\mathbb{B}^{2n}),$$

其中  $\mathbb{B}^{2n}$  是  $2n$  维欧氏空间  $\mathbb{R}^{2n}$  中的单位球,  $\text{Vol}(\mathbb{B}^{2n})$  为该球的体积. 虽然高维球体体积公式众所周知, 但高中生一般来说可能没有听说过. 不如在此重新推导一遍, 这里只需要考虑偶数维球体的情形.

$$\begin{aligned} \text{Vol}(\mathbb{B}^{2n}) &= \int_{x_1^2+y_1^2+\cdots+x_n^2+y_n^2<1} dx_1 dy_1 \cdots dx_n dy_n \\ &= \int_{x_n^2+y_n^2<1} dx_n dy_n \\ &\quad \times \int_{x_1^2+y_1^2+\cdots+x_{n-1}^2+y_{n-1}^2<1-x_n^2-y_n^2} dx_1 dy_1 \cdots dx_{n-1} dy_{n-1} \end{aligned}$$

$$\begin{aligned}
&= \int_{x_n^2 + y_n^2 < 1} (1 - x_n^2 - y_n^2)^{n-1} \text{Vol}(\mathbb{B}^{2n-2}) \, dx_n \, dy_n \\
&= \text{Vol}(\mathbb{B}^{2n-2}) \cdot \int_0^{2\pi} d\theta \int_0^1 r(1 - r^2)^{n-1} \, dr \\
&= \frac{\pi}{n} \text{Vol}(\mathbb{B}^{2n-2}).
\end{aligned}$$

再注意首项  $\text{Vol}(\mathbb{B}^2) = \pi$ , 从而易知

$$\text{Vol}(\mathbb{B}^{2n}) = \frac{\pi^n}{n!},$$

此乃  $2n$  维单位球体的体积公式. 因此曲豆豆至少扔  $n+1$  次飞镖的概率  $\mathbb{P}(N \geq n+1) = \frac{(\pi/4)^n}{n!}$ , 进而随机变量  $N$  的分布列如下: 对于  $n \geq 1$ ,

$$\mathbb{P}(N = n) = \mathbb{P}(N \geq n) - \mathbb{P}(N \geq n+1) = \frac{(\pi/4)^{n-1}}{(n-1)!} - \frac{(\pi/4)^n}{n!}.$$

通过上述分布列直接计算可知,  $N$  的期望

$$\begin{aligned}
\mathbb{E}[N] &= \sum_{n=1}^{\infty} n \mathbb{P}(N = n) = \sum_{n=1}^{\infty} \left( \frac{nx^{n-1}}{(n-1)!} - \frac{nx^n}{n!} \right) \Big|_{x=\frac{\pi}{4}} \\
&= \left( \frac{d}{dx}(xe^x) - xe^x \right) \Big|_{x=\frac{\pi}{4}} = e^{\frac{\pi}{4}}.
\end{aligned}$$

□

**注记 3.3.** 注意上题中的概率  $\mathbb{P}(N \geq n+1) = \frac{1}{4^n} \text{Vol}(\mathbb{B}^{2n})$  其实是  $2n$  维单位球的体积与该球的“外切立方体”的体积之比. 该比值为  $\frac{(\pi/4)^n}{n!}$ , 随  $n$  的增大而迅速趋于零.

接下来考虑此题的一个变种.

**变式 3.4.** 游戏规则与例题 3.2 完全相同, 但是曲豆豆经过一段时间练习, 镖法更精准, 飞镖的落点不再是在正方形区域  $S = [-1, 1]^2$  均匀分布了,

而是在正方形  $S$  的内切圆  $C_1$  内均匀分布. 记  $N$  为曲豆豆扔飞镖的总次数, 求  $N$  的分布列与期望.

注意此时的曲豆豆第一次扔飞镖时一定把飞镖扔进圆  $C_1$  内, 从而游戏一定会继续,  $\mathbb{P}(N \geq 2) = 1$ . 此外曲豆豆的飞镖落点比之前更倾向于接近圆心, 从而游戏持续轮数应该会比之前更多.

解. 记号与方法类似, 易知对任意  $n \geq 1$ ,

$$\mathbb{P}(N \geq n+1) = \frac{\text{Vol}(\mathbb{B}^{2n})}{\text{Vol}(\mathbb{B}^2)^n} = \frac{\pi^n/n!}{\pi^n} = \frac{1}{n!},$$

从而  $\mathbb{P}(N = n) = \frac{1}{(n-1)!} - \frac{1}{n!}$  ( $n \geq 1$ ), 且

$$\begin{aligned}\mathbb{E}[N] &= \sum_{n=1}^{\infty} n \mathbb{P}(N = n) = \sum_{n=1}^{\infty} n \left( \frac{1}{(n-1)!} - \frac{1}{n!} \right) \\ &= \sum_{n=0}^{\infty} \frac{n+1}{n!} - \sum_{n=1}^{\infty} \frac{n}{n!} = \sum_{n=0}^{\infty} \frac{1}{n!} = e.\end{aligned}$$

□

## 3.2 De Moivre-Laplace 定理与正态分布

将二项分布取某种极限可得到所谓正态分布, 这是一个十分重要的概率分布, 这里介绍其推导过程. 记  $X_1, X_2, X_3, \dots$  是一列独立同分布的随机变量, 且服从参数为  $p$  的两点分布:  $\mathbb{P}(X_k = 1) = p$ ,  $\mathbb{P}(X_k = 0) = q$ , 其中  $p \in (0, 1)$ ,  $q = 1 - p$ . 则众所周知, 对每个正整数  $n$ , 随机变量

$$S_n := X_1 + X_2 + \cdots + X_n$$

服从参数为  $n, p$  的二项分布, 即  $\mathbb{P}(S_n = k) = \binom{n}{k} p^k q^{n-k}$ . 而二项分布的期望与方差为

$$\mathbb{E}[S_n] = np, \quad \text{Var}(S_n) = npq.$$

适当将  $S_n$  作伸缩、平移变换, 引入随机变量

$$Z_n := \frac{S_n - np}{\sqrt{npq}}, \quad (3.2)$$

则  $Z_n$  的期望与方差分别为 0, 1. 事实上, 当  $n \rightarrow +\infty$  时, 上述随机变量  $Z_n$  将趋近于标准正态分布, 见如下定理:

**定理 3.5.** (De Moivre-Laplace). 记号承上, 则对任意实数  $\alpha < \beta$  都成立

$$\lim_{n \rightarrow \infty} \mathbb{P}(\alpha < Z_n \leq \beta) = \frac{1}{\sqrt{2\pi}} \int_{\alpha}^{\beta} e^{-\frac{x^2}{2}} dx, \quad (3.3)$$

从而随机变量  $\{Z_n\}$  依分布收敛于标准正态分布  $\Phi(x) = \frac{1}{\sqrt{2\pi}} e^{-\frac{x^2}{2}}$ .

证明. 直接计算得

$$\begin{aligned} \mathbb{P}(\alpha < Z_n \leq \beta) &= \mathbb{P}(\alpha\sqrt{npq} + np < S_n \leq \beta\sqrt{npq} + np) \\ &= \sum_{k \in I_{n;\alpha,\beta}} \mathbb{P}(S_n = k), \end{aligned} \quad (3.4)$$

其中

$$I_{n;\alpha,\beta} := (\alpha\sqrt{npq} + np, \beta\sqrt{npq} + np] \cap \mathbb{Z}.$$

对于每个  $k \in I_{n;\alpha,\beta}$ , 记  $x := \frac{k-np}{\sqrt{npq}}$ , 则  $x \in (\alpha, \beta]$ . 注意  $x$  不仅与  $k$  有关, 而且与  $n$  有关. 易知

$$\begin{aligned} k &= np + x\sqrt{npq}, \\ n - k &= nq - x\sqrt{npq}, \end{aligned} \quad (3.5)$$

从而当  $n \rightarrow +\infty$  时,  $k$  与  $(n - k)$  也趋于无穷 (关于  $x \in (\alpha, \beta]$  一致). 从而对  $n, k, (n - k)$  使用 **Stirling 公式**

$$n! = \sqrt{2\pi n} \left(\frac{n}{e}\right)^n (1 + o(1)), \quad n \rightarrow \infty$$

可知当  $n \rightarrow \infty$  时

$$\begin{aligned}\mathbb{P}(S_n = k) &= \frac{n!}{k!(n-k)!} p^k q^{n-k} \\ &= \left( \frac{n}{2\pi k(n-k)} \right)^{\frac{1}{2}} \left( \frac{np}{k} \right)^k \left( \frac{nq}{n-k} \right)^{n-k} (1 + o(1)).\end{aligned}\quad (3.6)$$

而由(3.5)式, 可知当  $n \rightarrow \infty$  时

$$\begin{aligned}\frac{n}{2\pi k(n-k)} &= \frac{n}{2\pi (np + x\sqrt{npq})(nq - x\sqrt{npq})} \\ &= \frac{1}{2\pi npq} (1 + o(1)).\end{aligned}\quad (3.7)$$

然后再注意到

$$\begin{aligned}& \ln \left[ \left( \frac{np}{k} \right)^k \left( \frac{nq}{n-k} \right)^{n-k} \right] \\ &= - \left( np + x\sqrt{pq} \cdot n^{\frac{1}{2}} \right) \ln \left( 1 + x\sqrt{\frac{q}{p}} \cdot n^{-\frac{1}{2}} \right) \\ &\quad - \left( nq - x\sqrt{pq} \cdot n^{\frac{1}{2}} \right) \ln \left( 1 - x\sqrt{\frac{p}{q}} \cdot n^{-\frac{1}{2}} \right) \\ &= - \left( np + x\sqrt{pq} \cdot n^{\frac{1}{2}} \right) \left( x\sqrt{\frac{q}{p}} \cdot n^{-\frac{1}{2}} - \frac{qx^2}{2p} \cdot \frac{1}{n} + o\left(\frac{1}{n}\right) \right) \\ &\quad - \left( nq - x\sqrt{pq} \cdot n^{\frac{1}{2}} \right) \left( -x\sqrt{\frac{p}{q}} \cdot n^{-\frac{1}{2}} - \frac{px^2}{2q} \cdot \frac{1}{n} + o\left(\frac{1}{n}\right) \right) \\ &= \left( -x\sqrt{pq} \cdot n^{\frac{1}{2}} - \frac{1}{2}qx^2 + o(1) \right) + \left( x\sqrt{pq} \cdot n^{\frac{1}{2}} - \frac{1}{2}px^2 + o(1) \right) \\ &= -\frac{1}{2}x^2 + o(1),\end{aligned}$$

从而当  $n \rightarrow \infty$  时,

$$\left( \frac{np}{k} \right)^k \left( \frac{nq}{n-k} \right)^{n-k} = e^{-\frac{1}{2}x^2} (1 + o(1)). \quad (3.8)$$

将(3.7)(3.8)式代入(3.6)可知当  $n \rightarrow \infty$  时

$$\mathbb{P}(S_n = k) = \frac{1}{\sqrt{2\pi npq}} e^{-\frac{1}{2}x^2} (1 + o(1))$$

关于  $x \in (\alpha, \beta]$  一致. 因此

$$\begin{aligned} \lim_{n \rightarrow \infty} \mathbb{P}(\alpha < Z_n \leq \beta) &= \lim_{n \rightarrow \infty} \sum_{k \in I_n; \alpha, \beta} \mathbb{P}(S_n = k) \\ &= \lim_{n \rightarrow \infty} \sum_{x \in (\alpha, \beta] \cap \frac{1}{\sqrt{npq}} \mathbb{Z}} \frac{1}{\sqrt{2\pi npq}} e^{-\frac{x^2}{2}} (1 + o(1)) = \frac{1}{\sqrt{2\pi}} \int_{\alpha}^{\beta} e^{-\frac{x^2}{2}} dx. \end{aligned}$$

□

### 3.3 两正整数互素的概率

考虑如下“问题”:

独立地随机取两个正整数, 取到的两个数互素的概率是多少?

然而, “随机取正整数” 的操作在概率论中不可能实现. 这是因为, 如果每个正整数  $k$  都能取到, 并且被取到的概率都相等, 都为  $r > 0$ , 则概率的可数可加性导致

$$1 = \sum_{k=1}^{\infty} \mathbb{P}(\text{取到 } k) = \sum_{k=1}^{\infty} r = +\infty,$$

矛盾. 不过, 此“问题”的下述“伪解”具有启发性:

伪解. 设所有素数从小到大依次是

$$p_1 < p_2 < p_3 < \cdots. \quad (3.9)$$

现在设  $a, b$  是随机选取的正整数. 如果  $a, b$  互素, 那么对任意  $k, p_k$  不是  $a, b$  的公因数. 由于  $a$  随机选取, 所以  $a$  模  $p_k$  的余数服从  $\{0, 1, 2, \dots, p_k - 1\}$  上的均匀分布, 特别地,  $a$  能被  $p_k$  整除的概率为  $\frac{1}{p_k}$ . 同样,  $b$  能被  $p_k$  整除的概率也是  $\frac{1}{p_k}$ . 再注意  $a, b$  相互独立, 因此

$$\mathbb{P}(p_k \text{ 不是 } a, b \text{ 的公因数}) = 1 - \frac{1}{p_k^2},$$

于是

$$\mathbb{P}(a, b \text{ 互素}) = \prod_{k=1}^{\infty} \left(1 - \frac{1}{p_k^2}\right).$$

最后, 再由众所周知的恒等式

$$\begin{aligned} \prod_{k=1}^{\infty} \left(1 - \frac{1}{p_k^2}\right) &= \left(\prod_{k=1}^{\infty} \left(1 + \frac{1}{p_k^2} + \frac{1}{p_k^4} + \cdots\right)\right)^{-1} \\ &= \left(\sum_{n=1}^{\infty} \frac{1}{n^2}\right)^{-1} = \frac{6}{\pi^2} \end{aligned} \quad (3.10)$$

可知  $a, b$  互素的概率是  $\frac{6}{\pi^2}$ . □

当然不会仅仅到此为止. 我们希望将此问题的表述以及解答过程严格化, 使之成为真正的数学. 关键在于修改“随机取正整数”的说法. 为此, 我们退而求其次, 先固定一个正整数  $n$ , 在集合

$$[n] := \{1, 2, 3, \dots, n\} \quad (3.11)$$

中随机取元素, 使得取到每个元素的概率都是  $\frac{1}{n}$ ; 则

$$\mathbb{P}_n := \frac{\#\{(a, b) \in [n]^2 \mid \gcd(a, b) = 1\}}{n^2}$$



是事件“在  $[n]$  中有放回地依次抽取两个数  $a, b$ , 使得  $a, b$  互素”的概率. 这里的  $\#X$  是指有限集合  $X$  的元素个数. 然后考虑  $\mathbb{P}_n$  在  $n \rightarrow +\infty$  时的极限, 将“随机取两正整数, 取到的两个数互素”的概率解释为  $\lim_{n \rightarrow +\infty} \mathbb{P}_n$ .

**定理 3.6.** 以下等式成立:

$$\lim_{n \rightarrow +\infty} \frac{\#\{(a, b) \in [n]^2 \mid \gcd(a, b) = 1\}}{n^2} = \frac{6}{\pi^2}. \quad (3.12)$$

证明. 沿用(3.9)式的记号. 对每个正整数  $k$ , 中国剩余定理

$$\mathbb{Z}/(p_1 p_2 \cdots p_k \mathbb{Z}) \cong (\mathbb{Z}/p_1 \mathbb{Z}) \times (\mathbb{Z}/p_2 \mathbb{Z}) \times \cdots \times (\mathbb{Z}/p_k \mathbb{Z})$$

表明, 从  $[p_1 p_2 \cdots p_k]$  中任取正整数  $a$ , 将  $a$  模  $p_i, p_j (i \neq j)$  的余数分别视为两个随机变量, 则这两个随机变量独立.

一方面, 任意取定正整数  $k, M_0 \in \mathbb{N}^*$ , 记  $n_k := p_1 p_2 \cdots p_k$ . 对任意  $n > M_0 n_k$ , 考虑带余除法

$$n = M n_k + r_k, \quad (3.13)$$

其中正整数  $M \geq M_0$ , 余数  $0 < r_k < n_k$ , 则

$$\begin{aligned} & \#\{(a, b) \in [n]^2 \mid \gcd(a, b) = 1\} \\ & \geq \#\{(a, b) \in [M n_k]^2 \mid \gcd(a, b) = 1\} \\ & \geq \#\{(a, b) \in [M n_k]^2 \mid \forall i = 1, \dots, k, p_i \nmid \gcd(a, b)\} \\ & \quad - \sum_{m \geq k+1} \#\{(a, b) \in [M n_k]^2 \mid p_m \mid a \text{ 且 } p_m \mid b\} \\ & = (M n_k)^2 \prod_{i=1}^k \left(1 - \frac{1}{p_i^2}\right) - \sum_{m \geq k+1} \left\lfloor \frac{M n_k}{p_m} \right\rfloor^2 \end{aligned}$$

$$\geq (Mn_k)^2 \left( \prod_{i=1}^k \left( 1 - \frac{1}{p_i^2} \right) - \sum_{m \geq k+1} \frac{1}{p_m^2} \right).$$

所以

$$\begin{aligned} \mathbb{P}_n &= \frac{\#\{(a, b) \in [n]^2 \mid \gcd(a, b) = 1\}}{n^2} \\ &\geq \left( \prod_{i=1}^k \left( 1 - \frac{1}{p_i^2} \right) - \sum_{m \geq k+1} \frac{1}{p_m^2} \right) \left( \frac{Mn_k}{n} \right)^2 \\ &\geq \left( \prod_{i=1}^k \left( 1 - \frac{1}{p_i^2} \right) - \sum_{m \geq k+1} \frac{1}{p_m^2} \right) \left( 1 - \frac{1}{M_0 + 1} \right)^2. \end{aligned}$$

令  $n \rightarrow +\infty$ , 可知对任意正整数  $k, M_0$  都成立

$$\liminf_{n \rightarrow +\infty} \mathbb{P}_n \geq \left( \prod_{i=1}^k \left( 1 - \frac{1}{p_i^2} \right) - \sum_{m \geq k+1} \frac{1}{p_m^2} \right) \left( 1 - \frac{1}{M_0 + 1} \right)^2,$$

再依次令  $M_0 \rightarrow +\infty, k \rightarrow +\infty$ , 可得

$$\liminf_{n \rightarrow +\infty} \mathbb{P}_n \geq \prod_{i=1}^{\infty} \left( 1 - \frac{1}{p_i^2} \right) = \frac{6}{\pi^2}.$$

另一方面, 当  $n > M_0 n_k$  时, 沿用(3.13)式, 有

$$\begin{aligned} &\#\{(a, b) \in [n]^2 \mid \gcd(a, b) = 1\} \\ &\leq \#\{(a, b) \in [n]^2 \mid \forall i = 1, \dots, k, p_i \nmid \gcd(a, b)\} \\ &\leq \#\{(a, b) \in [Mn_k]^2 \mid \forall i = 1, \dots, k, p_i \nmid \gcd(a, b)\} + (n^2 - (Mn_k)^2) \\ &\leq n^2 \prod_{i=1}^k \left( 1 - \frac{1}{p_i^2} \right) + \frac{2n^2}{M_0}, \end{aligned}$$

令  $n \rightarrow +\infty$ , 可知对任意正整数  $k, M_0$  都有

$$\limsup_{n \rightarrow +\infty} \mathbb{P}_n \leq \prod_{i=1}^k \left(1 - \frac{1}{p_i^2}\right) + \frac{2}{M_0},$$

再依次令  $M_0 \rightarrow +\infty, k \rightarrow +\infty$ , 可得

$$\limsup_{n \rightarrow +\infty} \mathbb{P}_n \leq \prod_{i=1}^{\infty} \left(1 - \frac{1}{p_i^2}\right) = \frac{6}{\pi^2}.$$

综上可得  $\lim_{n \rightarrow +\infty} \mathbb{P}_n = \frac{6}{\pi^2}$ , 得证. □

## 3.4 财务管理: Miller-Orr 模型

### 3.4.1 引言

笔者的一个女性朋友最近在备考注册会计师 CPA, 她在学的过程中遇到了一个看上去很复杂的所谓“现金返回线公式”, 这个公式在国内的会计应试辅导书里通常长这个妖冶邪异的样子:

$$R = \sqrt[3]{\frac{3b\delta^2}{4i}} + L. \quad (3.14)$$

按道理说, 财务会计那些东西也就是加减乘除, 但这公式里居然出现三次根号  $\sqrt[3]{\phantom{x}}$ , 这确实有些诡异, 其中必有魔法. 那位女性朋友被这个三次根号  $\sqrt[3]{\phantom{x}}$  吓到之后就找到笔者, 想听听笔者的见解.

笔者虽然是数学专业, 但额外技能点全都加到了物理 (以及卖萌) 上, 对财务、会计、金融那些东西一窍不通, 更是听不懂她满嘴的财务术语. 可是笔者对公式中的三次根号  $\sqrt[3]{\phantom{x}}$  突然产生了强烈的好奇, 并认为这或许是破除笔者对财务会计类专业“也就会加减乘除”的偏见的绝佳机会, 于是笔者决定查阅相关资料, 企图搞清楚这个公式.

首先, 百度查不出任何有营养的信息; 而通过查阅知乎, 笔者得知这是财务管理的“**Miller-Orr 模型**”. 但关于 Miller-Orr 模型的详细推导, 尤其是为什么会出现三次根号  $\sqrt[3]{}$ , 笔者在中文互联网上查不到任何有价值的免费公开资料 (或许是因为笔者的中文资料查阅能力、中文阅读理解能力有限). 于是笔者只好去墙外某著名学术平台反复查阅, 直到找到原始文献

Miller M H, Orr D. *A model of the demand for money by firms*  
[J]. The Quarterly journal of economics, 1966, 80(3): 413-435.

果然, 那妖冶邪异的公式还真就是从这篇文章里冒出来的.

以下是笔者在阅读原始文献的基础上对这个所谓“Miller-Orr 模型”所产生的一些个人理解 (在数学细节处理方面与原文略有出入). 但由于笔者完全不熟悉财务会计专业知识, 在有关专业术语的表达方面可能会显得十分幼稚且业余, 甚至会不小心夹杂粗鄙之语.

### 3.4.2 故事背景

公式并不是从天而降的, 它一定有故事背景. 事实上, 故事可以是这样的: 有一个“油泰”商人曲豆豆, 他开了一家投机倒把的金融公司. 这家油泰公司大概是这样运作的:

1. 公司的资产分为两部分: **证券与现金**. 前者可以粗俗地认为是银行存款或者别的什么投资, 可以“钱生钱、利滚利”; 而后者就是手里的现金.
2. 证券与现金这两类资产可以相互转换. 可以在任意时刻将任意数量的证券卖出换成现金, 或者在任意时刻用任意数量的现金来买证券; 无论是用现金买证券还是卖证券得现金, 每一次**交易**都是瞬间完成.

3. 证券类资产收益稳定, 单位时间的利率 (例如, 日利率) 始终为  $\nu$ .
4. 投机倒把的油泰商人曲豆豆当然更喜欢证券资产, 毕竟有利息可以赚. 逐利的曲豆豆认为吃利息是理所当然的, 而没有吃到利息就是亏了; 故持有现金越多, 曲豆豆感觉亏得就越多——这就是所谓**机会成本**. 假设公司有现金资产  $W$ , 如果这些现金都换成证券, 那单位时间就能收获  $\nu W$  的利息; 而曲豆豆实际上并没有吃到这想象中  $\nu W$  的利息. 换言之, 单位时间的机会成本为  $\nu W$ .
5. 证券与现金的转换过程中会产生**交易成本**: 每一次交易 (无论是买证券还是卖证券) 都要花费  $\gamma$  元的手续费. 注意这里的  $\gamma$  是常数, 与每次交易的数额无关.
6. 由于频繁投机倒把, 公司的现金总量  $W(t)$  每时每刻都随时间  $t$  变化: 若  $t$  时刻的现金数量为  $W(t)$ , 则经过一段微小的时间  $\Delta t$  之后, 现金数量有  $\frac{1}{2}$  的概率增加  $\Delta W$ , 有  $\frac{1}{2}$  的概率减少  $\Delta W$ , 其中  $\Delta W$  是与  $\Delta t$  有关的常数. 可见,  $t + \Delta t$  时刻的现金数量是服从两点分布的随机变量. 再假设该随机变量的**方差**与  $\Delta t$  成正比, 即

$$\text{Var}(W(t + \Delta t)) = \sigma^2 \Delta t,$$

其中  $\sigma > 0$  为常数, 表示现金单位时间变化的**标准差**. 容易验证上式等价于

$$\Delta W = \sqrt{\sigma^2 \Delta t}. \quad (3.15)$$

也就是说, 现金数量  $W(t)$  可以先近似为离散时间  $\Delta t$  的对称随机游走. 众所周知, 这个随机过程在  $\Delta t \rightarrow 0$  时会趋于**布朗运动** (也叫 **Wiener 过程**): 若  $t = 0$  时刻的现金数量为  $x$ , 则  $t$  时刻现金数量  $W(t)$  的概率密度函数为

$$f_{W(t)}(y) = \frac{1}{\sqrt{2\pi\sigma^2 t}} e^{-\frac{(y-x)^2}{2\sigma^2 t}}.$$

事实上, 布朗运动才是描述现金数量随机变化的真正数学模型; 而我们在接下来的数学处理中, 采取离散时间对称随机游走来逼近布朗运动.

作为这家油泰公司的高层, 曲豆豆需要管理公司的现金资产:

- 现金资产不能太多, 否则会增加**机会成本**.
- 现金资产绝对不能低于某个下限, 否则公司有倒闭的危险. 这里不妨假定**现金资产的下限**为 0, 换言之, 曲豆豆必须保证现金资产始终大于 0.
- 所以, 一个朴素的想法是, 当现金资产很多的时候, 曲豆豆就应该用适量的现金来购买证券; 而当现金资产为 0 时, 曲豆豆就要立刻卖掉一些证券.
- 但是买卖证券也不能太过频繁, 否则会增加**交易成本**.
- 总之, 曲豆豆需要综合考虑机会成本与交易成本, 设计一个最优的现金资产管理方案, 使单位时间内的现金管理总成本最小化.

### 3.4.3 数学模型建立

按某些商业习俗, 这家油泰公司采用如下的现金资产管理方案:

1. 取定实数

$$0 < r < h, \quad (3.16)$$

其中  $h$  被称为**现金资产的上限**, 而  $r$  被称为**现金返回线**.

2. 记该公司在  $t$  时刻的现金资产为  $W(t)$ ,

- (a) 如果  $0 < W(t) < h$ , 则曲豆豆不做任何买卖证券操作, 任由  $W(t)$  随机变化;
  - (b) 如果  $W(t) \geq h$ , 则曲豆豆立刻买入证券, 使得买入证券后的现金资产为  $r$ ;
  - (c) 如果  $W(t) \leq 0$ , 则曲豆豆立刻卖出证券, 使得卖出证券后的现金资产为  $r$ .
3. 在曲豆豆的上述买卖证券操作的干预下,  $t$  时刻的现金资产  $W(t)$  是随机变量, 其取值范围始终被限制在  $[0, h]$ . 随机变量族  $\{W(t)\}_{t \geq 0}$  构成一个随机过程, 它是布朗运动的某个变种.

我们考察在上述管理策略下的单位时间内的现金管理总成本.

**定义 3.7.** 对于上文中的随机过程  $W(t)$ , 引入如下:

1. 对于  $t > 0$ , 记随机变量  $N(t)$  为时间段  $[0, t]$  内的证券买卖总次数, 再记

$$\overline{N} := \lim_{t \rightarrow \infty} \frac{\mathbb{E}[N(t)]}{t} \quad (3.17)$$

为单位时间内证券交易的平均次数.

2. 记  $\overline{W}$  为现金资产的平均值, 即

$$\overline{W} := \lim_{t \rightarrow \infty} \mathbb{E}[W(t)]. \quad (3.18)$$

3. 于是, 单位时间内的现金管理总成本  $c$  为

$$c := \nu \overline{W} + \gamma \overline{N}, \quad (3.19)$$

其中  $\nu \overline{W}$  与  $\gamma \overline{N}$  分别是单位时间内的机会成本与交易成本;  $\nu, \gamma > 0$  为常数, 其含义见上一小节.

特别注意, 随机过程  $W(t)$  与  $r, h$  的选取有关, 进而单位时间内的现金管理总成本  $c = c(r, h)$  也是关于  $r, h$  的函数. 于是, 这家油泰公司高层面临的问题是:

**习题 3.8.** 适当选取现金资产的上限  $h$  以及现金返回线  $r$ , 使得单位时间内的现金管理总成本(3.19)最小.

至此, 我们已经完全把这个资产管理问题转化为数学问题. 接下来就该用数学方法来解决此问题了.



### 3.4.4 机会成本的计算

我们首先来给出机会成本  $\nu\overline{W}$  的具体表达式, 这就需要我们用  $h, r$  来表示  $\overline{W}$ . 数学上可以证明, 随着时间  $t \rightarrow \infty$ , 随机变量  $W(t)$  的概率密度函数  $f_{W(t)}(x)$  会收敛于某个固定的函数  $f_\infty(x)$ , 并且  $f_\infty$  初值  $W(0)$  无关. 该分布在随机过程中被称为**极限分布**. 此时, 有

$$\overline{W} = \int_0^h x f_\infty(x) dx. \quad (3.20)$$

下面我们来求  $f_\infty(x)$ . 按前文所说, 我们用足够小时间间隔的对称随机游走来逼近布朗运动. 取定足够大的正整数  $n$ , 将现金资产的范围区间  $[0, h]$  等分为  $n$  份:

$$0 < \frac{h}{n} < \frac{2h}{n} < \dots < \frac{(n-1)h}{n} < h, \quad (3.21)$$

并假设现金资产的数量  $W(t)$  的取值范围是  $\{\frac{kh}{n} \mid 0 \leq k \leq n, k \in \mathbb{Z}\}$ , 并且存在某个整数  $k_0 \in \{1, 2, \dots, n-1\}$ , 使得现金返回线  $r$  满足

$$r = \frac{k_0 h}{n}. \quad (3.22)$$

由前文(3.15), 我们设每经过一个单位时间

$$\Delta t = \frac{h^2}{n^2 \sigma^2}, \quad (3.23)$$

总资产  $W(t)$  增加或减少  $\Delta W = \frac{h}{n}$ . 对于正整数  $s$ , 设从  $t = 0$  时起经过  $s$  个单位时间  $s\Delta t$  后的现金资产数量为  $W_n(s)$ , 则有离散时间随机过程  $\{W_n(s)\}_{s=0}^\infty$ , 注意它这是**有限状态 Markov 链**. 我们只需先对每个固定的  $n$  计算出  $\{W_n(s)\}$  在  $s \rightarrow \infty$  时的极限分布, 然后再令  $n \rightarrow \infty$  即可得到  $f_\infty(x)$ . 对于整数  $k \in \{0, 1, 2, \dots, n\}$ , 记

$$p_{nk} := \lim_{s \rightarrow \infty} \mathbb{P} \left( W_n(s) = \frac{kh}{n} \right), \quad (3.24)$$

则易知数列  $\{p_{nk}\}_{k=0}^n$  满足如下递推关系:

$$p_{nk} = \frac{1}{2}(p_{n,k-1} + p_{n,k+1}), \quad k \notin \{0, k_0, n\}, \quad (3.25)$$

$$p_{n0} = p_{nn} = 0, \quad (3.26)$$

$$p_{nk_0} = \frac{1}{2}(p_{n,k_0-1} + p_{n,k_0+1} + p_{n1} + p_{n,n-1}), \quad (3.27)$$

以及归一化条件

$$\sum_{k=0}^n p_{nk} = 1. \quad (3.28)$$

上述这些条件足以将数列  $\{p_{nk}\}_{k=0}^n$  的通项公式强行求出来, 但这里其实没有这个必要.

观察(3.25), 不难发现  $\{p_{n0}, p_{n1}, \dots, p_{nk_0}\}$  与  $\{p_{nk_0}, p_{n,k_0+1}, \dots, p_{nn}\}$  都是等差数列. 于是我们相信 (也不难给出严格证明, 但这从略), 当  $n \rightarrow \infty$  时, 极限分布的概率密度函数  $f_\infty(x)$  在区间  $(0, r)$  与  $(r, h)$  上的限制都是一次函数; 再结合(3.26)(3.27), 我们也相信  $f_\infty(0) = f_\infty(h) = 0$ , 并且  $f_\infty(x)$  在  $x = r$  处连续. 再注意归一化条件

$$\int_0^h f_\infty(x) \mathrm{d}x = 1,$$

不难得到

$$f_\infty(x) = \begin{cases} \frac{2}{hr}x, & x \in [0, r], \\ -\frac{2}{h(h-r)}(x-h), & x \in [r, h]. \end{cases} \quad (3.29)$$

于是由(3.20), 公司现金资产的平均值  $\bar{W}$  为

$$\begin{aligned} \bar{W} &= \int_0^h x f_\infty(x) \mathrm{d}x \\ &= \int_0^r \frac{2}{hr} x^2 \mathrm{d}x + \int_r^h -\frac{2}{h(h-r)} x(x-h) \mathrm{d}x \end{aligned}$$

$$\begin{aligned}
&= \frac{2}{3hr}r^3 - \frac{2}{h(h-r)} \left( \frac{1}{3}(h^3 - r^3) - \frac{h}{2}(h^2 - r^2) \right) \\
&= \frac{h+r}{3},
\end{aligned}$$

因此单位时间内的**机会成本**

$$\nu \bar{W} = \frac{\nu}{3}(h+r). \quad (3.30)$$

### 3.4.5 交易成本的计算

下面我们来考察交易成本, 为此需要计算单位时间内证券交易的平均次数  $\bar{N}$ . 若记

$\bar{T} :=$  相邻两次证券交易的平均时间间隔,

则我们容易相信,  $\bar{N}$  与  $\bar{T}$  满足关系

$$\bar{N} = (\bar{T})^{-1}. \quad (3.31)$$

上式可以用随机过程的有关理论严格证明, 这里就从略了.

在计算  $\bar{T}$  之前, 我们回忆现金资产数量  $W(t)$  的变化过程: 不妨  $t = 0$  时刻的现金数量为  $r$ , 而  $W(t)$  随着时间  $t$  的流逝而随机地变化, 当  $W(t)$  的值变化到 0 或  $h$  时, 曲豆豆立刻通过买卖证券将现金数量重新调整为  $r$ , 然后开启下一个“交易周期”, 如此周而复始. 每一个这样的“交易周期”的平均用时就是  $\bar{T}$ .

我们考虑一个更一般的问题: 若初始时刻  $t = 0$  拥有现金资产  $x$ , 其中  $x \in (0, h)$ , 则有随机变量

$$T(x) := \text{现金资产数量到达 } 0 \text{ 或者 } h \text{ 所用的时间}. \quad (3.32)$$

在随机过程理论中, 随机变量  $T(x)$  是一种**停时** (stopping time). 我们当然不会在这里深究随机过程理论, 毕竟这涉及超出本笔记范围的高等概率论. 不过我们容易看出,

$$\bar{T} = \mathbb{E}[T(r)]. \quad (3.33)$$

为计算  $\bar{T}$ , 我们不如直接把函数  $x \mapsto \mathbb{E}[T(x)]$  的显式表达式给求出来.

为此, 我们还是用离散时间的对称随机游走来逼近. 依然沿用上一小节的设定(3.21)-(3.23). 对每个  $k \in \{0, 1, 2, \dots, n\}$ , 我们记

$$T_{nk} := \text{现金资产数量从 } \frac{kh}{n} \text{ 到 } 0 \text{ 或者 } h \text{ 所用时间}, \quad (3.34)$$

$$t_{nk} := \mathbb{E}[T_{nk}] \quad (3.35)$$

可见数列  $\{T_{nk}\}_{k=1}^n$  是函数  $T(x)$  的离散版本.

若初始时刻  $t = 0$  的现金资产总量为  $\frac{kh}{n}$ , 则经过一个单位时间  $\Delta t$  之后, 现金资产变为  $\frac{(k-1)h}{n}$  或者  $\frac{(k+1)h}{n}$ ; 然后再经过  $t_{n,k-1}$  或  $t_{n,k+1}$  的时间, 现金资产变为 0 或  $r$ . 由此我们相信, 数列  $\{t_{nk}\}_{k=0}^n$  满足递推关系

$$t_{nk} = \Delta t + \frac{1}{2}(t_{n,k-1} + t_{n,k+1}), \quad 1 \leq k \leq n-1, \quad (3.36)$$

其中单位时间  $\Delta t$  满足(3.23). 此外  $\{t_{nk}\}$  显然还要满足边值条件

$$t_{n0} = t_{nn} = 0. \quad (3.37)$$

由(3.36)(3.37)容易求得数列  $\{t_{nk}\}_{k=0}^n$  的通项

$$t_{nk} = \frac{1}{\sigma^2} \frac{kh}{n} \left( h - \frac{kh}{n} \right), \quad 0 \leq k \leq n.$$

令  $n \rightarrow \infty$ , 由上式容易看出

$$\mathbb{E}[T(x)] = \frac{1}{\sigma^2} x(h-x), \quad (3.38)$$

因此交易成本

$$\gamma \bar{N} = \gamma \bar{T}^{-1} = \frac{\gamma}{\mathbb{E}[T(r)]} = \frac{\sigma^2 \gamma}{r(h-r)}. \quad (3.39)$$

### 3.4.6 最优现金返回线公式的推导

综合机会成本(3.30)与交易成本(3.39), 我们得到:

**定理 3.9.** 给定现金资产的上限  $h$  与现金返回线  $r$ , 其中  $0 < r < h$ , 则单位时间内的现金管理总成本  $c$ , 见(3.19), 满足

$$c = \frac{\nu}{3}(h + r) + \frac{\sigma^2 \gamma}{r(h - r)}, \quad (3.40)$$

其中  $\sigma, \gamma, \nu > 0$  为常数, 它们分别为

$\sigma :=$  现金单位时间变化的标准差,

$\gamma :=$  每次证券交易所产生的交易成本,

$\nu :=$  证券资产在单位时间的利率.

至此, 我们终于能把习题3.8翻译为纯数学问题:

**习题 3.10.**(习题3.8的等价表述). 求二元函数

$$c(r, h) = \frac{\nu}{3}(h + r) + \frac{\sigma^2 \gamma}{r(h - r)}$$

在  $\{(r, h) \in \mathbb{R}^2 \mid 0 < r < h\}$  上的最小值, 并求出相应的最小值点. 其中  $\sigma, \gamma, \nu$  为大于零的常数.

解. 方便起见, 不如引入新的自变量

$$r' := h - r,$$

将总成本  $c$  视为关于  $r, r'$  的函数. 在此意义下

$$c = \frac{\nu}{3}(2r + r') + \frac{\sigma^2 \gamma}{rr'}, \quad r, r' > 0. \quad (3.41)$$

若  $(r, r')$  为函数  $c$  的最小值点, 则应该有

$$\begin{aligned}\frac{\partial c}{\partial r} &= \frac{2\nu}{3} - \frac{\sigma^2\gamma}{r^2r'} = 0, \\ \frac{\partial c}{\partial r'} &= \frac{\nu}{3} - \frac{\partial\sigma^2\gamma}{\partial r(r')^2} = 0,\end{aligned}$$

从而解得

$$r = \left( \frac{3\sigma^2\gamma}{4\nu} \right)^{\frac{1}{3}}, \quad (3.42)$$

$$r' = 2r. \quad (3.43)$$

容易验证上述  $(r, r')$  确实是  $c$  的最小值点, 并且相应的最小值为

$$c_{\min} = (6\nu^2\sigma^2\gamma)^{\frac{1}{3}}.$$

□

**注记 3.11.** (3.42) 正是出现在 CPA 应试教材中的那个那个妖冶邪异的公式(3.14). 唯一的区别在于, 我们这里假设现金资产的下限为 0, 而不是某个一般的正实数  $L$ . 如果规定公司的现金资产下限为  $L$ , 完全类似的方法可以得到返回线公式

$$r = \left( \frac{3\sigma^2\gamma}{4\nu} \right)^{\frac{1}{3}} + L,$$

此时(3.43)式的相应版本为

$$h - r = 2(r - L),$$

即

$$h = 3r - 2L, \quad (3.44)$$

这正是 CPA 应试教辅中所谓“现金资产上限与现金资产下限, 现金返回线之间的关系”。

**注记 3.12.** 我们也可以用均值不等式来计算  $c$  的最小值:

$$\begin{aligned}
 c &= \frac{\nu}{3}(2r + r') + \frac{\sigma^2\gamma}{rr'} \\
 &\geq \frac{2\sqrt{2}\nu}{3}\sqrt{rr'} + \frac{\sigma^2\gamma}{rr'} \\
 &= \frac{\sqrt{2}\nu}{3}\sqrt{rr'} + \frac{\sqrt{2}\nu}{3}\sqrt{rr'} + \frac{\sigma^2\gamma}{rr'} \\
 &\geq 3\sqrt[3]{\left(\frac{\sqrt{2}\nu}{3}\sqrt{rr'}\right)^2 \cdot \frac{\sigma^2\gamma}{rr'}} \\
 &= (6\nu^2\sigma^2\gamma)^{\frac{1}{3}},
 \end{aligned}$$

检查均值不等式的取等条件也可得(3.42)(3.43).

至此, 笔者自以为理解了这个现金资产管理的所谓 Miller-Orr 模型.

## 4. 代数与几何

本章用于记录笔者学习数学物理中的代数与几何的心得点滴.

### 4.1 紧黎曼面的 Riemann-Hurwitz 公式

设  $f: X \rightarrow Y$  是黎曼曲面之间的 (非常值) 全纯映射, 我们知道, 对于点  $x \in X$ , 存在唯一的非负整数  $k$ , 使得映射  $f$  在合适的局部坐标  $z: U_x \rightarrow \mathbb{C}$  以及  $w \in V_{f(x)} \subseteq \mathbb{C}$  下可以表示为

$$w = f(z) = z^k,$$

其中  $U_x \subseteq X$ ,  $V_{f(x)} \subseteq Y$  分别是点  $x, f(x)$  的开邻域, 并且  $z(x) = w(f(x)) = 0$ . 满足上述性质的  $k = k_x$  称为全纯映射  $f$  在点  $x$  处的分歧指数 (ramification index), 此外我们还引入

$$\nu_x := k_x - 1, \quad (4.1)$$

并称之为全纯映射  $f$  在点  $x$  处的微分长度 (differential length).

此外, 我们还有如下定义:

- 如果  $k_x \geq 2$ , 则称  $x$  是映射  $f$  的分歧点 (ramification point), 否则称  $f$  在  $x$  处是非分歧的 (unramified).
- 记  $R_f := \{x \in X \mid k_x \geq 2\}$ , 称为  $f$  的分歧割迹 (ramification locus).
- $Y$  的子集  $B_f := f(R_f) \subseteq Y$  称为  $f$  的分支割迹 (branch locus), 其中的点称为  $f$  的分支点 (branch point).

由复变函数知识, 易知分歧割迹  $R_f$  是  $X$  的离散子集. 从而, 当  $X$  是紧黎曼面时,  $R_f$  是有限集, 进而分支割迹  $B_f$  也是有限集.

现在考虑紧黎曼面的情形, 不妨  $X, Y$  都是紧的. 此时有

**引理 4.1.** 设  $f: X \rightarrow Y$  是 (连通的) 紧黎曼面之间的 (非常值) 全纯映射, 则  $f$  是满射, 并且对任意  $y \in Y \setminus B_f$ , 原像集  $f^{-1}(y)$  的元素个数是不依赖  $y$  的常数.

我们将这个常数记为  $\deg f$ , 即

$$\deg f = \#f^{-1}(y), \quad \forall y \in Y \setminus B_f, \quad (4.2)$$

并将其称为  $f$  的次数 (degree).



证明. 由复变函数理论易知像集  $f(X)$  是  $Y$  的开子集. 另一方面, 由于  $X$  紧,  $f$  连续, 从而像集  $f(X)$  是  $Y$  的紧子集, 从而是  $Y$  的闭子集. 可见  $f(X)$  在  $Y$  中既开又闭, 从而由  $Y$  的连通性可得  $f(X) = Y$ .

对每个正整数  $n$ , 记

$$V_n := \{y \in Y \setminus B_f \mid \#f^{-1}(y) = n\},$$

则显然  $Y \setminus B_f = \bigsqcup_{n \geq 1} V_n$ . 如果  $V_n$  非空, 则取定  $y \in V_n$ , 并记  $f^{-1}(y) = \{x_1, \dots, x_n\}$ , 则适当取  $x_1, \dots, x_n$  以及  $y$  的足够小的邻域, 并由  $B_f$  的定义, 易知存在  $y$  的某个开邻域  $U_y$  使得  $U_y \subseteq V_n$ . 这表明  $V_n$  是  $Y \setminus B_f$  的开子集. 由于  $B_f$  是有限集, 从而  $Y \setminus B_f$  仍然是连通集; 但  $B_f$  又形如一族开子集  $\{V_n\}_{n \geq 1}$  的无交并, 因此这族开集当中有且仅有一个是非空的, 并且这个非空的  $V_n$  恰为  $Y \setminus B_f$ . 引理得证.  $\square$

众所周知, 黎曼曲面是可定向曲面, 从而 (连通) 紧黎曼曲面的拓扑被其亏格 (genus) 所完全确定. 对于 (连通) 紧黎曼面  $X, Y$  之间的 (非常值) 全纯映射  $f$ , 下述公式将曲面亏格  $g_X, g_Y$ , 映射  $f$  的次数以及相应分歧点的分歧指数联系起来, 这便是著名的 **Riemann-Hurwitz 公式**.

**定理 4.2.** (Riemann-Hurwitz 公式). 设  $f: X \rightarrow Y$  是 (连通) 紧黎曼面之间的 (非常值) 全纯映射, 则

$$2g_X - 2 = \deg f \cdot (2g_Y - 2) + \sum_{x \in X} \nu_x, \quad (4.3)$$

其中  $\deg f$  是  $f$  的次数(4.2),  $\nu_x$  是  $f$  在  $x$  处的微分长度(4.1).

众所周知, 亏格  $g$  的定向闭曲面  $X$  的欧拉示性数  $\chi(X)$  满足

$$\chi(X) = 2 - 2g,$$

从而上述 Riemann-Hurwitz 公式可以改写为

$$\chi(X) = \deg f \cdot \chi(Y) - \sum_{x \in X} \nu_x. \quad (4.4)$$

证明. 考虑闭曲面  $Y$  的某个特定的胞腔分解  $\Gamma_Y = (F_Y, E_Y, V_Y)$  使得

$$V_Y = B_f,$$

其中  $F_Y, E_Y, V_Y$  分别是其面集, 边集, 顶点集. 则  $Y$  的欧拉示性数

$$\chi(Y) = |F_Y| - |E_Y| + |V_Y|.$$

注意到  $\Gamma_Y$  的原像  $\Gamma_X = f^{-1}(\Gamma_Y)$  给出了  $X$  的一个胞腔分解, 并且其顶点集  $V_X = f^{-1}(V_Y) \supseteq R_f$ . 此外由于  $\Gamma_Y$  的边, 面的内部不含有分支点, 从而

$$|F_X| = \deg f \cdot |F_Y|, \quad |E_X| = \deg f \cdot |E_Y|.$$

由复变函数知识, 容易验证对任意  $y \in Y$ ,

$$\deg f = \sum_{x \in f^{-1}(y)} k_x = |f^{-1}(y)| + \sum_{x \in f^{-1}(y)} \nu_x,$$

因此

$$\begin{aligned} |V_X| &= |f^{-1}(B_f)| = \sum_{y \in B_f} |f^{-1}(y)| \\ &= \deg f \cdot |V_Y| - \sum_{x \in f^{-1}(B_f)} \nu_x = \deg f \cdot |V_Y| - \sum_{x \in X} \nu_x. \end{aligned}$$

综上所述, 容易得到(4.4), 定理得证. □

上述定理有一些简单但有用的推论:

推论 4.3. 记号承上, 则有

- $\sum_{x \in X} \nu_x$  是偶数.
- $g_X \geq g_Y$ . 换言之, 不存在从低亏格黎曼面到高亏格黎曼面的 (非平凡) 全纯映射.
- 如果映射  $f$  非分歧, 即  $R_f = \emptyset$ , 则

$$g_X = dg_Y - d + 1, \quad \text{其中 } d = \deg f.$$

## 4.2 B-C-H 公式及其应用

设李代数  $\mathfrak{g} = \mathfrak{gl}(n, \mathbb{C})$ , 若  $X, Y, Z \in \mathfrak{g}$  满足  $e^X e^Y = e^Z$ , 则有众所周知的 **Baker-Campbell-Hausdorff** 公式:

$$Z = X + Y + \frac{1}{2}[X, Y] + \frac{1}{12}[X, [X, Y]] - \frac{1}{12}[Y, [X, Y]] + \cdots, \quad (4.5)$$

其中省略号代表的项的表达式非常复杂, 感兴趣者可查阅 **Dynkin** 公式, 而我们只需知道它形如  $X, Y$  反复作李括号. 事实上, 下述引理比公式(4.5)更加基本:

**引理 4.4.** 对于李代数  $\mathfrak{g} = \mathfrak{gl}(n, \mathbb{C})$ , 以及  $\mathfrak{g}$  上的可微曲线  $\gamma: (-\delta, \delta) \rightarrow \mathfrak{g}$ ,  $t \mapsto \gamma(t)$ , 其中  $\delta > 0$ , 则有如下求导公式:

$$\frac{d}{dt} e^{\gamma(t)} = e^{\gamma(t)} \left( \frac{1 - e^{-\text{ad}_{\gamma(t)}}}{\text{ad}_{\gamma(t)}} \right) (\gamma'(t)) \quad (4.6)$$

$$= \left[ \left( \frac{e^{\text{ad}_{\gamma(t)}} - 1}{\text{ad}_{\gamma(t)}} \right) (\gamma'(t)) \right] e^{\gamma(t)}, \quad (4.7)$$

其中  $\text{ad}: \mathfrak{g} \rightarrow \mathfrak{gl}(\mathfrak{g})$ ,  $X \mapsto \text{ad}_X$  是李代数  $\mathfrak{g}$  的伴随表示.

此引理的证明详见各种李群李代数教材, 例如 [GTM235], 这里不再重复. 不过我们还是简要回忆一下如何用此引理来推导(4.5)式: 设  $\mathfrak{g}$  中的曲线  $Z(t)$  满足

$$e^{Z(t)} = e^{tX} e^{tY}, \quad t \in [0, 1],$$

则  $Z(0) = 0$ , 并且我们只需要计算  $Z(1)$ ; 为此, 将上式两边对  $t$  求导, 得到  $Z'(t)$  的表达式, 最后由  $Z(1) = Z(0) + \int_0^1 Z'(t) dt$  经过一番计算即可得到(4.5), 甚至能给出省略号部分的完整表达式.

我们来看引理4.4在可积方程簇理论中的应用. 考虑形式变元  $u$  的如下微分多项式环

$$\mathcal{A} := C^\infty(u)[u_x, u_{xx}, \dots, u^{(k)}, \dots],$$

即  $\mathcal{A}$  中的元素光滑地依赖  $u$ , 且多项式地依赖 jet 变元  $u_x, u_{xx}, \dots$ . 定义  $\mathcal{A}$  上的分次  $\deg$  如下: 对任意  $\varphi \in C^\infty(0)$ ,  $\deg \varphi(u) := 0$ ; 对于  $k \geq 1$ , 规定  $\deg u^{(k)} = k$ . 则在此分次下, 有微分分次代数  $(\mathcal{A}, \partial_x)$ , 其中微分算子  $\partial_x$  按通常方式自然定义:  $\partial_x \varphi(u) = \varphi'(u)u_x$ ,  $\partial_x u^{(k)} = u^{(k+1)}$ . 记  $\mathcal{A}$  关于分次  $\deg$  的直和分解为

$$\mathcal{A} = \bigoplus_{k=0}^{\infty} \mathcal{A}_k,$$

其中  $\mathcal{A}_k$  是  $\mathcal{A}$  中  $k$  次齐次元之全体, 注意  $\partial_x(\mathcal{A}_k) \subseteq \mathcal{A}_{k+1}$ , 换言之微分算子  $\partial_x$  的次数是 1. 考虑  $\mathcal{A}$  的完备化

$$\hat{\mathcal{A}} := \varinjlim_{k \rightarrow \infty} \left( \bigoplus_{i=1}^k \mathcal{A}_i \right) \cong \prod_{k \geq 0} \mathcal{A}_k. \quad (4.8)$$

我们习惯将  $\hat{\mathcal{A}}$  中的元素  $f = (f_0, f_1, \dots, f_k, \dots)$  ( $f_k \in \mathcal{A}_k$ ) 记作

$$f = \sum_{k=0}^{\infty} \varepsilon^k f_k,$$

这里的形式参数  $\varepsilon$  视为无穷小量, 用于标记各项的次数. 在此约定下, 微分算子  $\partial_x$  被重新记为  $\varepsilon \partial_x$ . 另外,  $\hat{\mathcal{A}}$  自然视为  $\mathcal{A}[[\varepsilon]]$  的子环.

注意  $\hat{\mathcal{A}}$  中元素通过乘法作用自然视为  $\hat{\mathcal{A}}$  上的线性算子, 即有

$$\begin{aligned} \hat{\mathcal{A}} &\hookrightarrow \mathfrak{gl}(\hat{\mathcal{A}}) \\ f &\mapsto (g \mapsto fg). \end{aligned}$$

此外, 微分算子  $\varepsilon \partial_x$  本身就是  $\hat{\mathcal{A}}$  上的线性算子. 考虑由这两类线性算子 (的线性组合) 构成的李代数

$$\mathfrak{g} := \hat{\mathcal{A}} \oplus \mathbb{C} \varepsilon \partial_x \subseteq \mathfrak{gl}(\hat{\mathcal{A}}), \quad (4.9)$$

这是无穷维李代数.

**例题 4.5.** 记号承上, 对于  $f, g \in \hat{\mathcal{A}}$ , 则在  $\mathfrak{g}$  中有交换关系

$$\begin{aligned} [f, g] &= 0 \\ [\varepsilon \partial_x, f] &= \varepsilon \partial_x \circ f - f \circ \varepsilon \partial_x = \varepsilon \partial_x(f). \end{aligned}$$

从而  $\hat{\mathcal{A}}$  是  $\mathfrak{g}$  的阿贝尔子代数, 且是  $\mathfrak{g}$  的理想.

一般来说, 对于无穷维线性空间上的线性算子  $X$ , 其指数映射  $\exp X$  未必良定; 但对于(4.9)中的李代数  $\mathfrak{g}$ , 指数映射

$$\begin{aligned}\exp: \mathfrak{g} &\rightarrow \mathrm{GL}(\hat{\mathcal{A}}) \\ X &\mapsto e^X\end{aligned}$$

是良定的, 容易验证  $e^X := \sum_{k \geq 0} \frac{X^k}{k!}$  在  $\varepsilon$ -进制拓扑下收敛. 特别地, 对于微分算子  $\varepsilon \partial_x \in \mathfrak{g}$ , 记其指数映射

$$\Lambda := e^{\varepsilon \partial_x}, \quad (4.10)$$

这是离散可积方程簇中常见的差分算子.

在学习分数阶 **Volterra** 方程簇 (Fractional Volterra Hierarchy, FVH) 时, 笔者遇到了这样的一个等式:

**性质 4.6.** 记号承上, 则在  $\mathfrak{g}$  中成立

$$\log(e^u \Lambda) = \varepsilon \partial_x + \frac{\varepsilon \partial_x}{\Lambda - 1}(u), \quad (4.11)$$

即  $\exp(\varepsilon \partial_x + \frac{\varepsilon \partial_x}{\Lambda - 1}(u)) = e^u \Lambda$ . 注意这里  $\frac{\varepsilon \partial_x}{\Lambda - 1}(u) \in \hat{\mathcal{A}} \subseteq \mathfrak{g}$ .

提出此公式的某人说, 这个式子“容易”从 B-C-H 公式(4.5)推出来, 但笔者认为没那么简单.

证明. 对于  $t \in [0, 1]$ , 记  $\mathfrak{g}$  上的光滑曲线  $Z(t) := \log(e^{tu} \Lambda)$ , 即

$$e^{Z(t)} = e^{tu} \Lambda, \quad (4.12)$$

则首先有  $Z(0) = \log \Lambda := \varepsilon \partial_x$ . 我们只需要计算  $Z(1)$ . 利用(4.7)(假装这些公式对合适的无穷维李代数也成立) 对上式两边求导, 有

$$\left[ \frac{e^{\mathrm{ad}_{Z(t)}} - 1}{\mathrm{ad}_{Z(t)}}(Z'(t)) \right] e^{Z(t)} = u e^{tu} \Lambda = u e^{Z(t)},$$

从而立刻得到

$$Z'(t) = \frac{\text{ad}_{Z(t)}}{\text{e}^{\text{ad}_{Z(t)}} - I}(u). \quad (4.13)$$

另一方面, 注意对任意  $f \in \hat{\mathcal{A}} \subseteq \mathfrak{g}$  都有

$$\begin{aligned} \text{e}^{\text{ad}_{Z(t)}}(f) &= \text{e}^{Z(t)} \circ f \circ \text{e}^{-Z(t)} = \text{e}^{tu} \Lambda \circ f \circ \Lambda^{-1} \text{e}^{-tu} \\ &= \Lambda(f) := \text{e}^{\varepsilon \partial_x}(f) \in \hat{\mathcal{A}} \subseteq \mathfrak{g}, \end{aligned}$$

从而有

$$\begin{aligned} \text{ad}_{Z(t)}(f) &= \log(1 + (\text{e}^{\text{ad}_{Z(t)}} - 1))(f) = \sum_{k \geq 1} (-1)^{k+1} \frac{(\text{e}^{\text{ad}_{Z(t)}} - 1)^k}{k}(f) \\ &= \sum_{k \geq 1} (-1)^{k+1} \frac{(\text{e}^{\varepsilon \partial_x} - 1)^k}{k}(f) = \varepsilon \partial_x(f). \end{aligned}$$

特别地, 在上式中取  $f = u, u_x, \dots, u^{(k)}, \dots$ , 并结合(4.13)式可得

$$\begin{aligned} Z(1) &= Z(0) + \int_0^1 Z'(t) dt = \varepsilon \partial_x + \int_0^1 \frac{\text{ad}_{Z(t)}}{\text{e}^{\text{ad}_{Z(t)}} - 1}(u) dt \\ &= \varepsilon \partial_x + \int_0^1 \frac{\varepsilon \partial_x}{\text{e}^{\varepsilon \partial_x} - 1}(u) dt = \varepsilon \partial_x + \frac{\varepsilon \partial_x}{\Lambda - 1}(u), \end{aligned}$$

从而得证. □

### 4.3 Nijenhuis-Richardson 括号

给定  $\mathbb{C}$ -线性空间  $V$ , 我们企图研究  $V$  上李代数结构  $\mu \in \text{Hom}(\wedge^2 V, V)$  的形变. 按熟悉的写法, 对于  $x, y \in V$ ,  $\mu(x, y)$  常被记为  $[x, y]$ . 某个代数构造对研究李代数结构的形变有重要意义, 我们来介绍之.

给定线性空间  $V$  以及整数  $n \geq -1$ , 记

$$\text{Alt}_V^n := \text{Hom}(\wedge^{n+1} V, V), \quad (4.14)$$

即  $V$  上的  $V$ -值反对称  $n+1$  重线性映射之全体. 注意  $\text{Alt}_V^{-1} = V, \text{Alt}_V^0 = \text{End}(V)$ . 此外,  $V$  上的李代数结构之全体构成  $\text{Alt}_V^1$  的子集. 事实上,  $\text{Alt}_V^\bullet := \bigoplus_{n \geq -1} \text{Alt}_V^n$  有如下分次李代数结构:

**定理 4.7.** 记号承上, 则存在唯一的双线性映射

$$[, ]: \text{Alt}_V^\bullet \times \text{Alt}_V^\bullet \rightarrow \text{Alt}_V^\bullet, \quad (4.15)$$

使得对任意  $m, n \geq -1, \alpha \in \text{Alt}_V^m, \beta \in \text{Alt}_V^n$  都成立

1. 齐次性:  $[\alpha, \beta] \in \text{Alt}_V^{m+n}$ , 其中特别规定  $\text{Alt}_V^{-2} = \{0\}$ .
2. 分次反交换律:  $[\alpha, \beta] = -(-1)^{mn}[\beta, \alpha]$ .
3. 缩并律: 对任意  $f_0, f_1, \dots, f_m \in V$ , 成立

$$[\alpha, f_0](f_1, \dots, f_m) = \alpha(f_0, f_1, \dots, f_m). \quad (4.16)$$

4. 分次 *Jacobi* 恒等式 (特殊情形): 对任意  $f \in V$ ,

$$[[\alpha, \beta], f] = [\alpha, [\beta, f]] + (-1)^n [[\alpha, f], \beta]. \quad (4.17)$$

满足上述 4 条公理的括号(4.15)称为 **Nijenhuis–Richardson** 括号. 事实上, Nijenhuis–Richardson 括号的唯一性可以被(4.16)–(4.17)所保证. 首先, 由齐次性可知, 当  $\alpha, \beta \in \text{Alt}_V^{-1} = V$  时,  $[\alpha, \beta] = 0$ . 一般地, 对于整数  $N \geq -1$ , 假设

$$[, ]: \text{Alt}_V^m \times \text{Alt}_V^n \rightarrow V$$

在  $m + n \leq N - 1$  时已经被唯一确定, 则当  $m + n = N$  时, 对任意



$f_0, f_1, \dots, f_{m+n} \in V$ , 由(4.16)–(4.17)可知

$$\begin{aligned} [\alpha, \beta](f_0, f_1, \dots, f_{m+n}) &= [[\alpha, \beta], f_0](f_1, \dots, f_{m+n}) \\ &= \left( [\alpha, [\beta, f_0]] + (-1)^n [[\alpha, f_0], \beta] \right) (f_1, \dots, f_{m+n}), \end{aligned}$$

由归纳假设,  $[\alpha, [\beta, f_0]]$  与  $[[\alpha, f_0], \beta]$  已被唯一确定. 从而唯一性得证.

Nijenhuis–Richardson 括号(4.15)存在性留到本节最后再证. 在此之前, 我们先看一些具体例子与推论.

**例题 4.8.** 若  $\alpha \in \text{Alt}_V^0 = \text{End}(V)$ ,  $f \in \text{Alt}_V^{-1} = V$ , 则有

$$[\alpha, f] = \alpha(f),$$

即线性算子在向量上通常的作用.

**例题 4.9.** 若  $\alpha, \beta \in \text{Alt}^0(V) = \text{End}(V)$ , 则对任意  $f \in V$  都有

$$\begin{aligned} [\alpha, \beta](f) &= [[\alpha, \beta], f] = [\alpha, [\beta, f]] + [[\alpha, f], \beta] \\ &= [\alpha, \beta(f)] - [\beta, \alpha(f)] = \alpha(\beta(f)) - \beta(\alpha(f)), \end{aligned}$$

由此可见  $[\alpha, \beta] = \alpha \circ \beta - \beta \circ \alpha$  恰为通常的交换子.

**例题 4.10.** 若  $\alpha \in \text{Alt}_V^0 = \text{End}(V)$ ,  $\beta \in \text{Alt}^n(V)$ , 则对任意  $f_0, \dots, f_n \in V$ , 由 Nijenhuis–Richardson 括号的相关公理可以推出

$$\begin{aligned} [\alpha, \beta](f_0, f_1, \dots, f_n) &= [[\alpha, \beta], f_0](f_1, \dots, f_n) \\ &= [\alpha, [\beta, f_0]](f_1, \dots, f_n) + (-1)^n [[\alpha, f_0], \beta](f_1, \dots, f_n) \\ &= [\alpha, [\beta, f_0]](f_1, \dots, f_n) - \beta(\alpha(f_0), f_1, \dots, f_n), \end{aligned}$$

由此对  $n$  归纳, 容易验证:

$$\begin{aligned} &[\alpha, \beta](f_0, \dots, f_n) \\ &= \alpha(\beta(f_0, \dots, f_n)) - \sum_{i=0}^n \beta(f_0, \dots, \alpha(f_i), \dots, f_n). \end{aligned} \tag{4.18}$$

由此可见, 若把  $V$  想象成某个流形上的光滑函数空间, 把  $\alpha \in \text{End}(V)$  想象成该流形上的一个切向量场, 把  $\beta$  想象成张量场, 则  $[\alpha, \beta]$  恰为  $\beta$  沿向量场  $\alpha$  的“李导数”.

**例题 4.11.** 对于  $\alpha \in \text{Alt}_V^1$ , 则对任意  $f, g, h \in V$ , 由 Nijenhuis-Richardson 括号的相关公理以及(4.18)可得

$$\begin{aligned} [\alpha, \alpha](f, g, h) &= [[\alpha, \alpha], f](g, h) = -2[[\alpha, f], \alpha](g, h) \\ &= -2\left([\alpha, f](\alpha(g, h)) - \alpha([\alpha, f](g), h) - \alpha(g, [\alpha, f](h))\right) \\ &= 2\left(\alpha(\alpha(f, g), h) + \alpha(\alpha(g, h), f) + \alpha(\alpha(h, f), g)\right). \end{aligned}$$

由此立刻得到: 如果线性空间  $V$  的基域的特征不为 2, 则  $\alpha \in \text{Alt}_V^1 = \text{Hom}(\wedge^2 V, V)$  是  $V$  上的李代数结构, 当且仅当

$$[\alpha, \alpha] = 0.$$

正因如此, Nijenhuis-Richardson 括号成为了研究李代数结构及其形变的重要工具.

**推论 4.12.** 对于  $\alpha \in \text{Alt}_V^m$ , 则  $\alpha = 0$  当且仅当

$$[\alpha, f] = 0, \quad \forall f \in \text{Alt}_V^{-1} = V,$$

其中  $[\cdot, \cdot]$  是定理 4.7 中的 Nijenhuis-Richardson 括号.

证明. 这是缩并律 (定理 4.7 中的第 3 条公理) 的显然推论. □

**推论 4.13.** 设  $[,]$ (4.15) 满足定理 4.7 中的 4 条公理, 则对任意  $\alpha \in \text{Alt}_V^m$ ,  $\beta \in \text{Alt}_V^n$  以及  $\gamma \in \text{Alt}_V^p$ , 成立如下的分次 **Jacobi** 恒等式:

$$[[\alpha, \beta], \gamma] = [\alpha, [\beta, \gamma]] + (-1)^{np}[[\alpha, \gamma], \beta], \quad (4.19)$$

从而  $(\text{Alt}_V^\bullet, [,])$  构成分次李代数.

注意(4.19)还可以改写为如下两种常见形式:

$$[\alpha, [\beta, \gamma]] = [[\alpha, \beta], \gamma] + (-1)^{mn}[\beta, [\alpha, \gamma]], \quad (4.20)$$

$$(-1)^{mp}[[\alpha, \beta], \gamma] + (-1)^{nm}[[\beta, \gamma], \alpha] + (-1)^{pn}[[\gamma, \alpha], \beta] = 0. \quad (4.21)$$

证明. 对  $m + n + p$  归纳. 当  $m = n = p = -1$  时, 结论平凡. 对于整数  $N \geq -2$ , 假设当  $m + n + p \leq N - 1$  时结论总成立, 则  $m + n + p = N$  时, 对任意  $f \in V = \text{Alt}_V^{-1}$ , 由归纳假设以及(4.17)可得

$$\begin{aligned} [[[\alpha, \beta], \gamma], f] &= [[\alpha, \beta], [\gamma, f]] + (-1)^p[[\alpha, \beta], f], \gamma] \\ &= [[\alpha, \beta], [\gamma, f]] + (-1)^p[[\alpha, [\beta, f]], \gamma] + (-1)^{n+p}[[\alpha, f], \beta], \gamma] \\ &= \left( [\alpha, [\beta, [\gamma, f]]] + (-1)^{(p-1)n}[\alpha, [\gamma, f]], \beta] \right) \\ &\quad + \left( (-1)^p[\alpha, [[\beta, f], \gamma]] + (-1)^{np}[\alpha, \gamma], [\beta, f] \right) \\ &\quad + \left( (-1)^{n+p}[[\alpha, f], [\beta, \gamma]] + (-1)^{n+p+np}[[\alpha, f], \gamma], \beta] \right) \\ &= [[\alpha, [\beta, \gamma]], f] + (-1)^{np}[[\alpha, \gamma], \beta], f], \end{aligned}$$

于是由推论 4.13 立刻得到(4.19), 得证.  $\square$

下面来具体构造满足定理 4.7 中 4 条公理的 Nijenhuis–Richardson 括号, 从而最终完成该定理的证明. 对于  $\alpha \in \text{Alt}_V^m$ ,  $\beta \in \text{Alt}_V^n$ , 定义  $V$  上

的  $(m+n+1)$  重线性映射

$$\alpha \overline{\wedge} \beta \in \mathbf{Hom}(V^{\otimes(m+n+1)}, V)$$

如下: 对任意  $f_0, f_1, \dots, f_{m+n} \in V$ ,

$$\begin{aligned} & (\alpha \overline{\wedge} \beta)(f_0, f_1, \dots, f_{m+n}) \\ &:= \sum_{\sigma \in \mathbf{Sh}_{n+1, m}} \text{sgn}(\sigma) \cdot \alpha \left( \beta(f_{\sigma(0)}, \dots, f_{\sigma(n)}), f_{\sigma(n+1)}, \dots, f_{\sigma(n+m)} \right), \end{aligned}$$

其中

$$\mathbf{Sh}_{n+1, m} := \left\{ \sigma \in S_{\{0, 1, \dots, n+m\}} \mid \begin{array}{l} \sigma(0) < \dots < \sigma(n), \\ \sigma(n+1) < \dots < \sigma(n+m) \end{array} \right\}. \quad (4.22)$$

然后我们令

$$[\alpha, \beta] := \alpha \overline{\wedge} \beta - (-1)^{mn} \beta \overline{\wedge} \alpha, \quad (4.23)$$

则直接计算容易验证上述定义的  $[\alpha, \beta] \in \mathbf{Alt}_V^{m+n}$ , 并且满足定理4.7中的4条公理. 因此(4.23)就是我们所希望的 Nijenhuis–Richardson 括号.

## 4.4 李代数的形变, 李代数上同调

给定  $\mathbb{K}$ -线性空间  $L$ , 以及李代数结构  $\mu \in \mathbf{Hom}(\wedge^2 L, L)$ , 其中域  $\mathbb{K} = \mathbb{R}$  或  $\mathbb{C}$ . 我们回忆,  $\mu$  满足 Jacobi 恒等式当且仅当

$$[\mu, \mu] = 0,$$

这里的  $[\cdot, \cdot]$  是  $\mathbf{Alt}_L^\bullet$  上的 Nijenhuis–Richardson 括号.

**定义 4.14.** 记号承上, 给定李代数  $(L, \mu)$ , 以及  $\varphi \in \text{Alt}_L^1$ .

1. 如果  $\mu + \varphi$  也是  $L$  上的李代数结构, 则称  $\varphi$  是李代数  $(L, \mu)$  的一个形变.
2. 如果  $\varphi$  是李代数  $(L, \mu)$  的一个形变, 并且有李代数同构  $(L, \mu) \cong (L, \mu + \varphi)$ , 则称形变  $\varphi$  是平凡的.
3. 如果  $\varphi_1, \varphi_2$  都是李代数  $(L, \mu)$  的形变, 并且有李代数同构  $(L, \mu + \varphi_1) \cong (L, \mu + \varphi_2)$ , 则称形变  $\varphi_1$  与  $\varphi_2$  等价.

注意到  $\varphi$  是  $(L, \mu)$  的形变当且仅当  $[\mu + \varphi, \mu + \varphi] = 0$ , 而这等价于

$$D_\mu \varphi + \frac{1}{2}[\varphi, \varphi] = 0, \quad (4.24)$$

称为形变  $\varphi$  的 **Maurer–Cartan** 方程, 其中

$$\begin{aligned} D_\mu: \text{Alt}_L^m &\rightarrow \text{Alt}_L^{m+1}, \\ \alpha &\mapsto [\mu, \alpha]. \end{aligned} \quad (4.25)$$

**注记 4.15.** 若  $\mu \in \text{Alt}_L^1$  满足  $[\mu, \mu] = 0$ , 则由 Nijenhuis–Richardson 括号的运算性质易知  $[\mu, [\mu, \alpha]] = 0$  对任意  $\alpha \in \text{Alt}_L^\bullet$  都成立, 换言之,  $D_\mu^2 = 0$ , 从而我们有上链复形

$$0 \longrightarrow \text{Alt}_L^{-1} \xrightarrow{D_\mu} \text{Alt}_L^0 \xrightarrow{D_\mu} \text{Alt}_L^1 \xrightarrow{D_\mu} \cdots, \quad (4.26)$$

以及相应的上同调  $H^m(\text{Alt}_L^\bullet; D_\mu)$ ,  $m \geq -1$ .

直接用(4.23), 或者反复用定理4.7中的 4 条公理, 可以给出算子  $D_\mu$  (4.25)的显式表达式. 对于  $\alpha \in \text{Alt}_L^m$ , 以及  $f_0, \dots, f_{m+1} \in L$ , 我们有

$$(D_\mu \alpha)(f_0, \dots, f_{m+1})$$

$$\begin{aligned}
&= \sum_{\sigma \in \text{Sh}_{m+1,1}} \text{sgn}(\sigma) \cdot \mu(\alpha(f_{\sigma(0)}, \dots, f_{\sigma(m)}), f_{\sigma(m+1)}) \\
&\quad - (-1)^m \sum_{\sigma \in \text{Sh}_{2,m}} \text{sgn}(\sigma) \cdot \alpha(\mu(f_{\sigma(0)}, f_{\sigma(1)}), f_{\sigma(2)}, \dots, f_{\sigma(m+1)}) \\
&= (-1)^m \left( \sum_{i=0}^{m+1} (-1)^i \mu(f_i, \alpha(f_0, \dots, \widehat{f_i}, \dots, f_{m+1})) \right. \\
&\quad \left. + \sum_{0 \leq i < j \leq m+1} (-1)^{i+j} \alpha(\mu(f_i, f_j), f_0, \dots, \widehat{f_i}, \dots, \widehat{f_j}, \dots, f_{m+1}) \right).
\end{aligned}$$

若把  $\alpha$  想象成光滑流形上的微分形式, 则  $D_\mu$  扮演的角色很像外微分. 一般地, 对于李代数  $(L, \mu)$  及其表示  $\rho: L \rightarrow \mathfrak{gl}(V)$ , 令

$$C^m(L, V) := \text{Hom}(\wedge^m L, V),$$

并且定义算子  $d_V: C^m(L, V) \rightarrow C^{m+1}(L, V)$  如下: 对任意  $\alpha \in C^m(L, V)$ , 以及  $f_0, \dots, f_m \in L$ ,

$$\begin{aligned}
&(d_V \alpha)(f_0, \dots, f_m) \\
&:= \sum_{i=0}^m (-1)^i \rho(f_i) \cdot \alpha(f_0, \dots, \widehat{f_i}, \dots, f_m) \\
&\quad + \sum_{0 \leq i < j \leq m} (-1)^{i+j} \alpha(\mu(f_i, f_j), f_0, \dots, \widehat{f_i}, \dots, \widehat{f_j}, \dots, f_m),
\end{aligned}$$

则容易验证  $d_V^2 = 0$ , 从而有上链复形  $(C^\bullet(L, V), d_V)$ . 相应的上同调群  $H^\bullet(L, V)$  便是通常意义下的李代数上同调.

特别地, 当  $V = L$  为李代数的伴随表示时, 易知

$$\text{Alt}_L^m = C^{m+1}(L, L),$$

并且相应的微分算子在相差符号意义下相同:  $D_\mu = (-1)^m d_L$ . 因此

$$H^m(\text{Alt}^\bullet; D_\mu) \cong H^{m+1}(L, L), \quad (4.27)$$

这便是 Nijenhuis–Richardson 括号所定义的上同调与通常的李代数上同调之间的关系.

**例题 4.16.** 由定义易知

$$\begin{aligned} Z^0(\text{Alt}_L^\bullet; D_\mu) &:= \{\alpha \in \text{Alt}_L^0 \mid D_\mu \alpha = 0\} \\ &= \{\alpha \in \text{End}(L) \mid \forall f, g \in L, \alpha(\mu(f, g)) = \mu(\alpha f, g) + \mu(f, \alpha g)\}, \end{aligned}$$

即李代数  $(L, \mu)$  上的导子之全体. 然后易知  $Z^0(\text{Alt}_L^\bullet; D_\mu)$  中的元素是  $(L, \mu)$  的内导子, 即形如  $\mu(f, \cdot)$ ,  $f \in L$  的导子. 从而第 0 个上同调群  $H^0(\text{Alt}_L^\bullet; D_\mu)$  刻画了“不是内导子的导子有多少”.

而我们将看到, 第 1 个与第 2 个上同调群给出了与李代数形变有关的信息. 考察李代数  $(L, \mu)$  的单参数形变

$$\mu_\varepsilon = \mu + \mu_1 \varepsilon + \mu_2 \varepsilon^2 + \cdots, \quad (4.28)$$

其中  $\mu_1, \mu_2, \cdots \in \text{Alt}_L^1$ , 上式视为关于小参数  $\varepsilon$  的形式幂级数. 则

$$[\mu_\varepsilon, \mu_\varepsilon] = [\mu, \mu] + 2[\mu, \mu_1] \varepsilon + O(\varepsilon^2).$$

从而若  $\mu_\varepsilon$  是李代数结构, 则 1 阶形变项  $\mu_1$  满足方程

$$D_\mu \mu_1 = 0,$$

即 Maurer–Cartan 方程(4.24)的线性部分. 换言之  $\mu_1 \in Z^1(\text{Alt}_L^\bullet; D_\mu)$  是闭链. 一般地,  $Z^1(\text{Alt}_L^\bullet; D_\mu)$  中的元素称为李代数  $\mu$  的无穷小形变.

而有一类李代数形变是平凡的: 任意给定  $T \in \text{GL}(V)$ , 则

$$T\mu: (f, g) \mapsto T(\mu(T^{-1}f, T^{-1}g)) \quad (4.29)$$

显然也是李代数结构, 并且有显然的李代数同构  $(L, \mu) \cong (L, T\mu)$ . 而若  $T$  是由无穷小变换生成的, 即  $T = e^{\xi}$ ,  $\xi \in \mathfrak{gl}(V)$  时, 就会有所谓李代数

结构  $\mu$  的“平凡无穷小形变”. 直接计算得

$$\begin{aligned}
& e^{\varepsilon\xi} (\mu(e^{-\varepsilon\xi}f, e^{-\varepsilon\xi}g)) \\
&= (1 + \varepsilon\xi) (\mu((1 - \varepsilon\xi)f, (1 - \varepsilon\xi)g)) + O(\varepsilon^2) \\
&= \mu(f, g) + \left( \xi(\mu(f, g)) - \mu(\xi f, g) - \mu(f, \xi g) \right) \varepsilon + O(\varepsilon^2) \\
&= (\mu + \varepsilon[\xi, \mu])(f, g) + O(\varepsilon^2),
\end{aligned}$$

从而 1 阶形变项  $\mu_1 = [\xi, \mu] \in B^1(\text{Alt}_L^\bullet; D_\mu)$ . 正因如此, 边缘  $B^1(\text{Alt}_L^\bullet; D_\mu)$  中的元素称为  $\mu$  的平凡无穷小形变. 进而, 第 1 个上同调群

$$H^1(\text{Alt}_L^\bullet; D_\mu) := \frac{Z^1(\text{Alt}_L^\bullet; D_\mu)}{B^1(\text{Alt}_L^\bullet; D_\mu)}$$

刻画了  $\mu$  的“非平凡无穷小形变”. 如果  $H^1(\text{Alt}_L^\bullet; D_\mu) = 0$ , 则表明  $\mu$  的所有无穷小形变都是平凡的无穷小形变, 此时称  $\mu$  是无穷小刚的.

接下来自然要问: 给定李代数  $(L, \mu)$  的无穷小形变  $\mu_1$ , 是否真的存在一族单参数形变  $\mu_\varepsilon$  (4.28) 使得  $\mu_1$  是其 1 阶形变项? 为回答此问题, 我们将方程  $[\mu_\varepsilon, \mu_\varepsilon] = 0$  按  $\varepsilon$  展开, 比较  $\varepsilon$  的 0, 1 次项系数, 分别得

$$[\mu, \mu] = 0, \quad D\mu_1 = 0,$$

其中  $D := D_\mu$ . 这两个方程我们已经熟悉. 比较  $\varepsilon$  的更高次项系数, 有

$$\begin{aligned}
D\mu_2 + \frac{1}{2}[\mu_1, \mu_1] &= 0, \\
D\mu_3 + \frac{1}{2}([\mu_1, \mu_2] + [\mu_2, \mu_1]) &= 0, \\
&\dots\dots \\
D\mu_k + \frac{1}{2} \sum_{\ell=1}^{k-1} [\mu_\ell, \mu_{k-\ell}] &= 0.
\end{aligned} \tag{4.30}$$



由此可以递归地求解出高阶形变项  $\mu_2, \mu_3, \dots$ , 对吗?

注意到, 对于  $k \geq 2$ ,

$$\begin{aligned} D \left( \sum_{\ell=1}^{k-1} [\mu_\ell, \mu_{k-\ell}] \right) &= \sum_{\ell=1}^{k-1} ([D\mu_\ell, \mu_{k-\ell}] + [\mu_\ell, D\mu_{k-\ell}]) \\ &= \sum_{\ell=1}^{k-1} [D\mu_\ell, \mu_{k-\ell}] - \sum_{\ell=1}^{k-1} [D\mu_{k-\ell}, \mu_\ell] = 0, \end{aligned}$$

即(4.30)等号左边第 2 项总是生活在  $Z^2(\text{Alt}_L^\bullet; D_\mu)$  之中. 然而, 关于  $\mu_k$  的方程(4.30)有解, 意味着

$$\sum_{\ell=1}^{k-1} [\mu_\ell, \mu_{k-\ell}] \in B^2(\text{Alt}^\bullet; D_\mu).$$

由此可见:

**性质 4.17.** 记号承上, 如果上同调群  $H^2(\text{Alt}_L^\bullet; D_L) = 0$ , 则李代数  $(L, \mu)$  的任何无穷小形变都是某个单参数形变的 1 阶形变项.

注意我们这里的单参数形变都是形式幂级数意义下的, 不考虑收敛性. 顺便, 我们还能给出第 2 个上同调群  $H^2(\text{Alt}_L^\bullet; D_L)$  的意义: 其刻画了从无穷小形变到“真正形变”的障碍.

## 4.5 Schouten-Nijenhuis 括号与超泊松括号

设  $M$  为  $n$  维光滑流形,  $\text{PV}^p(M) := \Gamma(M, \wedge^p TM)$  为  $M$  上的  $p$ -向量场之全体 ( $p \geq 0$ ), 记

$$\text{PV}^\bullet(M) := \bigoplus_{p \geq 0} \text{PV}^p(M),$$

其中元素统称为  $M$  上的**多重向量场**. 在局部坐标  $(u^1, u^2, \dots, u^n)$  下,  $\mathbf{PV}^p(M)$  中的元素都形如

$$P = P^{i_1 i_2 \dots i_p} \frac{\partial}{\partial u^{i_1}} \wedge \frac{\partial}{\partial u^{i_2}} \wedge \dots \wedge \frac{\partial}{\partial u^{i_p}}. \quad (4.31)$$

在  $\mathbf{PV}^\bullet(M)$  上有众所周知的 **Schouten-Nijenhuis** 括号

$$[, ]: \mathbf{PV}^\bullet(M) \times \mathbf{PV}^\bullet(M) \rightarrow \mathbf{PV}^\bullet(M), \quad (4.32)$$

它是  $\mathbb{R}$ -双线性映射, 可如下直接定义: 对任意  $X_1, X_2, \dots, X_p; Y_1, Y_2, \dots, Y_q \in \mathbf{Vect}(M) \cong \mathbf{PV}^1(M)$ , 以及  $f, g \in C^\infty(M) \cong \mathbf{PV}^0(M)$ ,

$$\begin{aligned} & [X_1 \wedge X_2 \wedge \dots \wedge X_p, Y_1 \wedge Y_2 \wedge \dots \wedge Y_q] \\ &:= \sum_{i=1}^p \sum_{j=1}^q (-1)^{i+j} [X_i, Y_j] \wedge (X_1 \wedge \dots \wedge \widehat{X}_i \wedge \dots \wedge X_p) \\ & \quad \wedge (Y_1 \wedge \dots \wedge \widehat{Y}_j \wedge \dots \wedge Y_q), \end{aligned} \quad (4.33)$$

$$\begin{aligned} & [X_1 \wedge X_2 \wedge \dots \wedge X_p, g] \\ &:= \sum_{i=1}^p (-1)^{p-i} X_i(g) (X_1 \wedge \dots \wedge \widehat{X}_i \wedge \dots \wedge X_p), \end{aligned} \quad (4.34)$$

$$\begin{aligned} & [f, Y_1 \wedge Y_2 \wedge \dots \wedge Y_q] \\ &:= \sum_{j=1}^q (-1)^j Y_j(f) (Y_1 \wedge \dots \wedge \widehat{Y}_j \wedge \dots \wedge Y_q), \end{aligned} \quad (4.35)$$

$$[f, g] := 0. \quad (4.36)$$

特别地, 对于通常的切向量场  $X, Y \in \mathbf{Vect}(M) \cong \mathbf{PV}^1(M)$ , 它们的 Schouten-Nijenhuis 括号  $[X, Y]$  恰为通常的李括号.

可以证明由(4.33)-(4.36)所给出的  $[, ]$  良好定义, 并且满足如下运算律: 对任意  $P \in \mathbf{PV}^p(M), Q \in \mathbf{PV}^q(M), R \in \mathbf{PV}^r(M)$  都有

1.  $[P, Q] \in \mathbf{PV}^{p+q-1}(M)$ , 其中特别规定  $\mathbf{PV}^{-1}(M) := \{0\}$ ;

2. 超反对称性

$$[P, Q] = -(-1)^{(p-1)(q-1)}[Q, P]; \quad (4.37)$$

3. 超 Leibniz 法则

$$[P, Q \wedge R] = [P, Q] \wedge R + (-1)^{(p-1)q} Q \wedge [P, R]; \quad (4.38)$$

4. 超 Jacobi 恒等式

$$[P, [Q, R]] = [[P, Q], R] + (-1)^{(p-1)(q-1)}[Q, [P, R]]. \quad (4.39)$$

**注记 4.18.** 超 Leibniz 法则也可对偶地写成

$$[Q \wedge R, P] = Q \wedge [R, P] + (-1)^{r(p-1)}[[Q, P], R]; \quad (4.40)$$

超 Jacobi 恒等式也可改写为如下轮换对称形式

$$\begin{aligned} 0 &= (-1)^{(p-1)(r-1)}[P, [Q, R]] \\ &\quad + (-1)^{(q-1)(p-1)}[Q, [R, P]] \\ &\quad + (-1)^{(r-1)(q-1)}[R, [P, Q]]. \end{aligned}$$

**注记 4.19.** 相比显式表达式(4.33)-(4.36), 我们更关心 Schouten-Nijenhuis 括号的运算律. 事实上, 可以证明  $[\cdot, \cdot]$  被初始条件

$$[f, g] := 0, \quad [X, f] := X(f), \quad [X, Y] := \mathcal{L}_X Y$$

( $\forall f, g \in C^\infty(M), X, Y \in \mathbf{Vect}(M)$ ) 以及运算律(4.37),(4.38)所唯一确定. 特别注意, 如果超反对称性与超 Leibniz 法则成立, 那么超 Jacobi 恒等式自动成立, 这可通过对  $p + q + r$  使用数学归纳法来直接验证.

在哈密顿系统的研究中常需要通过具体计算 Schouten-Nijenhuis 括号来验证哈密顿结构; 而显式表达式(4.33)-(4.36)过于繁琐, 尤其在无穷维流形的推广情形之下更难以用于具体计算. 而本节的目的正是寻求 Schouten-Nijenhuis 括号的简便算法.

为此先引入如下偷懒记号: 将  $p$ -向量场(4.31)简记为

$$P \mapsto \hat{P} := P^{i_1 i_2 \cdots i_p} \theta_{i_1} \theta_{i_2} \cdots \theta_{i_p}, \quad (4.41)$$

换言之, 我们按照以下规则来改写: 用符号  $\theta_i$  来代替  $\frac{\partial}{\partial u^i}$ , 然后将“ $\wedge$ ”省略. 这样的  $\theta_i$  被物理学家们称为 **Grassmann 变量**或者**超变量**, 它们之间的乘法是反交换的:

$$\theta_i \theta_j = -\theta_j \theta_i, \quad (4.42)$$

如此便自然进入了**超流形**的世界:

**定义 4.20.** 对于  $n$  维光滑流形, 记余切丛  $T^*M$  的超化

$$\widehat{M} := \Pi(T^*M). \quad (4.43)$$

具体地,  $M$  的局部坐标卡  $U$  诱导  $\widehat{M}$  的局部坐标卡

$$\widehat{U} \cong U \times \mathbb{R}^{0|n};$$

$M$  的局部坐标  $(u^1, u^2, \dots, u^n)$  自然给出  $\widehat{M}$  的局部坐标  $(u^i; \theta_i)$ , 这里的超变量  $\theta_i$  表示  $du^i$  的分量.

容易验证, 在另一组局部坐标  $\{\tilde{u}^i\}$  下, 相应的超变量  $\tilde{\theta}_i$  与旧坐标  $\theta_i$  之间的转换关系为

$$\tilde{\theta}_i = \frac{\partial u^j}{\partial \tilde{u}^i} \theta_j, \quad (4.44)$$

这恰与切向量场  $\frac{\partial}{\partial u^i}$  的转换关系相同.

**定义 4.21.** 对于  $n$  维光滑流形  $M$ , 定义非交换环  $C^\infty(\widehat{M})$  如下: 在  $M$  的局部平凡坐标卡  $U$  下,

$$C^\infty(\widehat{M})|_U := C^\infty(U)[\theta_1, \theta_2, \dots, \theta_n], \quad (4.45)$$

即关于超变量  $\theta_i$  的  $C^\infty(U)$ -多项式环, 其中超变量  $\theta_i$  满足(4.42).

我们更习惯把  $C^\infty(\widehat{M})$  重新记为  $\widehat{\mathcal{A}}^\bullet(M)$ , 即

$$\widehat{\mathcal{A}}^\bullet(M) := C^\infty(\widehat{M}). \quad (4.46)$$

注意  $\widehat{\mathcal{A}}^\bullet(M)$  中的元素按所含超变量的次数有自然的分次

$$\widehat{\mathcal{A}}^\bullet(M) = \bigoplus_{p \geq 0} \widehat{\mathcal{A}}^p(M),$$

俗称**超分次**. “偷懒写法”(4.41)其实给出了分次代数  $(\mathrm{PV}^\bullet(M), \wedge)$  与  $(\widehat{\mathcal{A}}^\bullet(M), \cdot)$  之间的同构

$$\begin{aligned} \iota: \mathrm{PV}^\bullet(M) &\rightarrow \widehat{\mathcal{A}}^\bullet(M) \\ P &\mapsto \widehat{P}. \end{aligned} \quad (4.47)$$

众所周知, 余切丛  $T^*M$  有典范的辛结构, 从而  $C^\infty(T^*M)$  上有典范的泊松括号; 类似地, 余切丛的超化  $\widehat{M} := \Pi(T^*M)$  有典范的“**超辛结构**”, 从而  $\widehat{\mathcal{A}}^\bullet(M) := C^\infty(\widehat{M})$  上有相应的**超泊松括号**, 其定义如下:

**定义 4.22.** 对于  $n$  维光滑流形  $M$  以及  $\widehat{P}, \widehat{Q} \in \widehat{\mathcal{A}}^\bullet(M)$ , 定义

$$[\widehat{P}, \widehat{Q}] := \widehat{P} \left( \frac{\overleftarrow{\partial}}{\partial u^i} \frac{\overrightarrow{\partial}}{\partial \theta_i} - \frac{\overleftarrow{\partial}}{\partial \theta_i} \frac{\overrightarrow{\partial}}{\partial u^i} \right) \widehat{Q}. \quad (4.48)$$

如此运算  $[\cdot, \cdot]: \widehat{\mathcal{A}}^\bullet(M) \times \widehat{\mathcal{A}}^\bullet(M) \rightarrow \widehat{\mathcal{A}}^\bullet(M)$  称为**超泊松括号**.

特别注意这里的  $\overleftarrow{\partial}_{\partial\theta_i}$  是右微分算子, 它从右边作用于  $\widehat{\mathcal{A}}^\bullet(M)$  中的元素; 而通常的左微分算子  $\overrightarrow{\partial}$  常简记为  $\partial$ . 此外还要注意沿超变量的偏导  $\frac{\partial}{\partial\theta_i} := \frac{\overrightarrow{\partial}}{\partial\theta_i}$  满足如下**超 Leibniz 法则**:

$$\frac{\partial}{\partial\theta_i}(\widehat{P}\widehat{Q}) = \frac{\partial\widehat{P}}{\partial\theta_i}\widehat{Q} + (-1)^p\widehat{P}\frac{\partial\widehat{Q}}{\partial\theta_i} \quad (4.49)$$

对任意  $\widehat{P} \in \widehat{\mathcal{A}}^p(M)$ ,  $\widehat{Q} \in \widehat{\mathcal{A}}^q(M)$  都成立. 而右微分算子  $\frac{\overleftarrow{\partial}}{\partial\theta_i}$  满足右作用的超 Leibniz 法则

$$(\widehat{P}\widehat{Q})\frac{\overleftarrow{\partial}}{\partial\theta_i} = \widehat{P}\left(\widehat{Q}\frac{\overleftarrow{\partial}}{\partial\theta_i}\right) + (-1)^q\left(\widehat{P}\frac{\overleftarrow{\partial}}{\partial\theta_i}\right)\widehat{Q}. \quad (4.50)$$

由此容易验证

$$\widehat{P}\frac{\overleftarrow{\partial}}{\partial\theta_i} = (-1)^{p-1}\frac{\partial\widehat{P}}{\partial\theta_i}, \quad \forall \widehat{P} \in \widehat{\mathcal{A}}^p(M). \quad (4.51)$$

由上式可以给出超泊松括号的如下等价定义:

**性质 4.23.** 设  $M$  为  $n$  维光滑流形, 则对任意  $\widehat{P} \in \widehat{\mathcal{A}}^p(M)$ ,  $\widehat{Q} \in \widehat{\mathcal{A}}^q(M)$  都成立

$$[\widehat{P}, \widehat{Q}] = \frac{\partial\widehat{P}}{\partial u^i}\frac{\partial\widehat{Q}}{\partial\theta_i} + (-1)^p\frac{\partial\widehat{P}}{\partial\theta_i}\frac{\partial\widehat{Q}}{\partial u^i}. \quad (4.52)$$

由此可以直接验证超泊松括号满足与 Schouten-Nijenhuis 括号相同的运算律: 对任意  $\widehat{P} \in \widehat{\mathcal{A}}^p(M)$ ,  $\widehat{Q} \in \widehat{\mathcal{A}}^q(M)$ ,  $\widehat{R} \in \widehat{\mathcal{A}}^r(M)$  都有

1.  $[\widehat{P}, \widehat{Q}] \in \widehat{\mathcal{A}}^{p+q-1}(M)$ , 其中特别规定  $\widehat{\mathcal{A}}^{-1}(M) := \{0\}$ ;

2. 超反对称性

$$[\widehat{P}, \widehat{Q}] = -(-1)^{(p-1)(q-1)}[\widehat{Q}, \widehat{P}]; \quad (4.53)$$

### 3. 超 Leibniz 法则

$$[\widehat{P}, \widehat{Q}\widehat{R}] = [\widehat{P}, \widehat{Q}]\widehat{R} + (-1)^{(p-1)q}\widehat{Q}[\widehat{P}, \widehat{R}]; \quad (4.54)$$

### 4. 超 Jacobi 恒等式

$$[\widehat{P}, [\widehat{Q}, \widehat{R}]] = [[\widehat{P}, \widehat{Q}], \widehat{R}] + (-1)^{(p-1)(q-1)}[\widehat{Q}, [\widehat{P}, \widehat{R}]]. \quad (4.55)$$

与注记4.19完全类似, 只需验证超反对称性与超 Leibniz 法则即可, 这两条成立则超 Jacobi 恒等式自动成立. 因此我们立刻得到本小节主要结论:

**定理 4.24.** 设  $M$  为  $n$  维光滑流形, 则对任意  $P, Q \in \text{PV}^\bullet(M)$  都成立

$$\iota[P, Q] = -[\iota(P), \iota(Q)], \quad (4.56)$$

其中同构映射  $\iota$  的定义见(4.47), 并且上式左右两边的括号分别为 Schouten-Nijenhuis 括号与超泊松括号.

证明. 只需考虑  $P, Q$  为齐次元的情形, 即不妨  $P \in \text{PV}^p(M), Q \in \text{PV}^q(M)$ . 注意 Schouten-Nijenhuis 括号与超泊松括号满足相同的运算律 (超反对称性与超 Leibniz 法则), 从而由注记4.19可知只需验证

$$(p, q) = (0, 0), (0, 1), (1, 1)$$

的情形即可. 从而定理得证. □

此定理将多重向量场的 Schouten-Nijenhuis 括号运算转化为超变量的运算, 实践表明后者的计算更简便, 尤其是在无穷维流形的推广情形下更能大大简化计算.

## 4.6 什么是经典 $R$ -矩阵?

本节是本人笔记《辛几何初步》第 3.2.4 节的番外篇, 内容选自 M. A. Semenov-Tyan-Shanskii. *What is a classical  $R$ -matrix?*

### 4.6.1 经典 $R$ -矩阵与双李代数

**定义 4.25.** 对于 (有限维  $\mathbb{R}$ -) 李代数  $\mathfrak{g}$  以及线性算子  $R \in \text{End}(\mathfrak{g})$ , 如果二元运算

$$\begin{aligned} [\cdot, \cdot]_R: \mathfrak{g} \times \mathfrak{g} &\rightarrow \mathfrak{g} \\ (X, Y) &\mapsto [RX, Y] + [X, RY] \end{aligned} \quad (4.57)$$

是李括号, 则称  $R$  是经典  $R$ -矩阵 (*classical  $R$ -matrix*), 并且称  $(\mathfrak{g}, R)$  为双李代数 (*double Lie algebra*).

注意  $[\cdot, \cdot]_R$  总是自动满足双线性与反对称性, 从而  $R$  是经典  $R$ -矩阵当且仅当  $[\cdot, \cdot]_R$  满足 Jacobi 恒等式. 对于双李代数  $(\mathfrak{g}, R)$ , 我们也将关于括号  $[\cdot, \cdot]_R$  的李代数  $(\mathfrak{g}, [\cdot, \cdot]_R)$  简记为  $\mathfrak{g}_R$ .

众所周知, 李代数  $\mathfrak{g}$  的对偶空间  $\mathfrak{g}^*$  上有典范的泊松结构, 即李-泊松结构. 而对于双李代数  $(\mathfrak{g}, R)$ , 分别记  $\mathfrak{g}^*$  上的由通常李括号  $[\cdot, \cdot]$  与  $R$ -李括号  $[\cdot, \cdot]_R$  所诱导的李-泊松括号为  $\{, \}$  与  $\{, \}_R$ . 换言之, 对任意  $f, g \in C^\infty(\mathfrak{g}^*)$  以及点  $\xi \in \mathfrak{g}^*$ , 成立

$$\begin{aligned} \{f, g\}(\xi) &= \langle \xi, [d_\xi f, d_\xi g] \rangle, \\ \{f, g\}_R(\xi) &= \langle \xi, [d_\xi f, d_\xi g]_R \rangle, \end{aligned} \quad (4.58)$$

这里的  $d_\xi: C^\infty(\mathfrak{g}^*) \rightarrow \mathfrak{g}$  是以下若干映射的复合:

$$C^\infty(\mathfrak{g}^*) \xrightarrow{d} \Omega^1(\mathfrak{g}^*) \xrightarrow{\text{cv}_\xi} T_\xi^* \mathfrak{g}^* \cong (\mathfrak{g}^*)^* \cong \mathfrak{g},$$



且  $\langle, \rangle$  为  $\mathfrak{g}^*$  与  $\mathfrak{g}$  的配对.

李代数  $\mathfrak{g}$  与  $\mathfrak{g}_R$  的余伴随表示分别记作  $\text{ad}^*$  与  $\text{ad}_R^*$ , 即

$$\text{ad}^*, \text{ad}_R^*: \mathfrak{g} \rightarrow \text{End}(\mathfrak{g}^*),$$

使得对任意  $X, Y \in \mathfrak{g}$  以及  $\xi \in \mathfrak{g}^*$  都成立

$$\begin{aligned}\langle \text{ad}^* X \cdot \xi, Y \rangle &= -\langle \xi, [X, Y] \rangle, \\ \langle \text{ad}_R^* X \cdot \xi, Y \rangle &= -\langle \xi, [X, Y]_R \rangle.\end{aligned}\tag{4.59}$$

**引理 4.26.** 对于双李代数  $(\mathfrak{g}, R)$ , 成立

$$\text{ad}_R^* = \text{ad}^* \circ R + R^* \circ \text{ad}^*,\tag{4.60}$$

其中  $R^*: \mathfrak{g}^* \rightarrow \mathfrak{g}^*$  是  $R$  的对偶算子.

证明. 对任意  $X, Y \in \mathfrak{g}$  以及  $\xi \in \mathfrak{g}^*$ , 由相关定义直接验证如下:

$$\begin{aligned}\langle \text{ad}_R^* X \cdot \xi, Y \rangle &= -\langle \xi, [X, Y]_R \rangle = -\langle \xi, [RX, Y] + [X, RY] \rangle \\ &= \langle \text{ad}^* RX \cdot \xi, Y \rangle + \langle \text{ad}^* X \cdot \xi, RY \rangle \\ &= \langle (\text{ad}^* \circ R + R^* \circ \text{ad}^*) X \cdot \xi, Y \rangle,\end{aligned}$$

从而得证. □

对于  $f \in C^\infty(\mathfrak{g}^*)$ , 则  $\text{ad}^*(\text{d}_\xi f) = 0$  对  $\xi \in \mathfrak{g}^*$  恒成立, 当且仅当对任意  $g \in C^\infty(\mathfrak{g}^*)$  都有

$$\{f, g\}(\xi) = \langle \xi, [\text{d}_\xi f, \text{d}_\xi g] \rangle = -\left\langle \text{ad}_{\text{d}_\xi f}^* \cdot \xi, \text{d}_\xi g \right\rangle = 0,$$

即  $f$  是泊松括号  $\{, \}$  的 **Casimir 函数**. 因此  $f \in C^\infty(\mathfrak{g}^*)$  是李-泊松括号  $\{, \}$  的 Casimir 函数, 当且仅当  $\text{ad}^*(\text{d}_\xi f) = 0$  对  $\xi \in \mathfrak{g}^*$  恒成立.

**引理 4.27.** 对于双李代数  $(\mathfrak{g}, R)$ , 若  $f, g \in C^\infty(\mathfrak{g}^*)$  是  $\{, \}$  的 *Casimir* 函数, 则

$$\{f, g\}_R = 0.$$

证明. 由于  $f, g$  是李-泊松括号  $\{, \}$  的 *Casimir* 函数, 从而对任意  $\xi \in \mathfrak{g}^*$  都有  $\text{ad}^* \text{d}_\xi f = \text{ad}^* \text{d}_\xi g = 0$ , 因此

$$\begin{aligned} \{f, g\}_R(\xi) &= \langle \xi, [\text{d}_\xi f, \text{d}_\xi g]_R \rangle \\ &= \langle \xi, [R(\text{d}_\xi f), \text{d}_\xi g] + [\text{d}_\xi f, R(\text{d}_\xi g)] \rangle \\ &= \langle \text{ad}^* \text{d}_\xi g \cdot \xi, R(\text{d}_\xi f) \rangle - \langle \text{ad}^* \text{d}_\xi f \cdot \xi, R(\text{d}_\xi g) \rangle \\ &= 0, \end{aligned}$$

从而得证. □

**引理 4.28.** 对于双李代数  $(\mathfrak{g}, R)$ , 若哈密顿量  $H \in C^\infty(\mathfrak{g}^*)$  是关于  $\{, \}$  的 *Casimir* 函数, 则  $H$  关于李-泊松括号  $\{, \}_R$  的哈密顿演化方程为

$$\frac{\text{d}\xi}{\text{d}t} = \text{ad}^* R(\text{d}_\xi H) \cdot \xi, \quad (4.61)$$

这里  $t \mapsto \xi := \xi(t)$  为  $\mathfrak{g}^*$  中的曲线.

证明. 该哈密顿演化方程众所周知的表达式应该是

$$\frac{\text{d}\xi}{\text{d}t} = \text{ad}_R^* \text{d}_\xi H \cdot \xi,$$

然后利用(4.60)并注意  $\text{ad}^* \text{d}_\xi H = 0$  即可. □

## 5. 可积系统理论

本章用于收集笔者在可积系统理论的学习, 教学与科研中的各种随笔, 主要涉及 Dubrovin-Frobenius 流形理论以及双哈密顿结构的形变.

### 5.1 一些 Lax 算子谱问题

在可积系统的研究中, 人们会通过 Lax 算子的谱问题的变换来建立不同可积系统之间的联系. 我们在此收集若干例子.

**例题 5.1.**(Volterra 与  $q$ -KdV) 考虑 Volterra 方程簇的 Lax 算子谱问题

$$L\psi = \lambda\psi, \quad \text{其中 } L = \Lambda + e^W \Lambda^{-1}, \quad (5.1)$$

其中  $\lambda, \psi$  分别为谱参数与波函数, 平移算子  $\Lambda = e^{\epsilon \partial_x}$ . 此外, 我们也采用  $\psi_n := \psi(n\epsilon)$  这种记号.

谱问题(5.1)等价于

$$\psi^{++} - \lambda\psi^+ + e^{W^+} \psi = 0,$$

引入新的波函数  $\phi$  如下

$$\psi_n = \frac{\phi_n}{\lambda^n}, \quad (5.2)$$

则有

$$\lambda^{-2}\phi^{++} - \phi^+ + e^{W^+} \phi = 0,$$

换言之

$$\left(e^{W^-} \lambda^{-2} - \Lambda^{-1}\right) \phi = -\lambda^{-2} \phi. \quad (5.3)$$

继续变换波函数, 引入新的波函数  $\tilde{\psi}$  如下:

$$\phi = \rho \tilde{\psi}, \quad (5.4)$$

其中函数  $\rho = \rho(W, W_x, \dots)$  待定. 则谱问题(5.3)继续改写为

$$\left( e^{W^-} \frac{\rho^-}{\rho} \Lambda^{-2} - \frac{\rho^-}{\rho} \Lambda^{-1} \right) \tilde{\psi} = -\lambda^{-2} \tilde{\psi}. \quad (5.5)$$

我们希望  $\rho$  满足  $e^{W^-} \frac{\rho^-}{\rho} = 1$ , 从而不妨取

$$\frac{\rho^-}{\rho} = -e^{-\frac{1}{\Lambda+1}W},$$

于是(5.5)变为

$$(\Lambda^{-2} + U\Lambda^{-1}) (\Lambda^{\frac{1}{2}} \tilde{\psi}) = -\lambda^{-2} (\Lambda^{\frac{1}{2}} \tilde{\psi}),$$

其中新的坐标  $U$  与旧的坐标  $W$  满足关系

$$W = -(\Lambda^{\frac{1}{2}} + \Lambda^{-\frac{1}{2}}) \log U, \quad U = \exp \left( -\frac{1}{\Lambda^{\frac{1}{2}} + \Lambda^{-\frac{1}{2}}} W \right). \quad (5.6)$$

事实上,  $\Lambda^{-\frac{1}{2}} \tilde{\psi}$  是我们最终所得的新的波函数, 我们把它重新记为  $\tilde{\psi}$ .

将上述讨论总结如下: 如果波函数  $\psi$  满足谱问题(5.1), 则由方程

$$\psi = (\rho \Lambda^{-\frac{1}{2}}) \tilde{\psi}$$

所确定的  $\tilde{\psi}$  满足谱问题

$$(\Lambda^{-2} + U\Lambda^{-1}) \tilde{\psi} = \tilde{\lambda} \tilde{\psi}, \quad (5.7)$$

其中  $\tilde{\lambda} = -\lambda^{-2}$ , 新坐标  $U$  满足(5.6), 且函数  $\rho$  满足

$$\frac{\rho^-}{\rho} = -\lambda \exp \left( -\frac{1}{\Lambda+1} W \right).$$

事实上,  $\tilde{L} := \Lambda^{-2} + U\Lambda^{-1}$  恰为  $q$ -deformed KdV 方程簇的 Lax 算子 (相差  $\epsilon \mapsto -\epsilon$  意义下), 此外, (5.6) 将 Volterra 方程簇的正流变为  $q$ -deformed KdV 方程簇的负流.

**例题 5.2.**(Ablowitz-Ladik) 考虑 Ablowitz-Ladik 方程簇的谱问题

$$L\psi = \lambda\psi, \quad \text{其中 } L = (1 - Q\Lambda^{-1})^{-1}(\Lambda - P), \quad (5.8)$$

其中  $\lambda, \psi$  分别为谱参数与波函数, 平移算子  $\Lambda = e^{\varepsilon\partial_x}$ .

上述谱问题可以改写为

$$(\Lambda - P)\psi = \lambda(1 - Q\Lambda^{-1})\psi.$$

引入新的波函数  $\tilde{\psi}$  如下

$$\psi = \rho\tilde{\psi},$$

其中函数  $\rho$  待定, 则谱问题改写为

$$\left(\Lambda^{-1} - \frac{1}{Q} \frac{\rho}{\rho^-}\right) \psi = \frac{1}{\lambda} \left(\frac{P}{Q} \frac{\rho}{\rho^-} - \frac{1}{Q} \frac{\rho^+}{\rho^-} \Lambda\right) \psi.$$

我们希望  $\frac{P}{Q} \frac{\rho}{\rho^-} = 1$ , 于是只需选取  $\rho$  使得

$$\frac{\rho}{\rho^-} = \frac{Q}{P},$$

此时谱问题变为

$$\left(1 - \tilde{Q}\tilde{\Lambda}^{-1}\right)^{-1} \left(\tilde{\Lambda} - \tilde{P}\right) \tilde{\psi} = \tilde{\lambda}\tilde{\psi}, \quad (5.9)$$

其中  $\tilde{\lambda} = \frac{1}{\lambda}$ ,  $\tilde{\Lambda} = \Lambda^{-1}$ , 且

$$\tilde{P} = \frac{1}{P}, \quad \tilde{Q} = \frac{Q^+}{PP^+}. \quad (5.10)$$

事实上, (5.10)建立了 Ablowitz-Ladik 方程簇的正流与负流之间的对应关系, 以及双哈密顿结构  $(\mathcal{P}_1, \mathcal{P}_2)$  与  $(\mathcal{P}_3, \mathcal{P}_2)$  的对应关系.

## 5.2 Frobenius 流形的 Legendre 变换

**Frobenius** 流形是二维拓扑场论 (2D TFT) 的 primary free energy 所满足的 Witten-Dijkgraaf-Verlinde-Verlinde 结合性方程 (简称 **WDVV** 方程) 的几何模型, 由 Dubrovin 在 20 世纪 90 年代引入. Frobenius 流形的数学定义有若干不同的版本, 而本小节临时采用如下约定:

**定义 5.3.** 所谓 **Frobenius** 流形, 是指四元组  $(M, \eta, \cdot, e)$ , 其中:

- $M$  是  $n$  维复流形,  $\eta$  是  $M$  上的全纯 (伪) 黎曼度量;
- $\cdot$  是  $M$  上的  $(1, 2)$ -型张量,  $e$  为  $M$  上的切向量场,

使得满足以下条件:

1. 度量  $\eta$  是平坦的;
2. 任意  $p \in M$ , 切空间  $T_p M$  具有 **Frobenius** 代数结构  $(T_p M, \eta, \cdot)$ , 使得  $\eta, \cdot$  分别为该 Frobenius 代数的内积与乘法, 并且  $e$  处处是该 Frobenius 乘法的单位元;
3. 若引入  $(0, 3)$ -型张量  $c: (X, Y, Z) \mapsto \eta(X \cdot Y, Z)$ , 并记  $\nabla$  为度量  $\eta$  的 Levi-Civita 联络, 则  $(0, 4)$ -型张量  $\nabla c$  是 4-对称的.

由于度量  $\eta$  是平坦的, 我们不妨取 Frobenius 流形的一组平坦坐标  $\{v^\alpha\}$ . 在此坐标下, 度量  $\eta$  形如

$$\eta = \eta_{\alpha\beta} \, dv^\alpha \otimes dv^\beta, \quad (5.11)$$

其中  $(\eta_{\alpha\beta})$  是常系数可逆方阵. 此外, 张量  $c$  在该坐标下形如

$$c = c_{\alpha\beta\gamma} \, dv^\alpha \otimes dv^\beta \otimes dv^\gamma.$$

由张量  $\nabla c$  的 4-对称性可知, (局部) 存在函数  $F = F(v^1, \dots, v^n)$  使得

$$c_{\alpha\beta\gamma} = \frac{\partial^3 F}{\partial v^\alpha \partial v^\beta \partial v^\gamma}, \quad (5.12)$$

如此  $F$  称为 Frobenius 流形的势函数. 在此语境下, Frobenius 代数乘法的结合性等价于如下方程:

$$\frac{\partial^3 F}{\partial v^\alpha \partial v^\beta \partial v^\lambda} \eta^{\lambda\mu} \frac{\partial^3 F}{\partial v^\mu \partial v^\gamma \partial v^\delta} = \frac{\partial^3 F}{\partial v^\delta \partial v^\beta \partial v^\lambda} \eta^{\lambda\mu} \frac{\partial^3 F}{\partial v^\mu \partial v^\gamma \partial v^\alpha}, \quad (5.13)$$

这正是著名的 WDVV 方程, 其中  $(\eta^{\alpha\beta}) := (\eta_{\alpha\beta})^{-1}$ .

**注记 5.4.** 在别的版本的定义中, 单位向量场  $e$  需要满足  $\nabla e = 0$ , 即要求单位向量场的平坦性. 而本小节中的 Frobenius 流形并不被要求具有此性质 (这种单位向量场未必平坦的情形在某些别的场合被笔者称为“广义 Frobenius 流形”). 此外, Dubrovin 关于 Frobenius 流形的原始定义中还要求其具有某种“拟齐次性”, 需要具有所谓“欧拉向量场”, 而本小节对此也无要求.

对于给定的 Frobenius 流形  $(M, \eta, \cdot, e)$ , 我们可以通过某种方式引入一个新的度量  $\hat{\eta}$ , 使得  $M$  在新度量  $\eta$  与原来的乘法  $\cdot$  意义下成为另一个 Frobenius 流形  $(M, \hat{\eta}, \cdot, e)$ , 这样的变换被称为 Frobenius 流形的 **Legendre 变换**, 它最初也是由 Dubrovin 所提出. 本小节的目的是将 Legendre 变换适当推广.

**定义 5.5.** Frobenius 流形  $(M, \eta, \cdot, e)$  上的切向量场  $b \in \text{Vect}(M)$  称为 **Legendre 向量场**, 如果  $b$  同时满足以下两条:

1.  $b$  关于 Frobenius 乘法处处可逆;
2. 令  $M$  上的  $(1, 1)$ -型张量场  $B: X \mapsto b \cdot X$ , 则  $\nabla B$  是 2-对称的, 其中  $\nabla$  是关于度量  $\eta$  的 Levi-Civita 联络.

取关于度量  $\eta$  的平坦坐标  $\{v^\alpha\}$ , 在此坐标下记

$$b = b^\alpha \frac{\partial}{\partial v^\alpha},$$

则张量  $B$  在该坐标下的系数矩阵  $(B_\alpha^\beta)$  为

$$B_\alpha^\beta = b^\lambda c_{\lambda\alpha}^\beta.$$

于是,  $b$  为 Frobenius 乘法的可逆元当且仅当矩阵  $(B_\alpha^\beta)$  处处可逆; 而  $\nabla B$  是 2-对称性等价于

$$\partial_\gamma B_\alpha^\beta = \partial_\alpha B_\gamma^\beta. \quad (5.14)$$

常见的例子是, 如果  $b$  在平坦坐标下的各分量系数  $b^\alpha$  都是常数, 则  $\nabla B$  的 2-对称性, 也就是上式, 自动成立.

接下来给出本小节主要结果:

**定理 5.6.** 设  $b$  为 Frobenius 流形  $(M, \eta, \cdot, e)$  的 Legendre 向量场, 引入  $M$  上的  $(0, 2)$ -型张量  $\hat{\eta}$  如下:

$$\hat{\eta}(X, Y) := \eta(b \cdot X, b \cdot Y), \quad (5.15)$$

则  $(M, \hat{\eta}, \cdot, e)$  也是 Frobenius 流形.

对任意  $p \in M$ ,  $(T_p M, \hat{\eta}, \cdot)$  显然也构成 Frobenius 代数; 于是只需再验证以下两点:

- $\hat{\eta}$  是平坦度量;
- $\hat{\nabla} \hat{c}$  是 4-对称的, 其中  $\hat{c}: (X, Y, Z) \mapsto \hat{\eta}(X \cdot Y, Z)$ , 并且  $\hat{\nabla}$  是关于度量  $\hat{\eta}$  的 Levi-Civita 联络.



用整体定义的张量语言来验证它们, 是十分枯燥复杂的; 我们最好还是充分利用一些特殊技巧: 为证明  $\hat{\eta}$  的平坦性, 我们不要去直接验算黎曼曲率张量, 而是去构造相应的平坦坐标  $\hat{v}^\alpha$ ; 为证明  $\hat{\nabla}\hat{c}$  的 4-对称性, 我们不要直接求张量的协变导数, 而是去构造相应的势函数  $\hat{F}$ .

定理5.6的证明. 取定关于度量  $\eta$  的一组平坦坐标  $v^\alpha$ , 使得  $\eta$  形如(5.11). 再记  $F$  为(5.12)中的势函数.

1. 断言: 存在局部坐标  $\{\hat{v}^\alpha\}$ , 使得

$$\hat{\eta} = \eta_{\alpha\beta} d\hat{v}^\alpha \otimes d\hat{v}^\beta, \quad (5.16)$$

从而  $\hat{\eta}$  在坐标  $\hat{v}^\alpha$  下是常系数的, 从而  $\hat{\eta}$  平坦. 注意到, 如果(5.16)成立, 则应该有

$$\eta_{\alpha\beta} = \hat{\eta} \left( \frac{\partial}{\partial \hat{v}^\alpha}, \frac{\partial}{\partial \hat{v}^\beta} \right) = \eta \left( b \cdot \frac{\partial}{\partial \hat{v}^\alpha}, b \cdot \frac{\partial}{\partial \hat{v}^\beta} \right),$$

由此可见, 如果能够找到局部坐标  $\{\hat{v}^\alpha\}$  使得

$$\frac{\partial}{\partial v^\alpha} = b \cdot \frac{\partial}{\partial \hat{v}^\alpha}, \quad (5.17)$$

那么如此  $\{\hat{v}^\alpha\}$  即为所求; 而容易验证(5.17)等价于

$$\frac{\partial \hat{v}^\alpha}{\partial v^\beta} = B_\beta^\alpha := b^\lambda c_{\lambda\beta}^\alpha. \quad (5.18)$$

上述方程的解  $\hat{v}^\alpha$  的存在性的相容性条件恰为(5.14). 断言得证.

2. 记号承上, 断言: (局部) 存在函数  $\hat{F}$ , 使得成立

$$\frac{\partial^2 \hat{F}}{\partial \hat{v}^\alpha \partial \hat{v}^\beta} = \frac{\partial^2 F}{\partial v^\alpha \partial v^\beta}. \quad (5.19)$$

为证此断言, 只需验证如下相容性条件:

$$\frac{\partial}{\partial \hat{v}^\gamma} \left( \frac{\partial^2 F}{\partial v^\alpha \partial v^\beta} \right) = \frac{\partial}{\partial \hat{v}^\alpha} \left( \frac{\partial^2 F}{\partial v^\gamma \partial v^\beta} \right).$$

注意(5.17), 从而

$$\frac{\partial}{\partial \hat{v}^\gamma} \left( \frac{\partial^2 F}{\partial v^\alpha \partial v^\beta} \right) = (B^{-1})_\gamma^\lambda c_{\lambda\alpha\beta} = \eta \left( b^{-1} \cdot \frac{\partial}{\partial v^\gamma} \cdot \frac{\partial}{\partial v^\alpha}, \frac{\partial}{\partial v^\beta} \right),$$

其中  $b^{-1}$  是向量场  $b$  关于 Frobenius 乘法的逆. 由乘法  $\cdot$  的结合性可知上述相容性条件满足, 断言得证.

3. 最后, 由  $\hat{\eta}$  的定义以及(5.17)(5.19), 容易验证  $\hat{F}$  满足如下等式:

$$\hat{c}_{\hat{\alpha}\hat{\beta}\hat{\gamma}} := \hat{\eta} \left( \frac{\partial}{\partial \hat{v}^\alpha} \cdot \frac{\partial}{\partial \hat{v}^\beta}, \frac{\partial}{\partial \hat{v}^\gamma} \right) = \frac{\partial^3 \hat{F}}{\partial \hat{v}^\alpha \partial \hat{v}^\beta \partial \hat{v}^\gamma}, \quad (5.20)$$

从而立刻得到  $\hat{\nabla}\hat{c}$  是 4-对称的.

综上, 定理得证. □

**注记 5.7.** 沿用前文记号. 我们回忆, 在平坦坐标  $\{v^\alpha\}$  下, 分别记 Legendre 向量场  $b$  与单位向量场  $e$  为

$$b = b^\alpha \frac{\partial}{\partial v^\alpha}, \quad e = e^\alpha \frac{\partial}{\partial v^\alpha},$$

则单位向量场在新坐标  $\hat{v}^\alpha$  下的系数恰为 Legendre 向量场在旧坐标  $v^\alpha$  下的系数, 即

$$e = b^\alpha \frac{\partial}{\partial \hat{v}^\alpha}. \quad (5.21)$$

下面我们来看一些例子.

**例题 5.8.** 考虑 2 维 Frobenius 流形

$$F_{\text{Toda}} = \frac{1}{2}v^2u + \mathbf{e}^u, \quad (5.22)$$

其中平坦坐标  $(v, u) := (v^1, v^2)$ , 并且在此坐标下, 度量  $\eta = \begin{pmatrix} & 1 \\ 1 & \end{pmatrix}$ . 若取 Legendre 向量场  $b = \frac{\partial}{\partial u}$ , 则相应的新坐标为

$$\hat{v} = v, \quad \hat{u} = \mathbf{e}^u,$$

新的势函数为

$$F_{\text{NLS}} = \frac{1}{2}\hat{v}^2\hat{u} + \frac{\hat{u}^2}{2} \left( \log \hat{u} - \frac{3}{2} \right).$$

这是 Toda 流形与非线性薛定谔 (NLS) 流形之间的变换关系.

**例题 5.9.** 考虑 2 维 Frobenius 流形

$$F_{\text{AL}} = \frac{1}{2}v^2u + v\mathbf{e}^u + \frac{1}{2}v^2 \log v, \quad (5.23)$$

其中平坦坐标  $(v, u) := (v^1, v^2)$ , 并且在此坐标下, 度量  $\eta = \begin{pmatrix} & 1 \\ 1 & \end{pmatrix}$ . 若取 Legendre 向量场  $b = \frac{\partial}{\partial v}$ , 则相应的新坐标为

$$\hat{v} = v + \mathbf{e}^u, \quad \hat{u} = \log v + u,$$

新的势函数为

$$F_{\text{Toda}} = \frac{1}{2}\hat{v}^2\hat{u} + \mathbf{e}^{\hat{u}}$$

这是 Ablowitz-Ladik 流形与 Toda 流形之间的变换关系.

反过来, 也可以通过适当的 Legendre 向量将 Toda 流形变为 Ablowitz-Ladik 流形. 事实上, Toda, NLS 以及 AL 这三者可以通过 Legendre 变换互相得到.

**例题 5.10.** 考虑 2 维 Frobenius 流形

$$F_{\text{DA}_2} = -\frac{1}{48}v^3 + \frac{3}{32}v^2u^2 - \frac{3}{64}vu^4 + \frac{9}{640}u^6, \quad (5.24)$$

其中平坦坐标  $(v, u) := (v^1, v^2)$ , 并且在此坐标下, 度量  $\eta = \begin{pmatrix} & 1 \\ 1 & \end{pmatrix}$ . 若取 Legendre 向量场  $b = \frac{\partial}{\partial v}$ , 则相应的新坐标  $(\hat{v}, \hat{u})$  与旧坐标  $(v, u)$  满足

$$\begin{cases} \hat{v} = \frac{3}{8}vu - \frac{3}{16}u^3, \\ \hat{u} = -\frac{1}{8}v + \frac{3}{16}u^2, \end{cases}$$

记  $\hat{F} = \hat{F}(\hat{v}, \hat{u})$  为新的势函数, 则由(5.19)可知

$$\left( \frac{\partial^2 \hat{F}}{\partial \hat{v}^\alpha \partial \hat{v}^\beta} \right) = \left( \frac{\partial^2 F_{\text{DA}_2}}{\partial v^\alpha \partial v^\beta} \right) = \begin{pmatrix} \hat{u} & \hat{v} \\ \hat{v} & 12\hat{u}^2 \end{pmatrix},$$

因此  $\hat{F}$  可以取为

$$\hat{F} = \frac{1}{2}\hat{v}^2\hat{u} + \hat{u}^4,$$

这刚好是  $A_2$ -流形的势函数  $F_{A_2}$ .

事实上, 笔者强烈怀疑(5.24)这个 (广义)Frobenius 流形与  $A_2$ -型奇点有密切联系.

## 5.3 中心不变量的简便计算

设  $(\mathcal{P}_1, \mathcal{P}_2)$  是半单的流体力学型双哈密顿结构, 其在局部坐标  $v^\alpha$  下有表达式

$$\mathcal{P}_a^{\alpha\beta} = g_a^{\alpha\beta} \partial_x + \Gamma_{\gamma;a}^{\alpha\beta} v_x^\gamma \quad (a = 1, 2).$$

众所周知,  $g_a := (g_a^{\alpha\beta})$  是平坦的 (伪) 黎曼 (反变) 度量,  $\{\Gamma_{\gamma;a}^{\alpha\beta}\}$  是度量  $g_a$  的 Levi-Civita 联络的 (反变) Christoffel 系数 ( $a = 1, 2$ ). 关于参数  $\lambda$  的

方程  $\det(g_2 - \lambda g_1) = 0$  的  $n$  个不同的根  $u^1, \dots, u^n$  构成底流形上的一组局部坐标, 称为**正则坐标** (canonical coordinate). 反变度量  $g_a$  ( $a = 1, 2$ ) 在正则坐标  $u^i$  下形如下述对角型

$$g_1^{ij} = \delta^{ij} f^i, \quad g_2^{ij} = \delta^{ij} u^i f^i, \quad (5.25)$$

其中  $f^1, \dots, f^n$  是底流形上的光滑函数.

我们一直习惯用拉丁字母  $i, j, k, \dots$  表示张量在正则坐标  $u^i$  下的系数分量, 而用希腊字母  $\alpha, \beta, \gamma, \dots$  表示张量在一般坐标  $v^\alpha$  下的系数分量. 此外, 对于 (模长足够大的) 参数  $\lambda \in \mathbb{C}$ , 我们记

$$g_\lambda := g_2 - \lambda g_1, \quad \mathcal{P}_\lambda := \mathcal{P}_2 - \lambda \mathcal{P}_1. \quad (5.26)$$

设  $(\tilde{\mathcal{P}}_1, \tilde{\mathcal{P}}_2)$  是上述双哈密顿结构  $(\mathcal{P}_1, \mathcal{P}_2)$  的一个形变, 其形如

$$\begin{aligned} \tilde{\mathcal{P}}_a^{\alpha\beta} &= \mathcal{P}_a^{\alpha\beta} + \sum_{s \geq 1} \varepsilon^s \left( \sum_{t=0}^{s+1} P_{s,t;a}^{\alpha\beta} \partial_x^t \right) \\ &= g_a^{\alpha\beta} \partial_x + \Gamma_{\gamma;a}^{\alpha\beta} v_x^\gamma \\ &\quad + \varepsilon (H_a^{\alpha\beta} \partial_x^2 + \dots) + \varepsilon^2 (K_a^{\alpha\beta} \partial_x^3 + \dots) + O(\varepsilon^3), \end{aligned} \quad (5.27)$$

这里的  $\varepsilon$  为无穷小形变参数,  $P_{s,t;a}^{\alpha\beta}$  是底流形的 jet 空间上的齐次微分多项式, 其微分分次为  $s + 1 - t$ . 我们特别关心一阶与二阶形变项的领头项  $H_a = (H_a^{\alpha\beta})$ ,  $K_a = (K_a^{\alpha\beta})$ , 并注意到

$$H_a^{\alpha\beta} = -H_a^{\beta\alpha}, \quad K_a^{\alpha\beta} = K_a^{\beta\alpha}.$$

类似地, 对于参数  $\lambda$ , 我们也记

$$H_\lambda := H_2 - \lambda H_1, \quad K_\lambda := K_2 - \lambda K_1. \quad (5.28)$$

一个重要的结果是, 半单双哈密顿结构  $(\mathcal{P}_1, \mathcal{P}_2)$  的形变的 Miura 变换等价类能够被一族单变量光滑函数  $c_i = c_i(u)$ ,  $i = 1, 2, \dots, n$  所完全

刻画, 这  $n$  个函数  $c_i$  称为该形变的**中心不变量**. 换言之,  $(\mathcal{P}_1, \mathcal{P}_2)$  的两个形变是 **Miura** 变换等价的, 当且仅当它们有相同的中心不变量. 在正则坐标  $u^i$  下, 中心不变量  $c_i$  的定义为

$$c_i = \frac{1}{3(f^i)^2} \left( K_2^{ii} - u^i K_1^{ii} + \sum_{k \neq i} \frac{(H_2^{ki} - u^i H_1^{ki})^2}{f^k(u^k - u^i)} \right). \quad (5.29)$$

按道理说, 上式右边应该是底流形上的光滑函数; 然而可以证明  $c_i$  只与第  $i$  个正则坐标分量  $u^i$  有关, 即  $c_i = c_i(u^i)$  自然被视为单变量函数. 此外, 从上式可见中心不变量只与低阶形变项的领头项  $H_a, K_a$  有关.

我们在研究半单双哈密顿结构的形变的具体例子时, 往往要具体计算相应的中心不变量. 直接用定义式(5.29)来计算并不是好主意, 其计算量往往巨大而恐怖. 我们迫切需要简洁高效的算法.

感谢 Falqui, Lorenzoni 提供如下方法:

**定理 5.11.** 记号承上, 引入张量

$$A_\lambda := K_\lambda + \frac{1}{2} H_\lambda^\top g_\lambda^{-1} H_\lambda, \quad (5.30)$$

则中心不变量  $c_i = c_i(u^i)$  满足

$$c_i = -\frac{1}{3f^i} \operatorname{Res}_{\lambda=u^i} \operatorname{tr} (g_\lambda^{-1} A_\lambda). \quad (5.31)$$

注意  $g_\lambda$  与  $A_\lambda$  都是  $(2,0)$ -型张量, 从而  $g_\lambda^{-1} A_\lambda$  是  $(1,1)$ -型张量, 于是函数  $\operatorname{tr} (g_\lambda^{-1} A_\lambda)$  在底流形上整体定义, 不依赖局部坐标选取.

证明. 注意在正则坐标  $u^i$  下有  $(g_\lambda^{-1})_{ij} = -\frac{\delta_{ij}}{f^i} \frac{1}{\lambda - u^i}$ , 从而

$$\operatorname{tr} (g_\lambda^{-1} A_\lambda) = \sum_{k=1}^n (g_\lambda^{-1})_{kk} A_\lambda^{kk}$$

$$\begin{aligned}
&= - \sum_{k=1}^n \frac{1}{f^k(\lambda - u^k)} \left( K_\lambda^{kk} + \frac{1}{2} \sum_{\ell \neq k} \frac{(H_\lambda^{\ell k})^2}{f^\ell(u^\ell - \lambda)} \right) \\
&= - \sum_{k=1}^n \frac{K_\lambda^{kk}}{f^k(\lambda - u^k)} + \frac{1}{2} \sum_{\substack{k, \ell=1 \\ k \neq \ell}}^n \frac{(H_\lambda^{k\ell})^2}{f^k f^\ell(\lambda - u^k)(\lambda - u^\ell)} \\
&= - \sum_{k=1}^n \frac{K_\lambda^{kk}}{f^k(\lambda - u^k)} + \sum_{k=1}^n \sum_{\ell \neq k} \frac{(H_\lambda^{k\ell})^2}{f^k f^\ell(u^k - u^\ell)} \frac{1}{\lambda - u^k},
\end{aligned}$$

于是立刻得到

$$\begin{aligned}
&\text{Res}_{\lambda=u^i} \text{tr} (g_\lambda^{-1} A_\lambda) \\
&= - \frac{1}{f^i} \left( K_2^{ii} - u^i K_1^{ii} + \sum_{k \neq i} \frac{(H_2^{ki} - u^i H_1^{ki})^2}{f^k(u^k - u^i)} \right) = -3f^i c_i,
\end{aligned}$$

定理得证. □

我们通过具体例子来看如何用公式(5.31)来计算中心不变量.

**例题 5.12.** 考虑 Boussinesq 方程的双哈密顿结构

$$\begin{aligned}
\tilde{\mathcal{P}}_1 &= \begin{pmatrix} \partial_x \\ \partial_x \end{pmatrix}, \\
\tilde{\mathcal{P}}_2 &= \begin{pmatrix} 2V\partial_x + V_x + \varepsilon^2 \partial_x^3 & 3U\partial_x + 2U_x \\ 3U\partial_x + U_x & \mathcal{Q} \end{pmatrix},
\end{aligned}$$

其中坐标函数  $V := v^1, U := v^2$ , 并且

$$\mathcal{Q} := \frac{16}{3} V \partial_x V + \varepsilon^2 \left( \frac{5}{3} V \partial_x^3 + \frac{5}{3} \partial_x^3 V - V_{xx} \partial_x - \partial_x V_{xx} \right) + \frac{\varepsilon^4}{3} \partial_x^5.$$

试计算  $(\tilde{\mathcal{P}}_1, \tilde{\mathcal{P}}_2)$  的中心不变量.

解. 直接计算可知张量  $g_a, H_a, K_a$  ( $a = 1, 2$ ) 在  $(P, Q) = (v^1, v^2)$  坐标下的系数矩阵分别为

$$g_1 = \begin{pmatrix} 0 & 1 \\ 1 & 0 \end{pmatrix}, \quad g_2 = \begin{pmatrix} 2V & 3U \\ 3U & \frac{16}{3}V^2 \end{pmatrix},$$

$$H_1 = H_2 = K_1 = 0, \quad K_2 = \begin{pmatrix} 1 & 0 \\ 0 & \frac{10}{3}V \end{pmatrix}.$$

于是在  $(V, U)$  坐标下直接计算可得

$$\mathrm{tr}(g_\lambda^{-1}A_\lambda) = -\frac{12V^2}{\lambda^2 - 6U\lambda + (9U^2 - \frac{32}{3}V^3)}.$$

接下来求解关于  $\lambda$  的方程  $\det(g_\lambda) = 0$  得正则坐标

$$u^1 = 3U - \frac{4\sqrt{6}}{3}V^{\frac{3}{2}},$$

$$u^2 = 3U + \frac{4\sqrt{6}}{3}V^{\frac{3}{2}},$$

之后通过坐标变换可得  $g_1$  在  $(u^1, u^2)$  坐标下的系数矩阵的对角元

$$f^1 = -12\sqrt{6V}, \quad f^2 = 12\sqrt{6V}.$$

最后将相关数据代入公式(5.31), 直接计算得中心不变量

$$c_1 = c_2 = \frac{1}{48}.$$

至少是常中心不变量, 也还行. □

**例题 5.13.** 考虑 2 分量 Camassa-Holm 方程的双哈密顿结构

$$\tilde{\mathcal{P}}_1 = \begin{pmatrix} & \partial_x - \varepsilon \partial_x^2 \\ \partial_x + \varepsilon \partial_x^2 & \end{pmatrix},$$



$$\tilde{\mathcal{P}}_2 = \begin{pmatrix} 2V\partial_x + V_x & U\partial_x \\ \partial_x U & -2\partial_x \end{pmatrix},$$

其中坐标函数  $V := v^1, U := v^2$ . 试计算  $(\tilde{\mathcal{P}}_1, \tilde{\mathcal{P}}_2)$  的中心不变量.

解. 直接计算可知张量  $g_a, H_a, K_a$  ( $a = 1, 2$ ) 在  $(P, Q) = (v^1, v^2)$  坐标下的系数矩阵分别为

$$g_1 = \begin{pmatrix} 0 & 1 \\ 1 & 0 \end{pmatrix}, \quad g_2 = \begin{pmatrix} 2V & U \\ U & -2 \end{pmatrix},$$

$$H_1 = \begin{pmatrix} 0 & -1 \\ 1 & 0 \end{pmatrix} \quad H_2 = K_1 = K_2 = 0,$$

于是在  $(V, U)$  坐标下直接计算可得

$$\mathrm{tr}(g_\lambda^{-1}A_\lambda) = -\frac{\lambda^2}{\lambda^2 - 2U\lambda + (4V + U^2)}$$

接下来求解关于  $\lambda$  的方程  $\det(g_\lambda) = 0$  得正则坐标

$$u^1 = U - 2iV^{\frac{1}{2}},$$

$$u^2 = U + 2iV^{\frac{1}{2}},$$

之后通过坐标变换可得  $g_1$  在  $(u^1, u^2)$  坐标下的系数矩阵的对角元

$$f^1 = -2iV^{-\frac{1}{2}}, \quad f^2 = 2iV^{-\frac{1}{2}}.$$

最后将相关数据代入公式(5.31), 直接计算得中心不变量

$$c_1 = -\frac{1}{24}(u^1)^2,$$

$$c_2 = -\frac{1}{24}(u^2)^2.$$

□

**例题 5.14.** 考虑 Toda 方程簇的双哈密顿结构

$$\begin{aligned}\tilde{\mathcal{P}}_1 &= \begin{pmatrix} 0 & \Lambda - 1 \\ 1 - \Lambda^{-1} & 0 \end{pmatrix}, \\ \tilde{\mathcal{P}}_2 &= \begin{pmatrix} \Lambda \mathbf{e}^u - \mathbf{e}^u \Lambda^{-1} & v(\Lambda - 1) \\ (1 - \Lambda^{-1})v & (\Lambda - \Lambda^{-1}) \end{pmatrix},\end{aligned}$$

其中坐标函数  $v := v^1, u := v^2$ , 而  $\Lambda := \mathbf{e}^{\varepsilon \partial_x}$  为平移算子. 试计算  $(\tilde{\mathcal{P}}_1, \tilde{\mathcal{P}}_2)$  的中心不变量.

解. 直接计算可知张量  $g_a, H_a, K_a$  ( $a = 1, 2$ ) 在  $(v, u) = (v^1, v^2)$  坐标下的系数矩阵分别为

$$\begin{aligned}g_1 &= \begin{pmatrix} 0 & 1 \\ 1 & 0 \end{pmatrix}, & g_2 &= \begin{pmatrix} 2\mathbf{e}^u & v \\ v & 2 \end{pmatrix}, \\ H_1 &= \begin{pmatrix} 0 & \frac{1}{2} \\ -\frac{1}{2} & 0 \end{pmatrix}, & H_2 &= \begin{pmatrix} 0 & \frac{1}{2}v \\ -\frac{1}{2}v & 0 \end{pmatrix}, \\ K_1 &= \begin{pmatrix} 0 & \frac{1}{6} \\ \frac{1}{6} & 0 \end{pmatrix}, & K_2 &= \begin{pmatrix} \frac{1}{3}\mathbf{e}^u & \frac{1}{6}v \\ \frac{1}{6}v & \frac{1}{3} \end{pmatrix},\end{aligned}$$

于是在  $(v, u)$  坐标下直接计算可得

$$\mathrm{tr}(g_\lambda^{-1}A_\lambda) = \frac{1}{3} - \frac{(\lambda - v)^2}{4(\lambda^2 - 2v\lambda + (v^2 - 4\mathbf{e}^u))}$$

接下来求解关于  $\lambda$  的方程  $\det(g_\lambda) = 0$  得正则坐标

$$\begin{aligned}u^1 &= v - 2\mathbf{e}^{\frac{u}{2}}, \\ u^2 &= v + 2\mathbf{e}^{\frac{u}{2}},\end{aligned}$$

之后通过坐标变换可得  $g_1$  在  $(u^1, u^2)$  坐标下的系数矩阵的对角元

$$f^1 = -2e^{\frac{u}{2}}, \quad f^2 = 2e^{\frac{u}{2}}.$$

将相关数据代入公式(5.31)可得中心不变量

$$c_1 = c_2 = \frac{1}{24}.$$

果然是  $\frac{1}{24}$ , 如此甚好. □

**例题 5.15.** 考虑 Ablowitz-Ladik 方程簇的双哈密顿结构

$$\begin{aligned} \tilde{\mathcal{P}}_1 &= \begin{pmatrix} Q\Lambda^{-1} - \Lambda Q & (1 - \Lambda)Q \\ Q(\Lambda^{-1} - 1) & 0 \end{pmatrix}, \\ \tilde{\mathcal{P}}_2 &= \begin{pmatrix} 0 & P(\Lambda - 1)Q \\ Q(1 - \Lambda^{-1})P & Q(\Lambda - \Lambda^{-1})P \end{pmatrix}, \end{aligned}$$

其中坐标函数  $P := v^1$ ,  $Q := v^2$ , 而  $\Lambda := e^{\varepsilon \partial_x}$  为平移算子. 试计算  $(\tilde{\mathcal{P}}_1, \tilde{\mathcal{P}}_2)$  的中心不变量.

解. 直接计算可知张量  $g_a, H_a, K_a$  ( $a = 1, 2$ ) 在  $(P, Q) = (v^1, v^2)$  坐标下的系数矩阵分别为

$$\begin{aligned} g_1 &= \begin{pmatrix} -2Q & -Q \\ -Q & 0 \end{pmatrix}, & g_2 &= \begin{pmatrix} 0 & PQ \\ PQ & 2Q^2 \end{pmatrix}, \\ H_1 &= \begin{pmatrix} 0 & -\frac{1}{2}Q \\ \frac{1}{2}Q & 0 \end{pmatrix}, & H_2 &= \begin{pmatrix} 0 & \frac{1}{2}PQ \\ -\frac{1}{2}PQ & 0 \end{pmatrix}, \\ K_1 &= \begin{pmatrix} -\frac{1}{3}Q & -\frac{1}{6}Q \\ -\frac{1}{6}Q & 0 \end{pmatrix}, & K_2 &= \begin{pmatrix} 0 & \frac{1}{6}PQ \\ \frac{1}{6}PQ & \frac{1}{3}Q^2 \end{pmatrix}, \end{aligned}$$

于是在  $(P, Q)$  坐标下直接计算可得

$$\mathrm{tr}(g_\lambda^{-1}A_\lambda) = \frac{1}{12} - \frac{Q\lambda}{\lambda^2 + (2P - 4Q)\lambda + P^2}.$$

接下来求解关于  $\lambda$  的方程  $\det(g_\lambda) = 0$  得正则坐标

$$\begin{aligned} u^1 &= -P + 2Q - 2\sqrt{Q^2 - PQ}, \\ u^2 &= -P + 2Q + 2\sqrt{Q^2 - PQ}, \end{aligned}$$

之后通过坐标变换可求得度量  $g_1$  在  $(u^1, u^2)$  坐标下的系数矩阵的对角元  $f^1, f^2$ , 其表达式复杂, 这里从略. 最后将相关数据代入公式(5.31)并交给计算机暴力计算, 求得中心不变量

$$c_1 = c_2 = \frac{1}{24}.$$

果然是  $\frac{1}{24}$ , 如此甚好. □